

La physique des particules



Centre de physique des particules de Marseille

Avril 2016



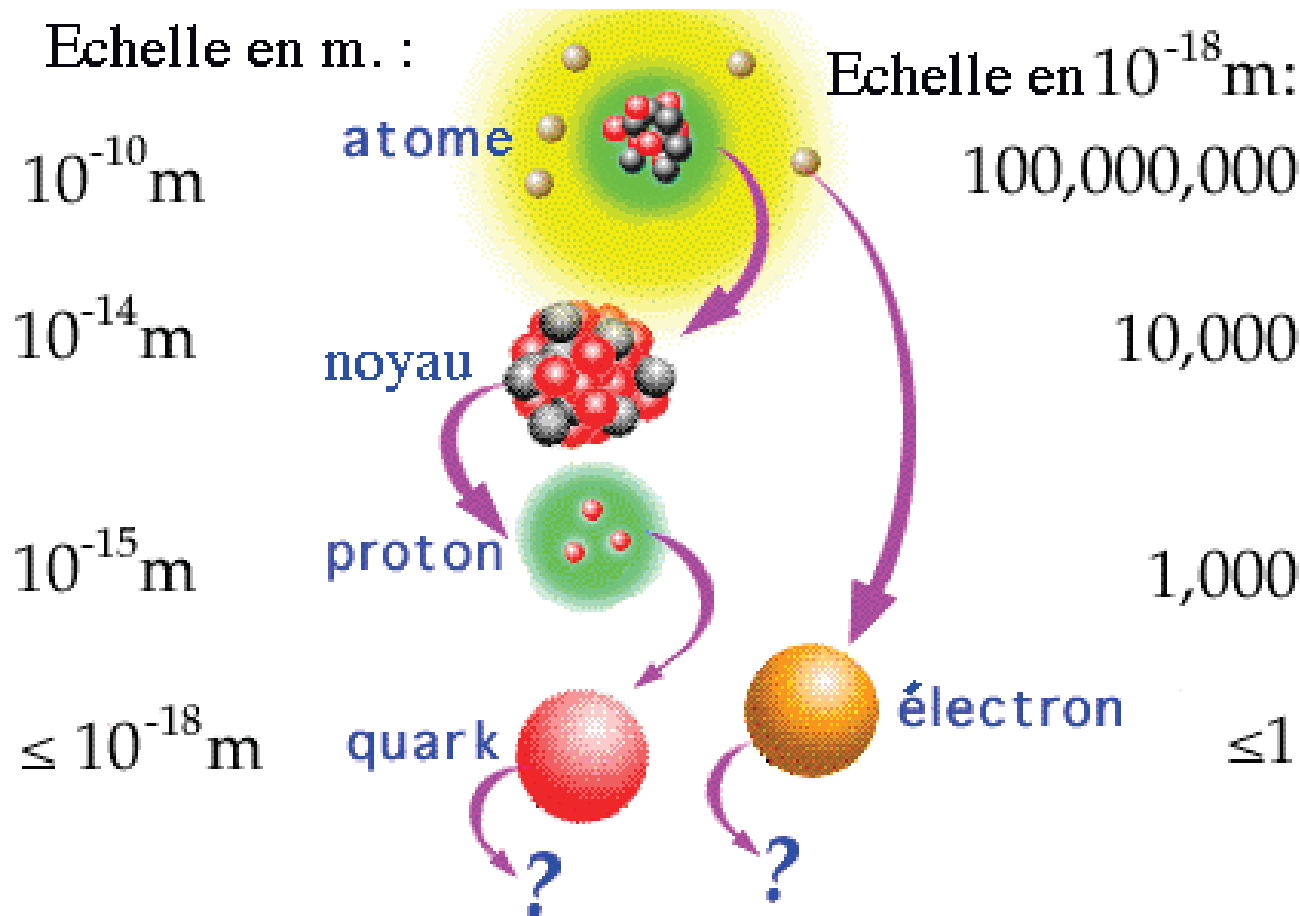
IN2P3
Les deux infinis



De l'infiniment grand vers l'infiniment petit



Échelle des distances en physique des particules



Si protons et neutrons étaient à 10 cm l'un de l'autre,
un quark ou un électron mesurerait moins de 0,1 mm
et un atome environ 10 km

La physique des particules

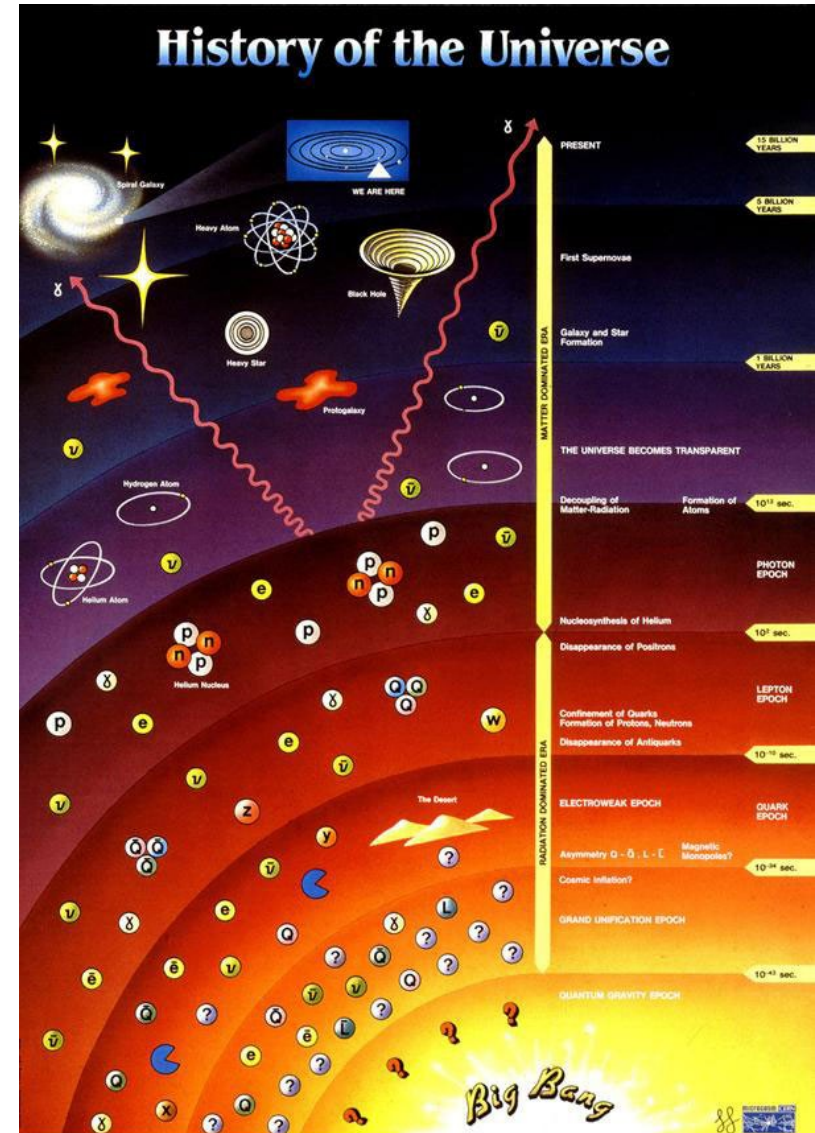
Étude des **constituants élémentaires** de la matière et de leurs **interactions**

- ▶ **constituants élémentaires** : « particules » sans structure interne
- ▶ **interactions** : les forces qui s'exercent entre ces composants élémentaires

Présentes dans l'univers primordial, dense et chaud

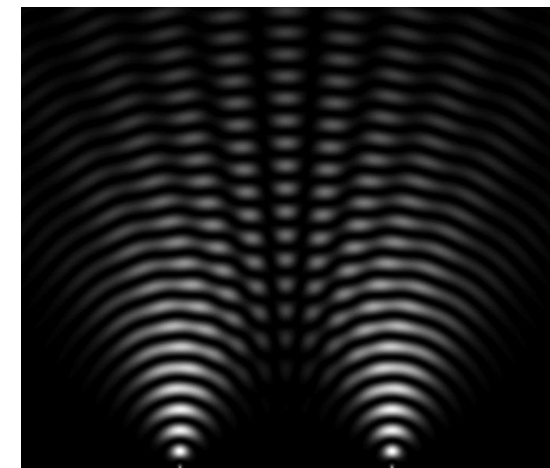
Dans l'univers « froid » d'aujourd'hui, la plupart de ces particules ont maintenant disparu

- ▶ créées artificiellement dans des accélérateurs (collisionneurs) de particules qui reproduisent les conditions existant aux premiers instants de l'univers
 - plus on accélère les particules,
plus on met d'énergie en jeu,
plus on remonte dans le temps



État des lieux à la fin du XIX^e siècle

- Mécanique newtonienne [Newton (1643-1727)]
 - ▶ principe d'inertie
 - ▶ loi de la dynamique
 - ▶ gravitation universelle
- Mécanique analytique [Lagrange (1736-1813)]
 - ▶ principe de moindre action
- Optique ondulatoire [Fresnel (1788-1827) – Young (1773-1829)]
 - ▶ nature ondulatoire de la lumière
- Électromagnétisme [Maxwell (1831-1879)]
 - ▶ unification électricité - magnétisme
- Existence des atomes : pas prouvée – en débat
- Lumière : onde électromagnétique se propageant dans un éther



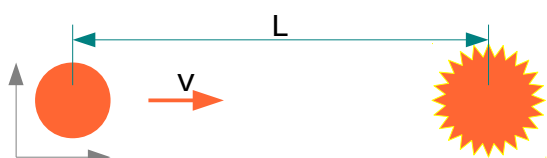
Révolutions conceptuelles

- D'après Lord Kelvin en 1900 (British Association for the advancement of Science) :

«There is nothing new to be discovered in physics now.
All that remains is more and more precise measurement.»
- Pourtant, deux théories fondamentales voient le jour au début du XX^e siècle
 - ▶ La relativité restreinte
 - ▶ La mécanique quantique

Relativité restreinte : espace-temps

- Contraction des longueurs et dilatation du temps
 - ▶ L'écoulement du temps dépend du référentiel
 - temps propre (t_0): temps mesuré dans le référentiel lié à l'objet considéré
 - temps mesuré par un observateur (fixe) pour qui l'objet se déplace à une vitesse v :
$$t = \gamma t_0$$
 où $\gamma = 1/\sqrt{1-v^2/c^2} > 1$ (d'autant plus grand que v est grand)
 - ▶ Exemple : bombe programmée pour exploser après 1 s

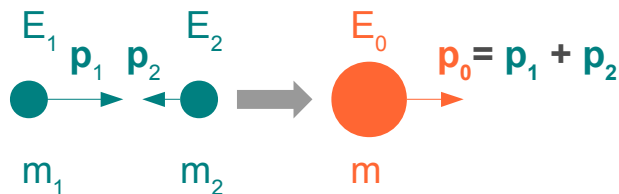


1) $v = 300$ km/s (0,1 % c)	$\rightarrow L = 300$ km (t= 1s)
2) $v = 29\ 979$ km/s (10 % c)	$\rightarrow L = 30\ 130$ km (t= 1s)
3) $v = 269\ 813$ km/s (90 % c)	$\rightarrow L = 618\ 994$ km (t= 2s)
4) $v = 296\ 794$ km/s (99 % c)	$\rightarrow L = 2\ 103\ 921$ km (t= 7s)
5) $v = 299\ 493$ km/s (99,9 % c)	$\rightarrow L = 6\ 698\ 534$ km (t=22s)

A prendre en compte quand les vitesses considérées s'approchent de la vitesse limite (c , la vitesse de la lumière dans le vide)

Relativité restreinte : masse et énergie

- Équivalence masse-énergie
 - ▶ La masse est une forme d'énergie
 - Si un corps perd une quantité d'énergie E , sa masse diminue de $\Delta m = E/c^2$
 - $E_0 = m c^2$: énergie au repos (dans le référentiel où le corps est immobile)
 - ▶ Énergie totale d'un système : $E^2 = m^2 c^4 + p^2 c^2$ (p : quantité de mouvement)
 - ▶ Transformation de l'énergie cinétique en masse



$$E_0 = E_1 + E_2 = \sqrt{(m_1^2 + p_1^2)} + \sqrt{(m_2^2 + p_2^2)} = \sqrt{m^2 + p_0^2}$$

exemple : collision de protons avec $E = 7 \text{ TeV}$
→ énergie disponible : $E_0 = 14 \text{ TeV}$

Lors de collision, on peut créer des objets plus lourds que ceux initialement présents !

- ▶ Transformation de la masse en énergie cinétique

$$m^2 = E_0^2 - p_0^2 = [\sqrt{(m_1^2 + p_1^2)} + \sqrt{(m_2^2 + p_2^2)}]^2 - [p_1 + p_2]^2$$

exemple : désintégration de particules instables

En identifiant la nature des produits de désintégration, on connaît leur masse.

En mesurant en plus leur impulsion, on peut remonter à la masse et donc à la nature de la particule initiale

Les unités

- Unités usuelles souvent inadaptées à la physique des particules
- On utilisera :
 - Energie : eV (*électron-volt*)
 - $1 \text{ eV} = 1.6 \cdot 10^{-19} \text{ J}$
 - énergie acquise par un électron dans un champ électrique de 1V
 - Impulsion : eV/c
 - Masse : eV/c^2
 - $1 \text{ eV}/c^2 = 1.8 \cdot 10^{-36} \text{ kg}$
 - Souvent, utilisation des unités « naturelles » :
 - $c = 1$
 - énergie, impulsion et masse en eV
- Multiples usuels : keV (10^3), MeV(10^6), GeV(10^9), TeV (10^{12})

Mécanique quantique : dualité onde-corpuscule

- Aux échelles microscopiques, les objets ont une nature à la fois *corpusculaire et ondulatoire*

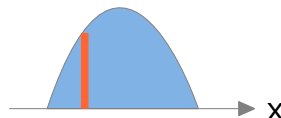
$$E = h\nu \quad p = h/\lambda$$

constante de Planck : $h = 6,63 \cdot 10^{-34} \text{ J.s}$

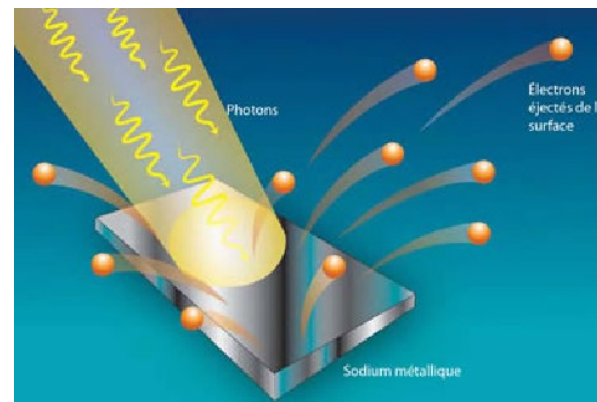
- ▶ pas d'équivalent dans le monde macroscopique → non intuitif !
- Deux descriptions antagonistes !

- **corpuscule** : objet ponctuel avec une position et une impulsion bien définies
- **onde** : objet étendu pouvant interférer
- ▶ **objet quantique** : caractéristiques corpusculaires suivent les lois de probabilité dictées par les caractéristiques de l'onde associée.

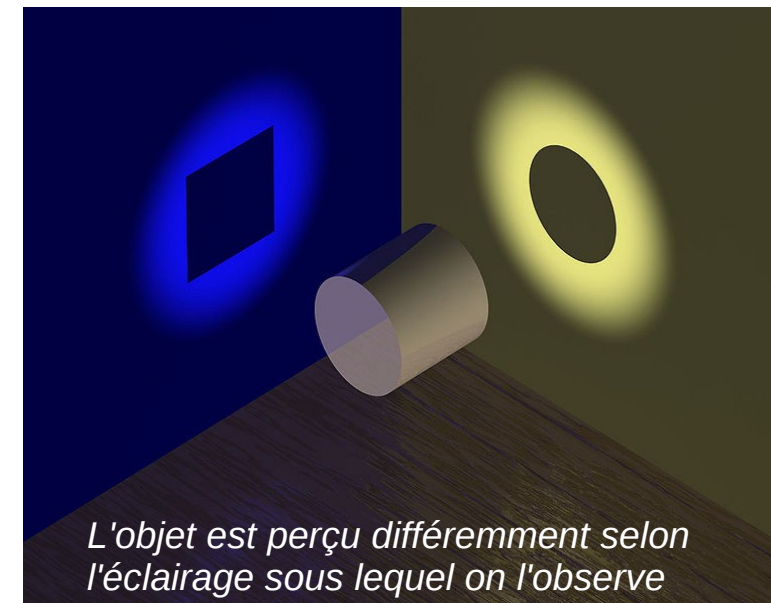
ex : la position d'une particule



Effet photo-électrique, Einstein, 1905



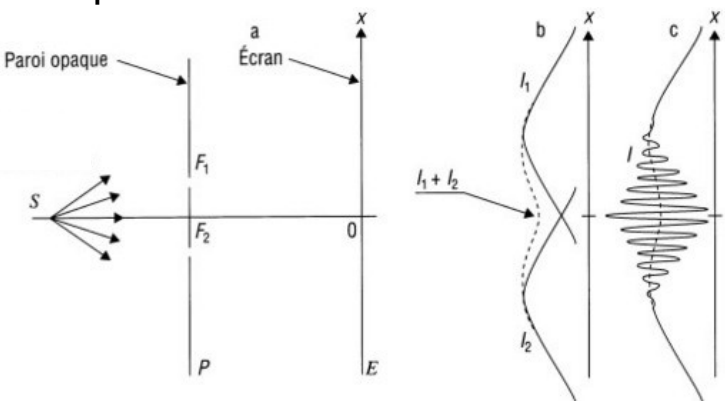
L'énergie de l'onde électromagnétique est portée par le photon



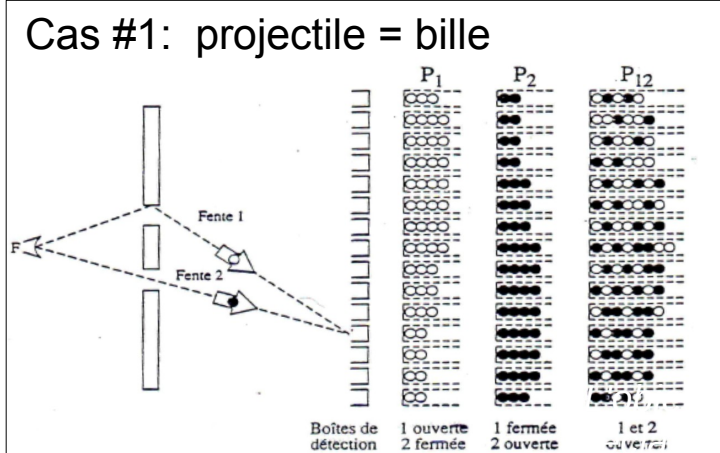
Mécanique quantique : illustration

L'expérience des fentes d'Young

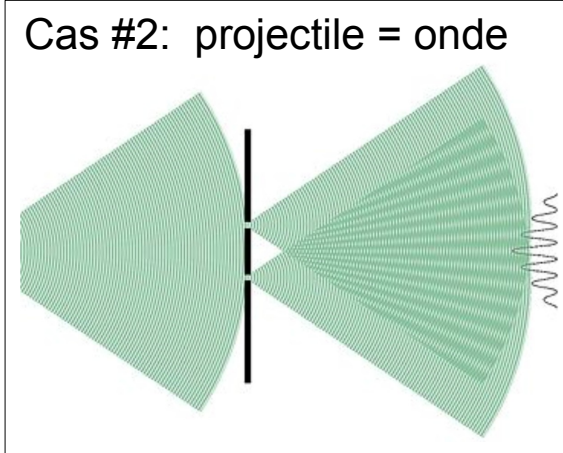
L'expérience :



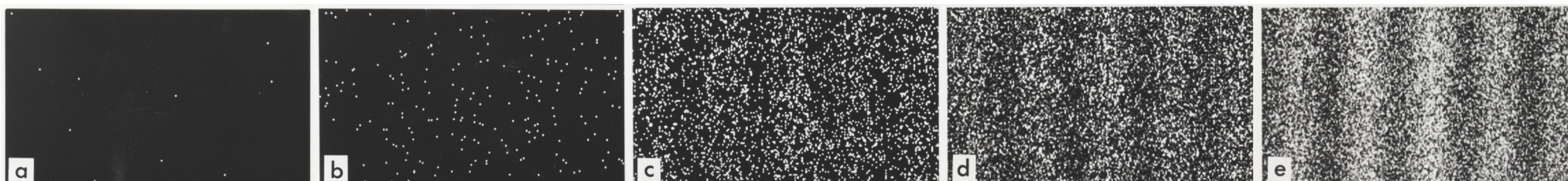
Cas #1: projectile = bille



Cas #2: projectile = onde



Cas #3: projectile = objet quantique (électron, photon)



- On peut observer les impacts individuels et les franges d'interférences !
- Remarque : si on détecte par quelle fente la particule passe, l'interférence disparaît

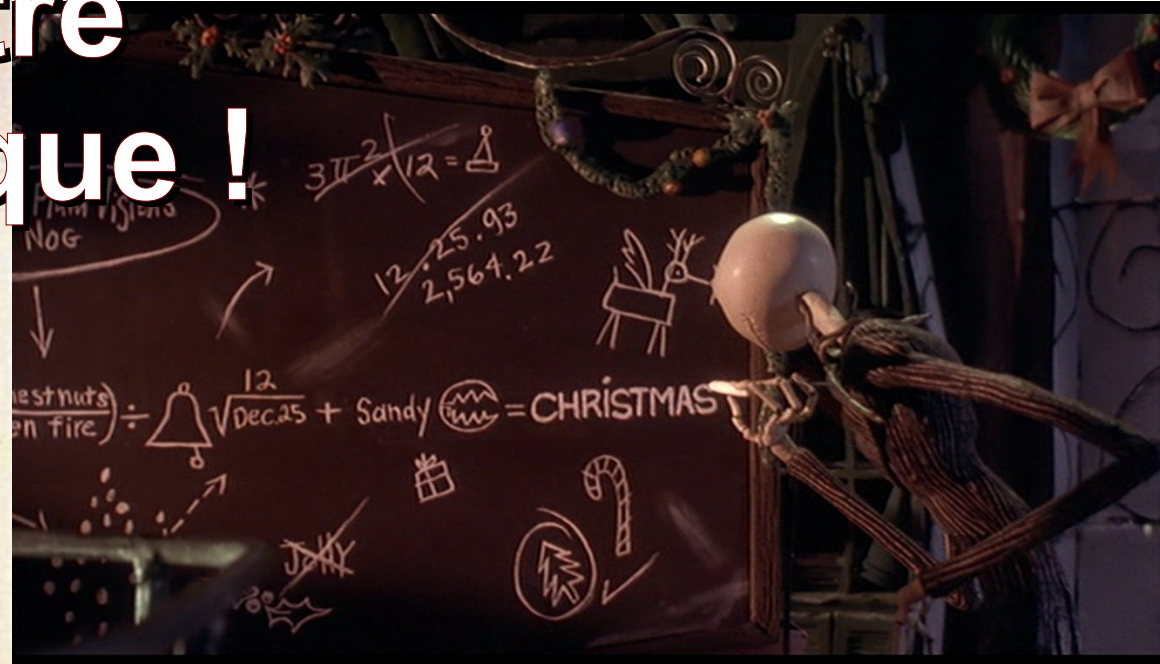
LES BRONZÉS JOUENT:

**LE PÈRE NOËL EST
UNE
URDURE**



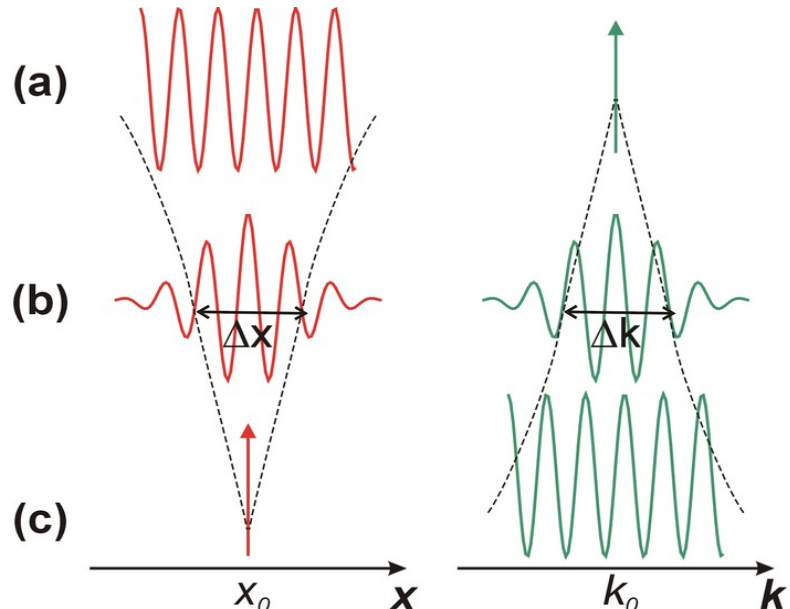
À LA GAITÉ MONPARNAZZE
26 RUE DE LA GAITÉ 14^e TEL 322.16.18
tous les JOURS 22h. DIMANCHE 20h 30 RELÂCHE LUNDI

un être
quantique !



Très léger car quantique ($\lambda=h/mc$) :
taille ~ 1 m \rightarrow masse inférieure à 10^{-42} kg

Mécanique quantique : les relations d'incertitude



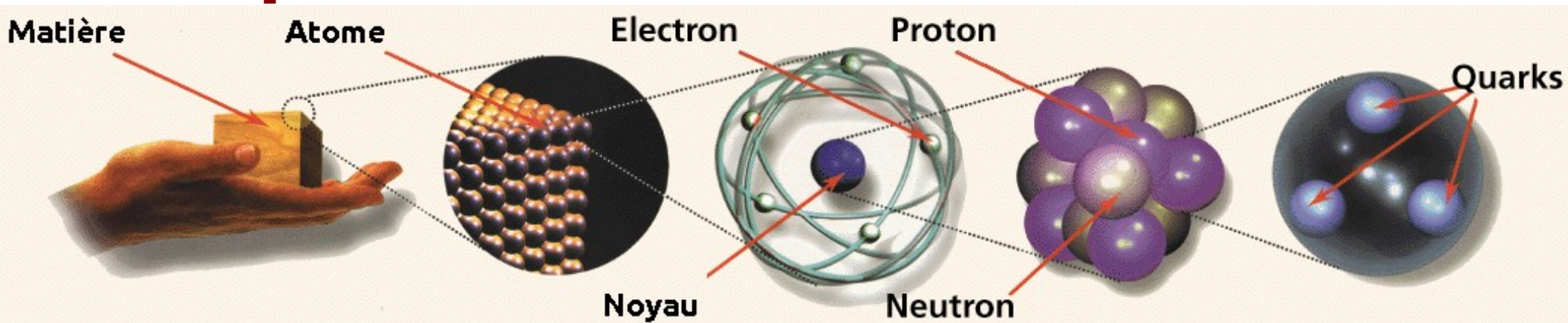
- (a) **onde** : $A = \cos(k.x)$
 - extension spatiale infinie
 - fréquence pure
- (b) **paquet d'onde** : $A = \sum_k \cos(k.x)$
 - extension spatiale limitée
 - distribué en fréquence
- (c) **corpuscule** : $A = 1$ si $x=x_0$, sinon 0 ($\forall k$)
 - localisé spatialement
 - pas de fréquence déterminée

- Relations d'Heisenberg (1927)
 - ▶ si la précision sur la position d'une particule est Δx , son impulsion a une précision Δp telle que : $\Delta p.\Delta x > \hbar/2$
 - ▶ si la précision sur le temps (de passage) d'une particule est Δt , son énergie a une précision ΔE telle que : $\Delta E.\Delta t > \hbar/2$
- Avantage du flou quantique
 - ▶ une énergie (ΔE) peut être « empruntée » au vide pendant un laps de temps (Δt) suffisamment court pour que $\Delta E.\Delta t > \hbar/2$
 - ▶ ... et comme $E=mc^2$, des particules (virtuelles) peuvent être créées et « vivre » pendant un temps d'autant plus court que la particule est lourde !

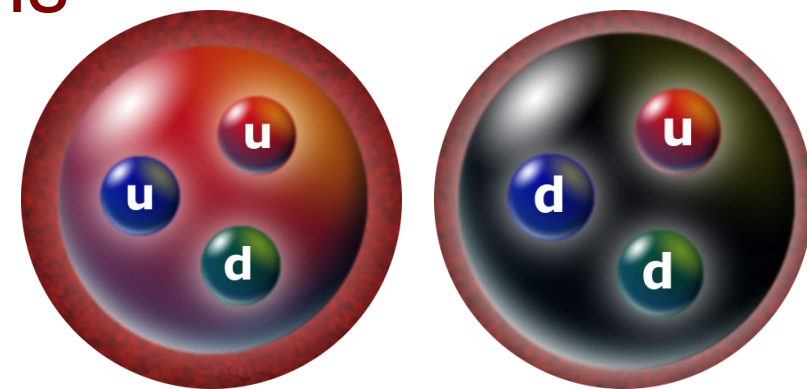
Mécanique quantique : interprétation

- La mécanique quantique : artifice mathématique ou réalité ?
 - ▶ aspects probabilistes heurtent les partisans du déterminisme
 - « Dieu ne joue pas aux dés avec l'Univers », Einstein (1927)
 - ▶ dualité onde-corpuscule
 - difficile à interpréter
 - a fait longtemps débat
 - fait toujours l'objet d'études actives [S. Haroche, prix Nobel 2012]
- Malgré les réticences et les aspects non-intuitifs, toutes les expériences confirment les prédictions de la mécanique quantique

De quoi est fait l'Univers visible ?



- Toute la matière visible, des galaxies aux virus en passant par les êtres humains, est faite de **quarks up** (*u*) et **down** (*d*) et d'**électrons**
- Protons et neutrons sont faits de 3 quarks
- Ils composent les noyaux
- Les électrons gravitent autour des noyaux
- Des **neutrinos** sont émis dans les réactions nucléaires au cœur des étoiles



Le positron

- Équation du mouvement d'un électron

[1928, Dirac]

- ▶ mécanique quantique
- ▶ cas relativiste
- ▶ Équation de Dirac avec 2 solutions
 - électron
 - positron

- Observation :

[1932, Anderson]

- enregistre dans une chambre de Wilson, une particule avec les même caractéristiques que l'électron mais une charge opposée

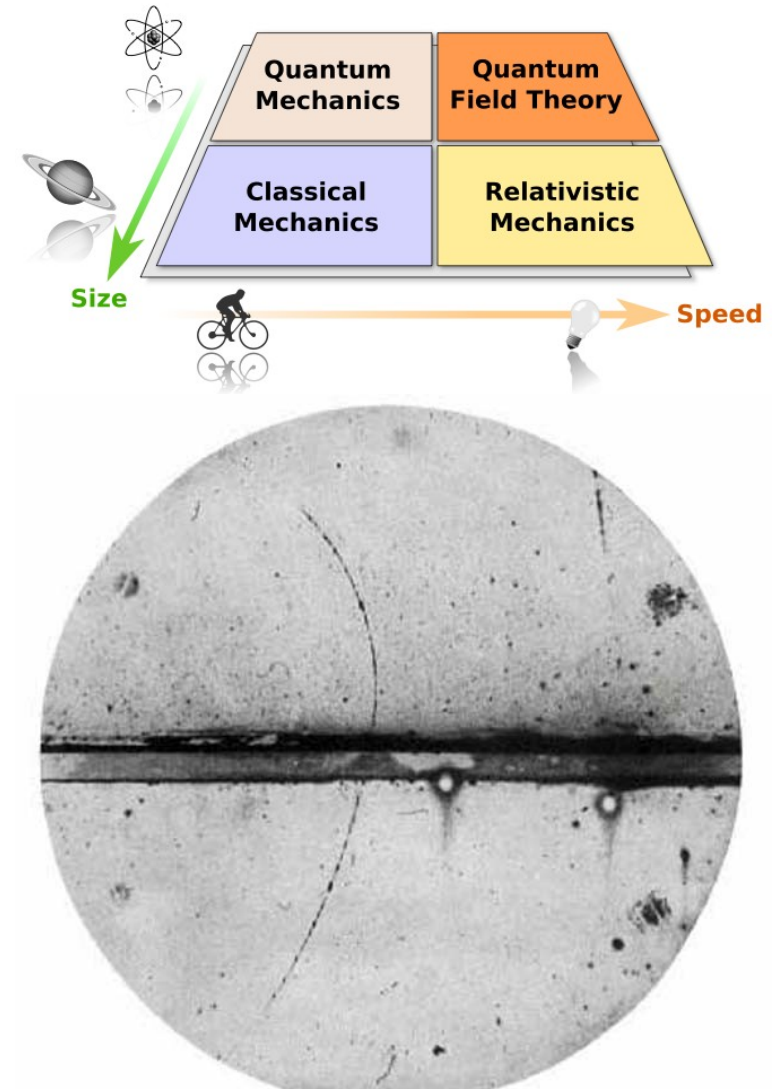
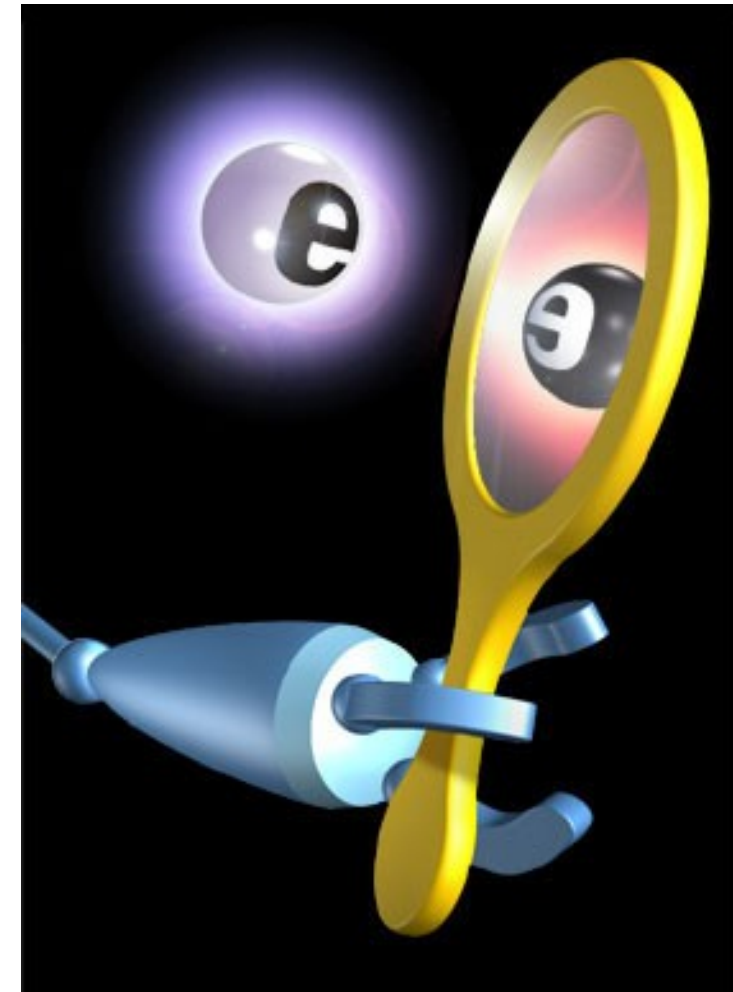


Fig. 1. A 63 million volt positron ($H_P = 2.1 \times 10^6$ gauss-cm) passing through a 6 mm lead plate and emerging as a 23 million volt positron ($H_P = 7.5 \times 10^4$ gauss-cm). The length of this latter path is at least ten times greater than the possible length of a proton path of this curvature.

L'anti-matière

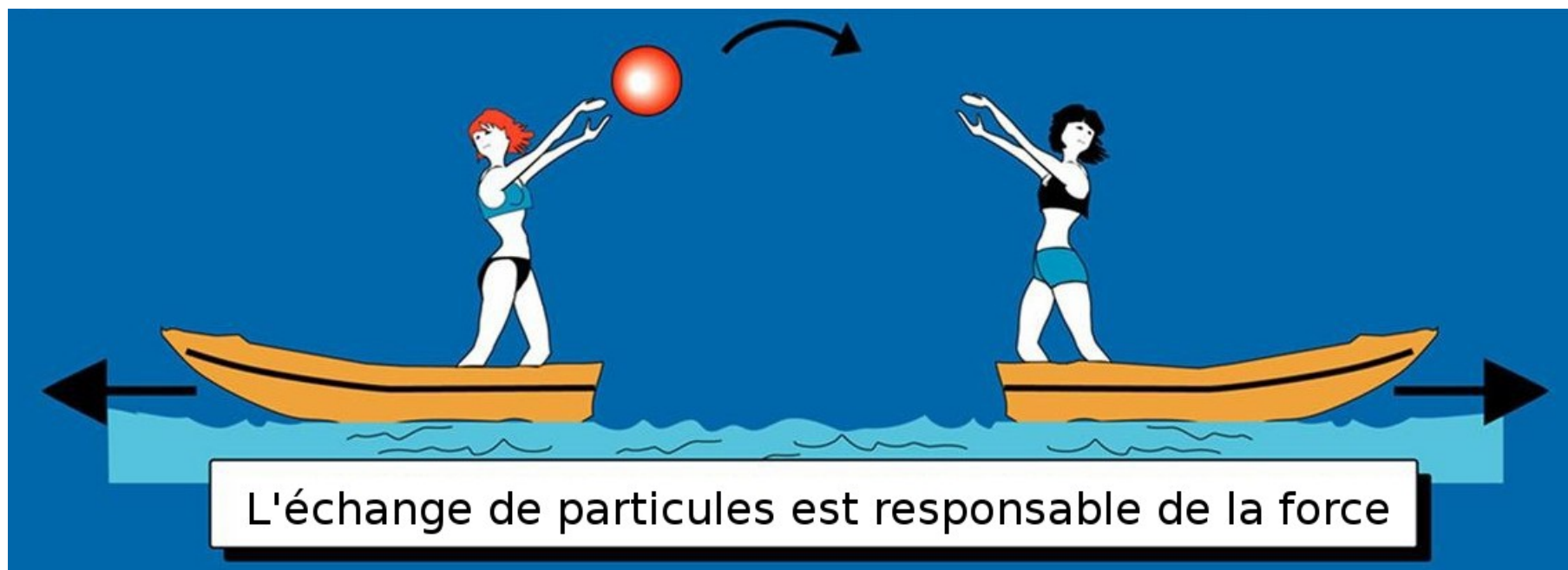
- La découverte de l'anti-électron marque la naissance de l'anti-matière
 - ▶ positron = anti-électron
- Généralisation : à chaque particule correspond une anti-particule :
 - ▶ de même masse
 - ▶ de même *spin* (moment angulaire interne)
 - ▶ de charge(s) opposée(s)
- L'anti-matière se comporte comme la matière (vue dans un miroir)
 - ▶ mais pas exactement
 - il existe une petite asymétrie
 - sujet d'étude très actif (et casse-tête théorique)



par convention : l'anti-particule de x est notée : \bar{x}

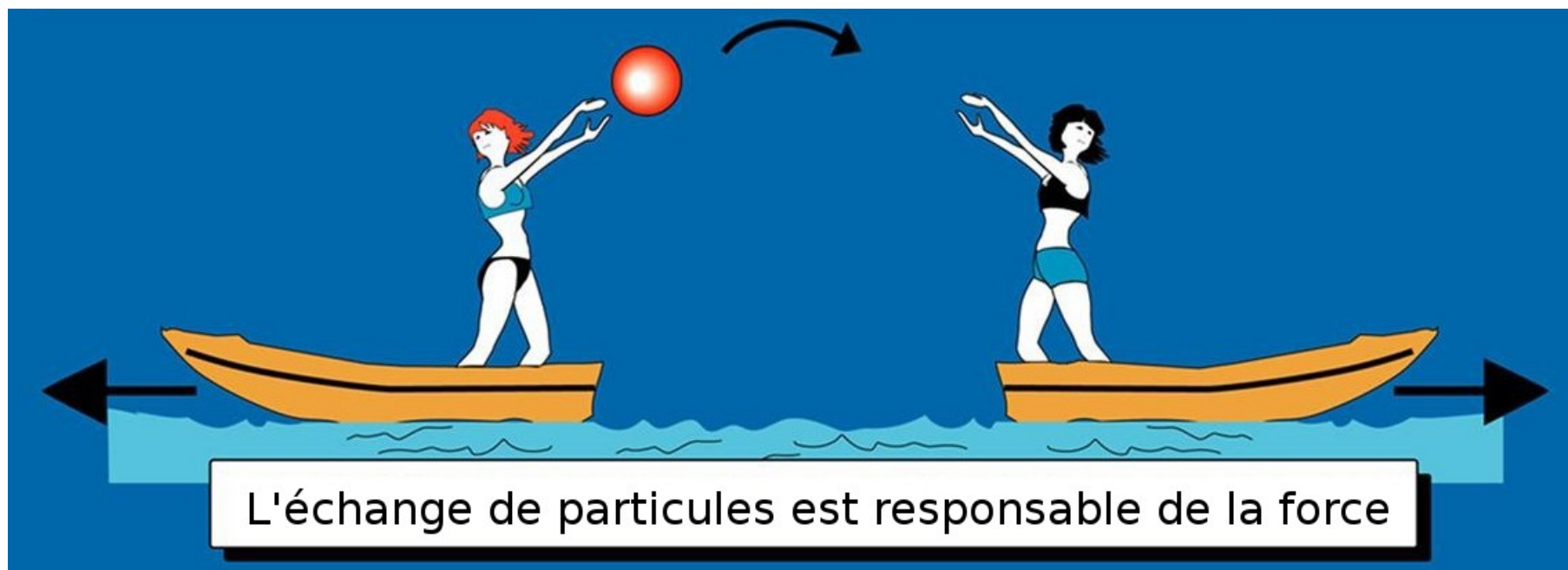
Interaction fondamentale

Échange de particules (bosons) entre particules de matière (fermions, comme les quarks ou les électrons)

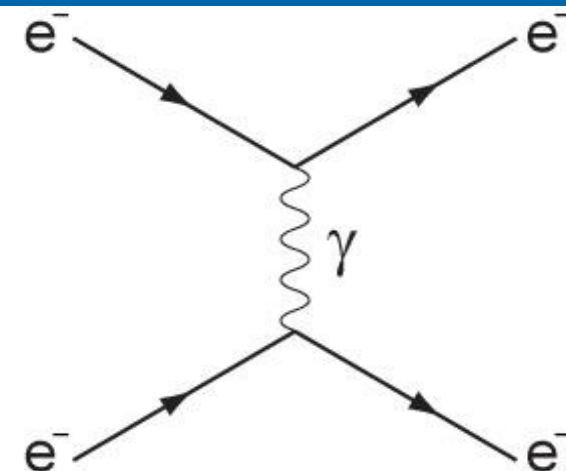


Interaction fondamentale

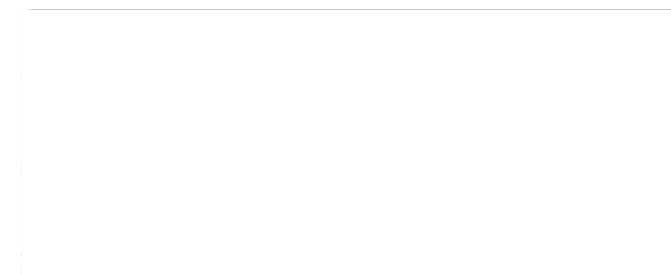
Échange de particules (bosons) entre particules de matière (fermions, comme les quarks ou les électrons)



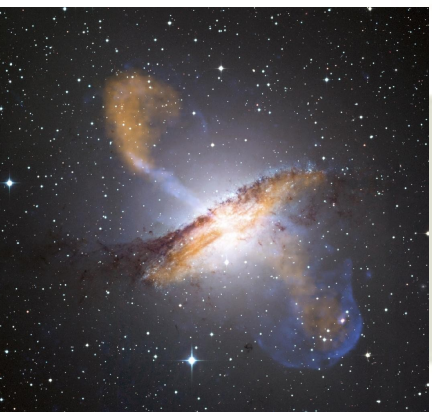
En physique des particules :



Les forces

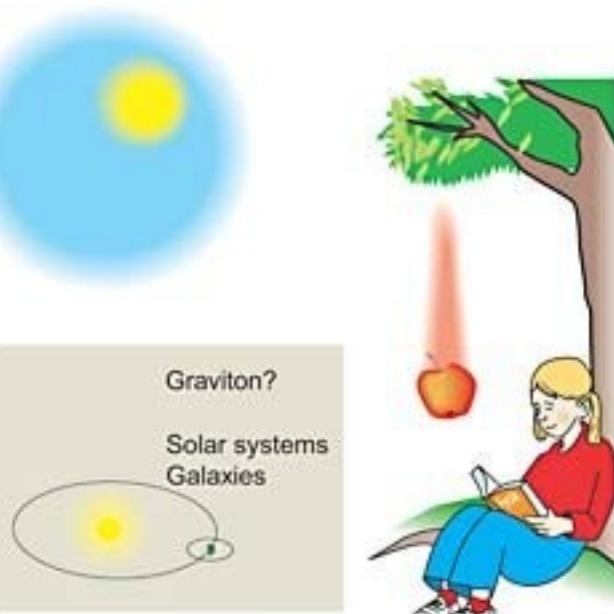


Les forces

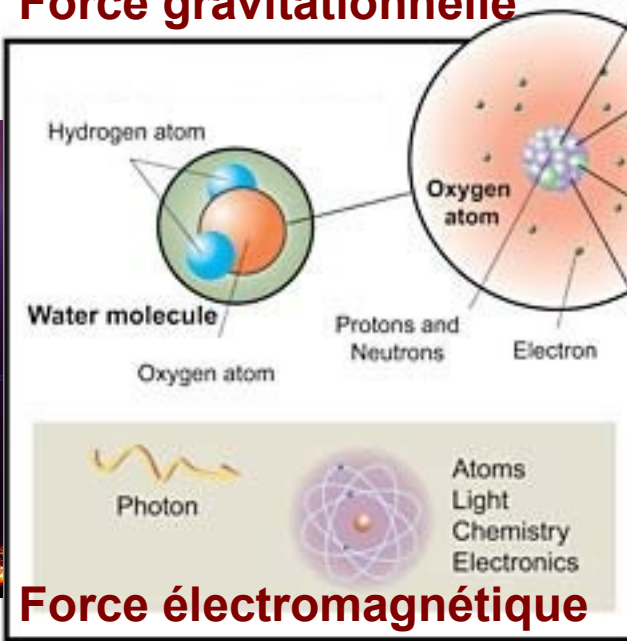


Force gravitationnelle

Les forces

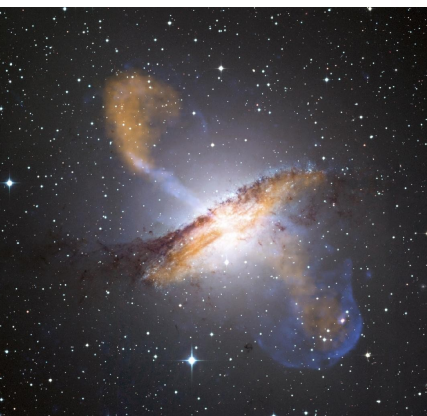


Force gravitationnelle

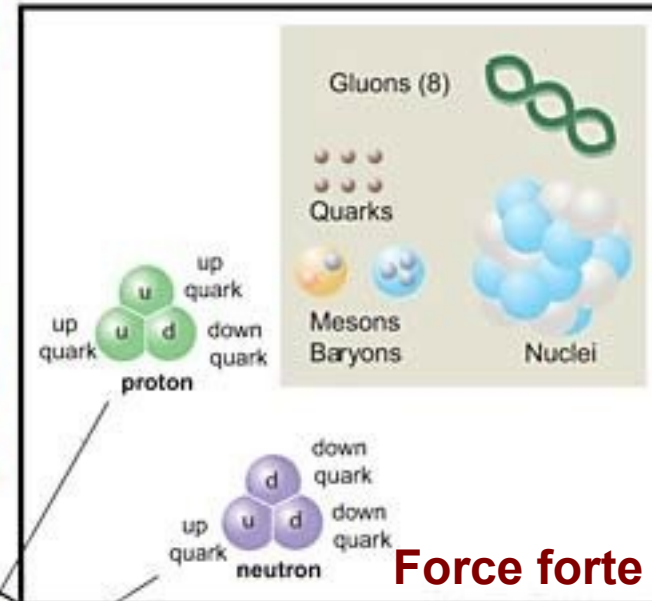


Force électromagnétique

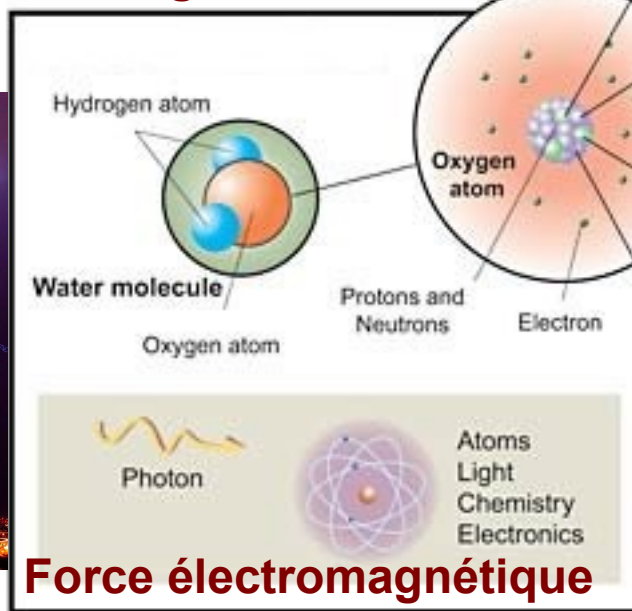
Les forces



Force gravitationnelle

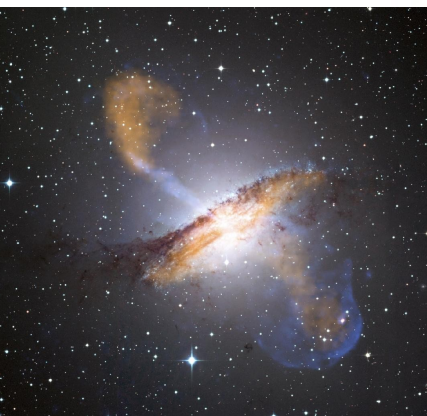


Force forte

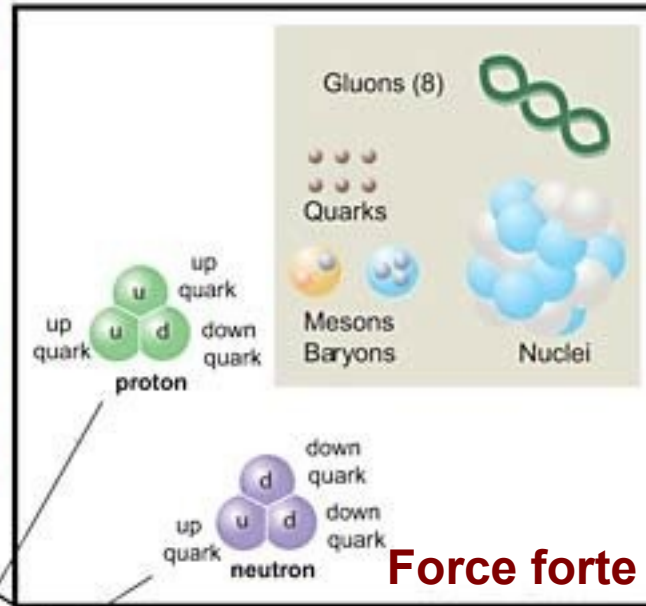


Force électromagnétique

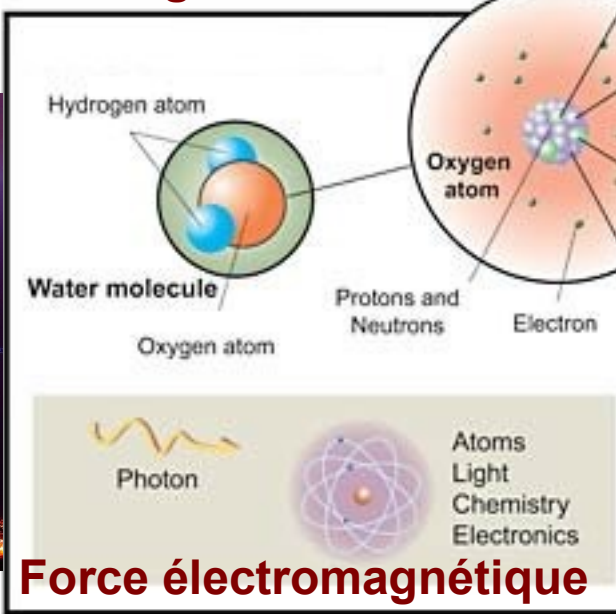
Les forces



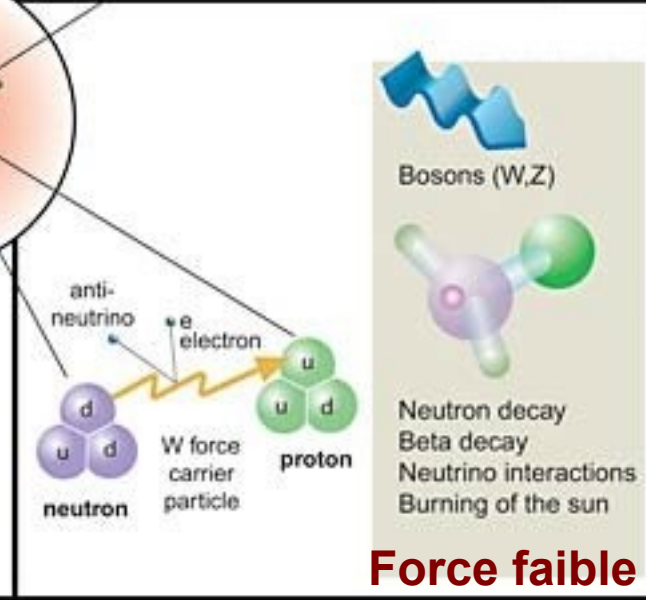
Force gravitationnelle



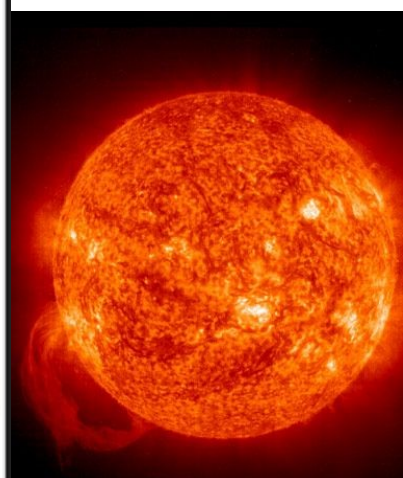
Force forte



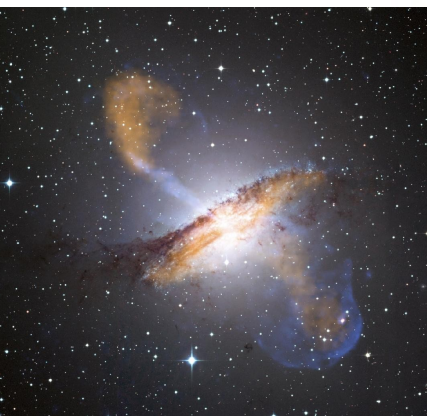
Force électromagnétique



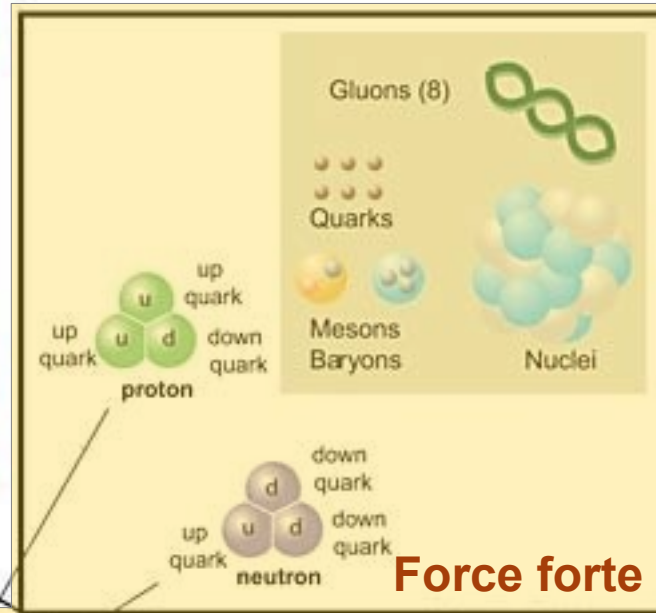
Force faible



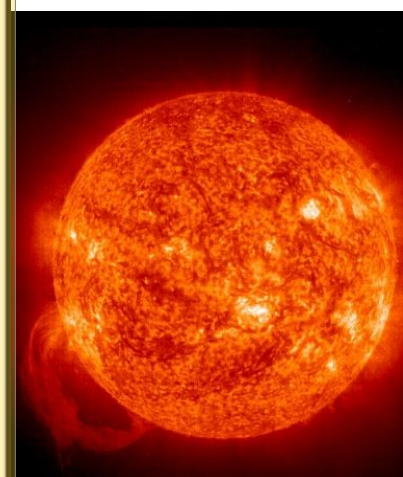
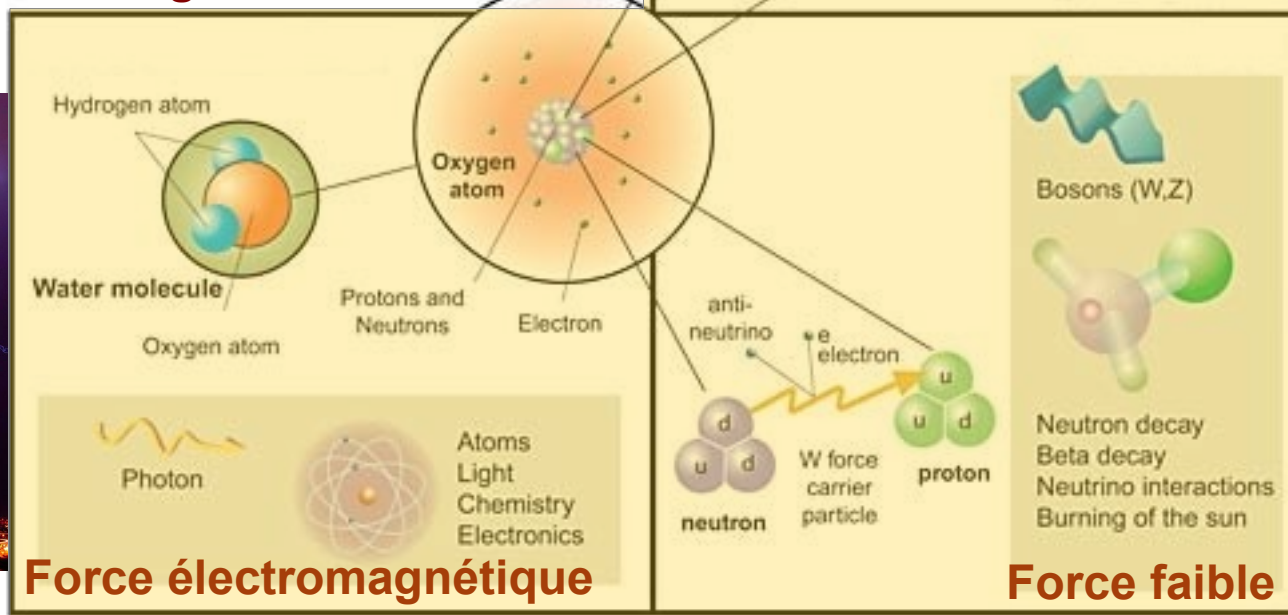
Les forces



Force gravitationnelle

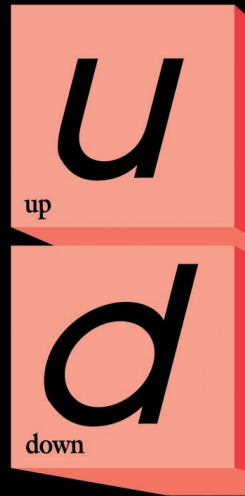


Force forte

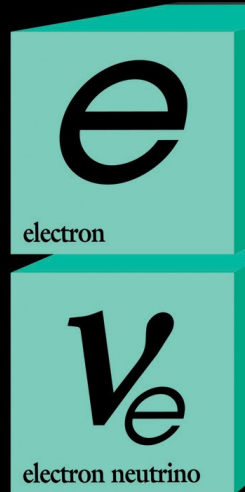


Force faible

Quarks



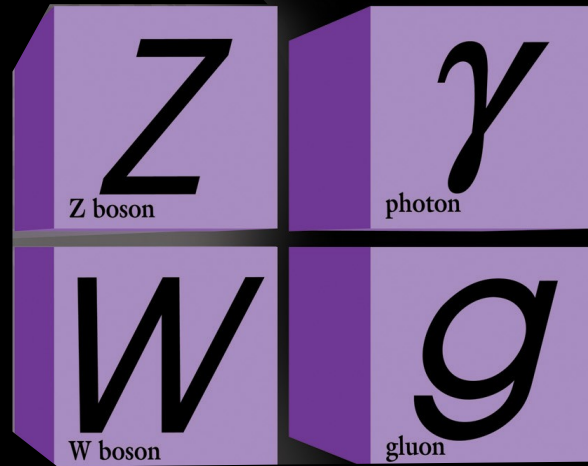
+ anti-matière



Leptons

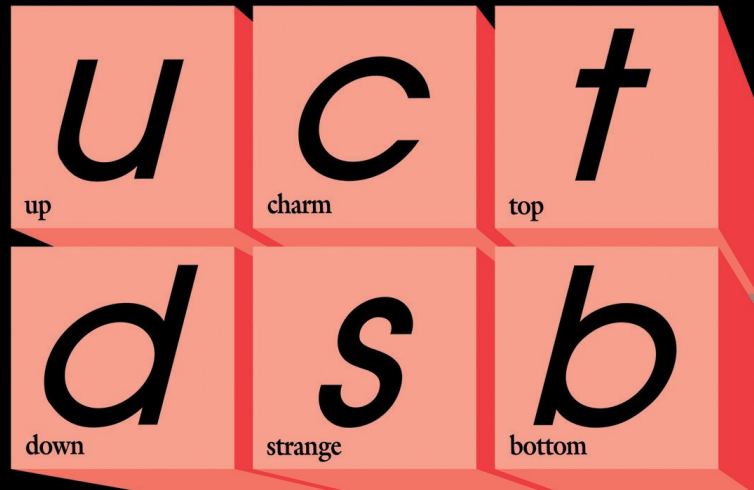
Le modèle standard

Forces

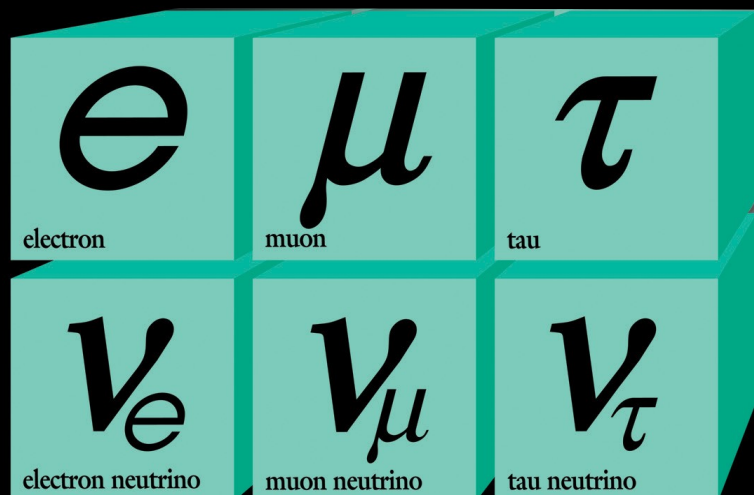


Quarks

Le modèle standard

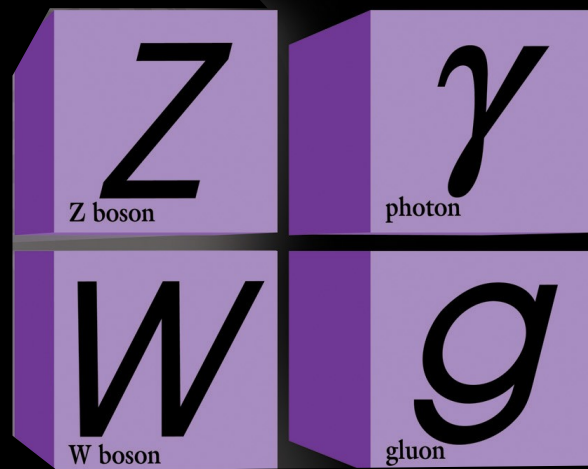


+ anti-matière

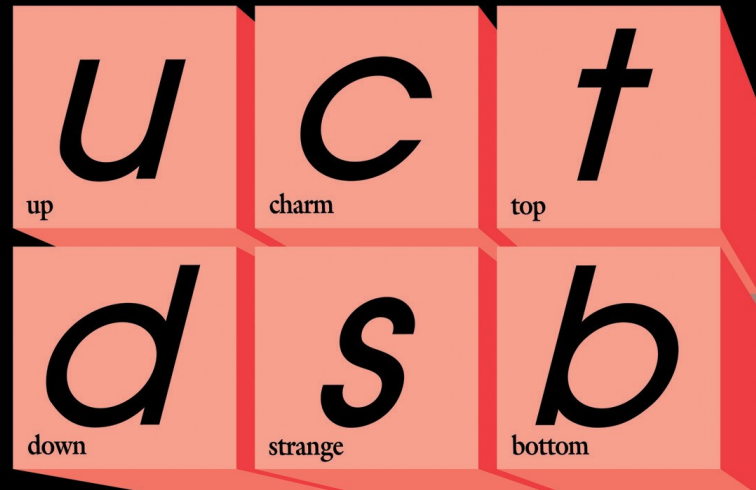


Leptons

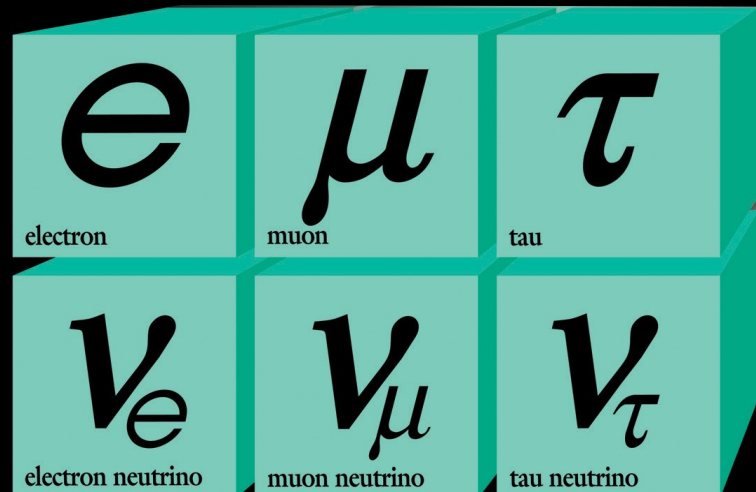
Forces



Quarks



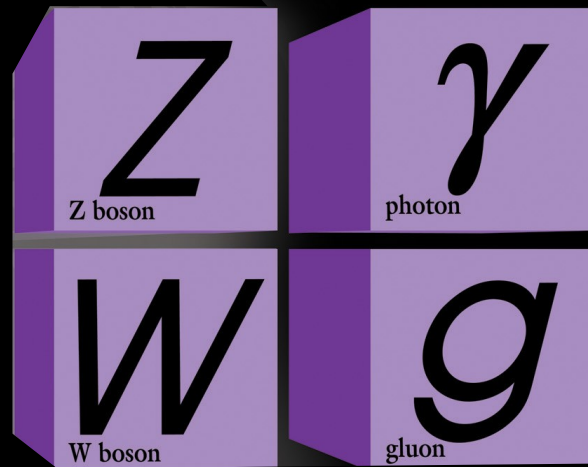
+ anti-matière



Leptons

Le modèle standard

Forces



Toutes ces particules ont une masse nulle, c'est contraire à l'expérience...

Quarks

u	c	t
up	charm	top

d	s	b
down	strange	bottom

+ anti-matière

e	μ	τ
electron	muon	tau

ν_e	ν_μ	ν_τ
electron neutrino	muon neutrino	tau neutrino

Leptons

Le modèle standard

Forces

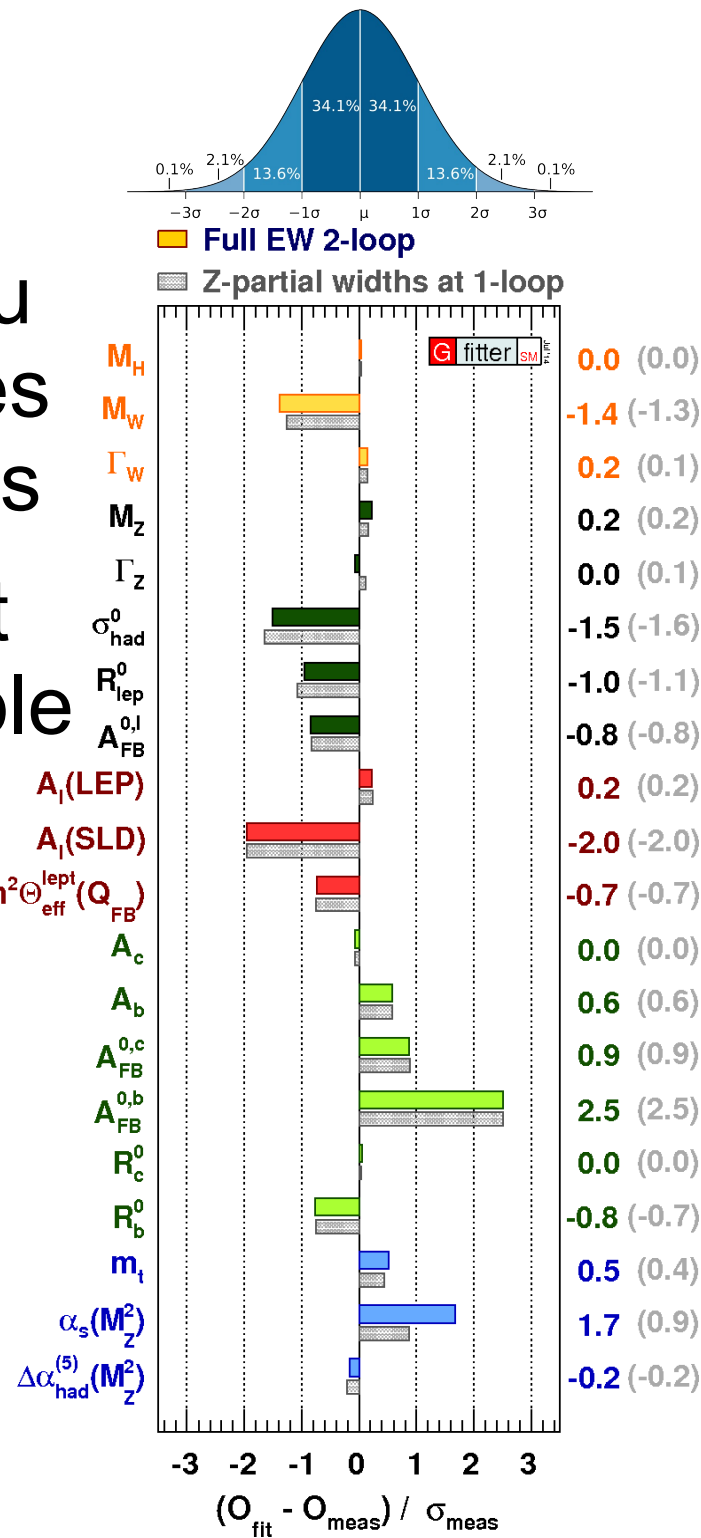
Z	γ
Z boson	photon

W	g
W boson	gluon

Solution : rajouter un champ de Higgs

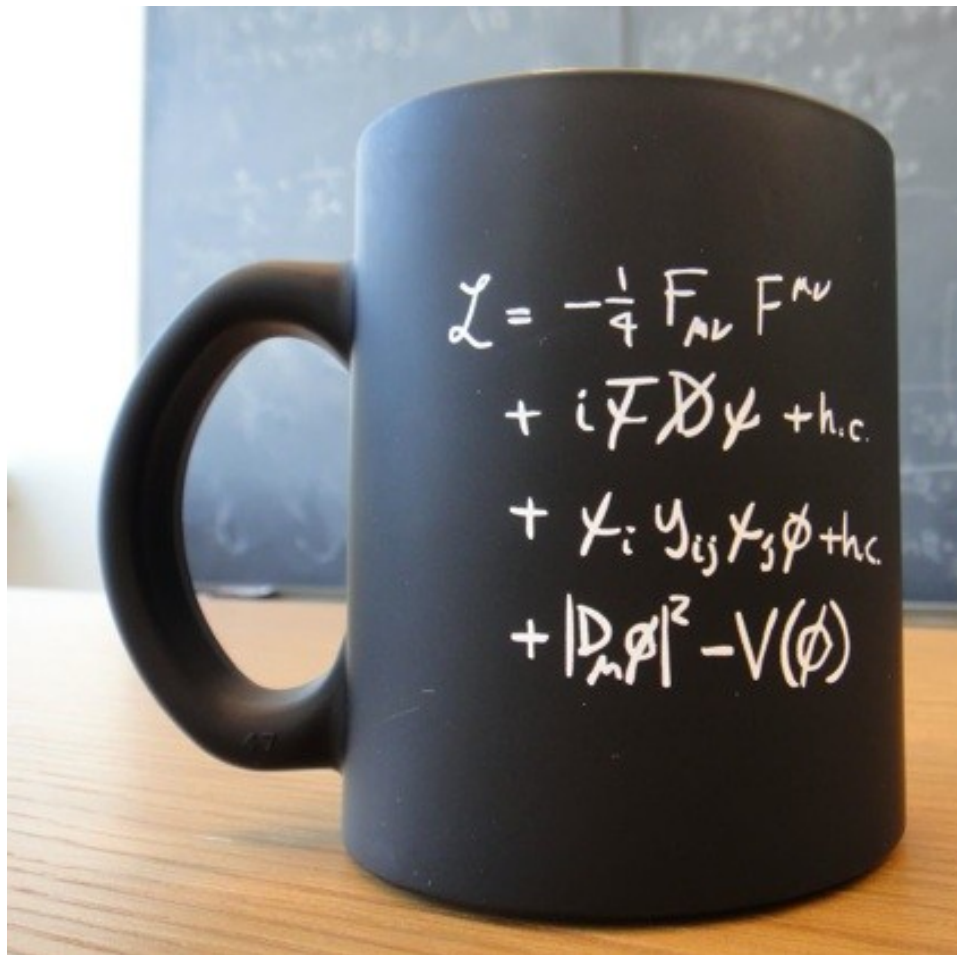
Le modèle standard

- Modèle théorique qui explique à peu près tous les phénomènes observés et prédits en physique des particules
- Décrit les particules élémentaires et leurs interactions forte et électrofaible (faible et électromagnétique)
- Mis en place dans les années 1960-70
- Basé sur des symétries qui impliquent des lois de conservation
- Grand succès : testé avec très grande précision



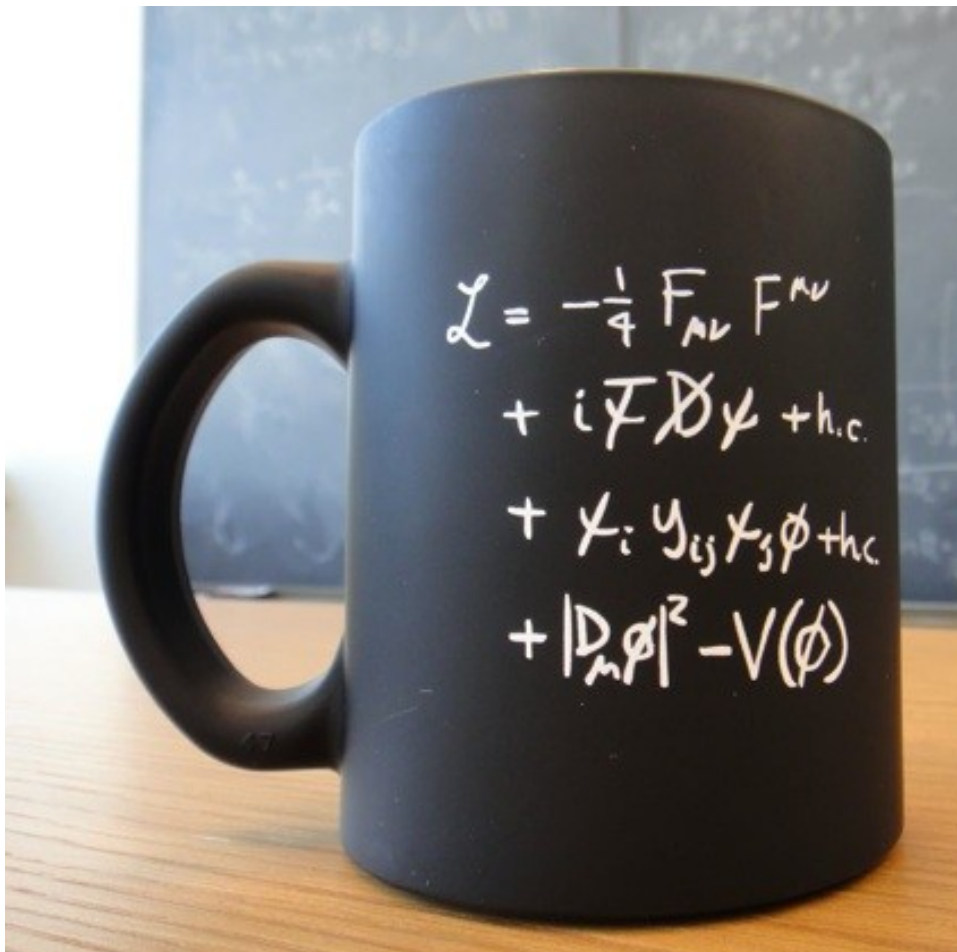
Le modèle standard

- Version synthétique



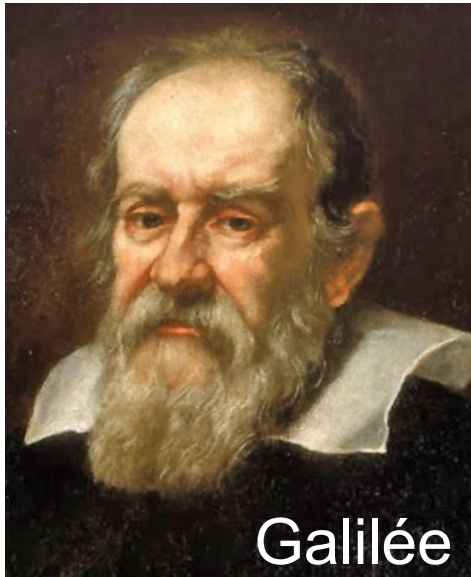
Le modèle standard

- Version synthétique
- Version développée...

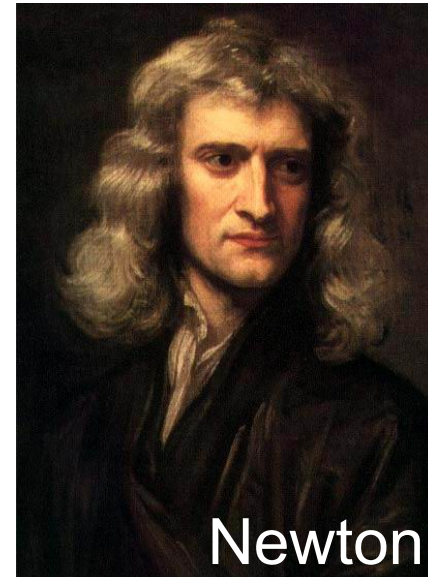


$$\begin{aligned}
& -\frac{1}{2} \partial_\nu g_\mu^a \partial_\nu g_\mu^a - g_s f^{abc} \partial_\mu g_\nu^a g_\mu^b g_\nu^c - \frac{1}{4} g_s^2 f^{abc} f^{ade} g_\nu^b g_\nu^c g_\mu^d g_\nu^e + \\
& \frac{1}{2} i g_s^2 (\bar{q}_j^\sigma \gamma^\mu q_j^\sigma) g_\mu^a + \bar{G}^a \partial^2 G^a + g_s f^{abc} \partial_\mu \bar{G}^a G^b g_\mu^c - \partial_\nu W_\mu^+ \partial_\nu W_\mu^- - \\
& M^2 W_\mu^+ W_\mu^- - \frac{1}{2} \partial_\nu Z_\mu^0 \partial_\nu Z_\mu^0 - \frac{1}{2c_w^2} M^2 Z_\mu^0 Z_\mu^0 - \frac{1}{2} \partial_\mu A_\nu \partial_\mu A_\nu - \\
& \frac{1}{2} \partial_\mu \textcolor{red}{H} \partial_\mu \textcolor{red}{H} - \frac{1}{2} m_h^2 \textcolor{red}{H}^2 - \partial_\mu \phi^+ \partial_\mu \phi^- - M^2 \phi^+ \phi^- - \frac{1}{2} \partial_\mu \phi^0 \partial_\mu \phi^0 - \\
& \frac{1}{2c_w^2} M \phi^0 \phi^0 - \beta_h [\frac{2M^2}{g^2} + \frac{2M}{g} \textcolor{red}{H} + \frac{1}{2} (\textcolor{red}{H}^2 + \phi^0 \phi^0 + 2\phi^+ \phi^-)] + \frac{2M^4}{g^2} \alpha_h - \\
& ig c_w [\partial_\nu Z_\mu^0 (W_\mu^+ W_\nu^- - W_\nu^+ W_\mu^-) - Z_\nu^0 (W_\mu^+ \partial_\nu W_\mu^- - W_\mu^- \partial_\nu W_\mu^+) + \\
& Z_\mu^0 (W_\nu^+ \partial_\nu W_\mu^- - W_\nu^- \partial_\nu W_\mu^+)] - igs_w [\partial_\nu A_\mu (W_\mu^+ W_\nu^- - W_\nu^+ W_\mu^-) - \\
& A_\nu (W_\mu^+ \partial_\nu W_\mu^- - W_\mu^- \partial_\nu W_\mu^+) + A_\mu (W_\nu^+ \partial_\nu W_\mu^- - W_\nu^- \partial_\nu W_\mu^+)] - \\
& \frac{1}{2} g^2 W_\mu^+ W_\nu^- W_\nu^+ W_\mu^- + \frac{1}{2} g^2 W_\mu^+ W_\nu^- W_\mu^+ W_\nu^- + g^2 c_w^2 (Z_\mu^0 W_\mu^+ Z_\nu^0 W_\nu^- - \\
& Z_\mu^0 Z_\nu^0 W_\mu^+ W_\nu^-) + g^2 s_w^2 (A_\mu W_\mu^+ A_\nu W_\nu^- - A_\mu A_\nu W_\mu^+ W_\nu^-) + \\
& g^2 s_w c_w [A_\mu Z_\mu^0 (W_\mu^+ W_\nu^- - W_\nu^+ W_\mu^-) - 2A_\mu Z_\mu^0 W_\nu^+ W_\nu^-] - g\alpha [\textcolor{red}{H}^3 + \\
& \textcolor{red}{H} \phi^0 \phi^0 + 2\textcolor{red}{H} \phi^+ \phi^-] - \frac{1}{8} g^2 \alpha_h [\textcolor{red}{H}^4 + (\phi^0)^4 + 4(\phi^+ \phi^-)^2 + \\
& 4(\phi^0)^2 \phi^+ \phi^- + 4\textcolor{red}{H}^2 \phi^+ \phi^- + 2(\phi^0)^2 \textcolor{red}{H}^2] - g M W_\mu^+ W_\mu^- \textcolor{red}{H} - \\
& \frac{1}{2} g \frac{M}{c_w^2} Z_\mu^0 Z_\mu^0 \textcolor{red}{H} - \frac{1}{2} ig [W_\mu^+ (\phi^0 \partial_\mu \phi^- - \phi^- \partial_\mu \phi^0) - W_\mu^- (\phi^0 \partial_\mu \phi^+ - \\
& \phi^+ \partial_\mu \phi^0)] + \frac{1}{2} g [W_\mu^+ (\textcolor{red}{H} \partial_\mu \phi^- - \phi^- \partial_\mu \textcolor{red}{H}) - W_\mu^- (\textcolor{red}{H} \partial_\mu \phi^+ - \phi^+ \partial_\mu \textcolor{red}{H})] + \\
& \frac{1}{2} g \frac{1}{c_w} (Z_\mu^0 (\textcolor{red}{H} \partial_\mu \phi^0 - \phi^0 \partial_\mu \textcolor{red}{H}) - ig \frac{s_w^2}{c_w} M Z_\mu^0 (W_\mu^+ \phi^- - W_\mu^- \phi^+)) + \\
& igs_w M A_\mu (W_\mu^+ \phi^- - W_\mu^- \phi^+) - ig \frac{1-2c_w^2}{2c_w} Z_\mu^0 (\phi^+ \partial_\mu \phi^- - \phi^- \partial_\mu \phi^+) + \\
& igs_w A_\mu (\phi^+ \partial_\mu \phi^- - \phi^- \partial_\mu \phi^+) - \frac{1}{4} g^2 W_\mu^+ W_\mu^- [\textcolor{red}{H}^2 + (\phi^0)^2 + 2\phi^+ \phi^-] - \\
& \frac{1}{4} g^2 \frac{1}{c_w^2} Z_\mu^0 [\textcolor{red}{H}^2 + (\phi^0)^2 + 2(2s_w^2 - 1)^2 \phi^+ \phi^-] - \frac{1}{2} g^2 \frac{s_w^2}{c_w} Z_\mu^0 \phi^0 (W_\mu^+ \phi^- + \\
& W_\mu^- \phi^+) - \frac{1}{2} ig^2 \frac{s_w^2}{c_w} Z_\mu^0 \textcolor{red}{H} (W_\mu^+ \phi^- - W_\mu^- \phi^+) + \frac{1}{2} g^2 s_w A_\mu \phi^0 (W_\mu^+ \phi^- + \\
& W_\mu^- \phi^+) + \frac{1}{2} ig^2 s_w A_\mu \textcolor{red}{H} (W_\mu^+ \phi^- - W_\mu^- \phi^+) - g^2 \frac{s_w}{c_w} (2c_w^2 - 1) Z_\mu^0 A_\mu \phi^+ \phi^- - \\
& g^1 s_w^2 A_\mu \phi^+ \phi^- - \bar{e}^\lambda (\gamma \partial + m_e^\lambda) e^\lambda - \bar{\nu}^\lambda \gamma \partial \nu^\lambda - \bar{u}_j^\lambda (\gamma \partial + m_u^\lambda) u_j^\lambda - \\
& d_j^\lambda (\gamma \partial + m_d^\lambda) d_j^\lambda + igs_w A_\mu [-(\bar{e}^\lambda \gamma^\mu e^\lambda) + \frac{2}{3} (\bar{u}_j^\lambda \gamma^\mu u_j^\lambda) - \frac{1}{3} (\bar{d}_j^\lambda \gamma^\mu d_j^\lambda)] + \\
& \frac{ig}{4c_w} Z_\mu^0 [(\bar{\nu}^\lambda \gamma^\mu (1 + \gamma^5) \nu^\lambda) + (\bar{e}^\lambda \gamma^\mu (4s_w^2 - 1 - \gamma^5) e^\lambda) + (\bar{u}_j^\lambda \gamma^\mu (\frac{4}{3}s_w^2 - \\
& 1 - \gamma^5) u_j^\lambda) + (\bar{d}_j^\lambda \gamma^\mu (1 - \frac{8}{3}s_w^2 - \gamma^5) d_j^\lambda)] + \frac{ig}{2\sqrt{2}} W_\mu^+ [(\bar{\nu}^\lambda \gamma^\mu (1 + \gamma^5) e^\lambda) + \\
& (\bar{u}_j^\lambda \gamma^\mu (1 + \gamma^5) C_{\lambda\kappa} d_j^\kappa)] + \frac{ig}{2\sqrt{2}} W_\mu^- [(\bar{e}^\lambda \gamma^\mu (1 + \gamma^5) \nu^\lambda) + (\bar{d}_j^\kappa C_{\lambda\kappa}^\dagger \gamma^\mu (1 + \\
& \gamma^5) u_j^\lambda)] + \frac{ig}{2\sqrt{2}} \frac{m_u^\lambda}{M} [-\phi^+ (\bar{\nu}^\lambda (1 - \gamma^5) e^\lambda) + \phi^- (\bar{e}^\lambda (1 + \gamma^5) \nu^\lambda)] - \\
& \frac{g}{2} \frac{m_\lambda}{M} [\textcolor{red}{H} (\bar{e}^\lambda e^\lambda) + i \phi^0 (\bar{e}^\lambda \gamma^5 e^\lambda)] + \frac{ig}{2M\sqrt{2}} \phi^+ [-m_d^\kappa (\bar{u}_j^\lambda C_{\lambda\kappa} (1 - \gamma^5) d_j^\kappa)] + \\
& m_u^\lambda (\bar{u}_j^\lambda C_{\lambda\kappa} (1 + \gamma^5) d_j^\kappa) + \frac{ig}{2M\sqrt{2}} \phi^- [m_d^\lambda (\bar{d}_j^\lambda C_{\lambda\kappa}^\dagger (1 + \gamma^5) u_j^\kappa) - m_u^\kappa (\bar{d}_j^\lambda C_{\lambda\kappa}^\dagger (1 - \\
& \gamma^5) u_j^\kappa)] - \frac{g}{2} \frac{m_u^\lambda}{M} \textcolor{red}{H} (\bar{u}_j^\lambda u_j^\lambda) - \frac{g}{2} \frac{m_d^\lambda}{M} \textcolor{red}{H} (\bar{d}_j^\lambda d_j^\lambda) + \frac{ig}{2} \frac{m_u^\lambda}{M} \phi^0 (\bar{u}_j^\lambda \gamma^5 u_j^\lambda) - \\
& \frac{ig}{2} \frac{m_d^\lambda}{M} \phi^0 (\bar{d}_j^\lambda \gamma^5 d_j^\lambda) + \bar{X}^+ (\partial^2 - M^2) X^+ + \bar{X}^- (\partial^2 - M^2) X^- + \bar{X}^0 (\partial^2 - \\
& \frac{M^2}{c_w^2}) X^0 + \bar{Y} \partial^2 Y + ig c_w W_\mu^+ (\partial_\mu \bar{X}^0 X^- - \partial_\mu \bar{X}^+ X^0) + igs_w W_\mu^+ (\partial_\mu \bar{Y} X^- - \\
& \partial_\mu \bar{X}^+ Y) + ig c_w W_\mu^- (\partial_\mu \bar{X}^- X^0 - \partial_\mu \bar{X}^0 X^+) + igs_w W_\mu^- (\partial_\mu \bar{X}^- Y - \\
& \partial_\mu \bar{Y} X^+) + ig c_w Z_\mu^0 (\partial_\mu \bar{X}^+ X^+ - \partial_\mu \bar{X}^- X^-) + igs_w A_\mu (\partial_\mu \bar{X}^+ X^+ - \\
& \partial_\mu \bar{X}^- X^-) - \frac{1}{2} g M [\bar{X}^+ X^+ \textcolor{red}{H} + \bar{X}^- X^- \textcolor{red}{H} + \frac{1}{c_w^2} \bar{X}^0 X^0 \textcolor{red}{H}] + \\
& \frac{1-2c_w^2}{2c_w} ig M [\bar{X}^+ X^0 \phi^+ - \bar{X}^- X^0 \phi^-] + \frac{1}{2c_w} ig M [\bar{X}^0 X^- \phi^+ - \bar{X}^0 X^+ \phi^-] + \\
& ig M s_w [\bar{X}^0 X^- \phi^+ - \bar{X}^0 X^+ \phi^-] + \frac{1}{2} ig M [\bar{X}^+ X^+ \phi^0 - \bar{X}^- X^- \phi^0]
\end{aligned}$$

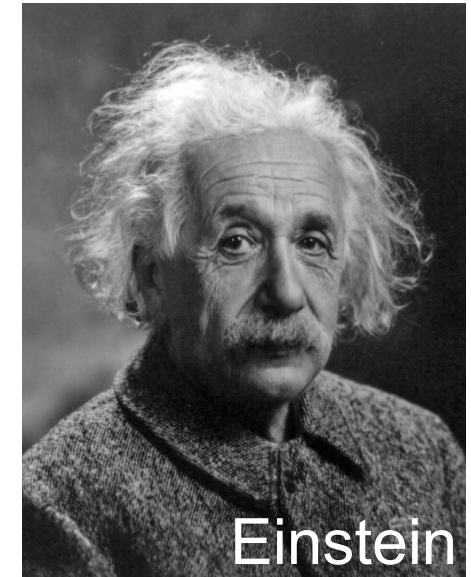
La masse



Galilée



Newton



Einstein

- Masse gravitationnelle

$$P = mg$$

- Masse inertielle

$$\Sigma F = ma$$

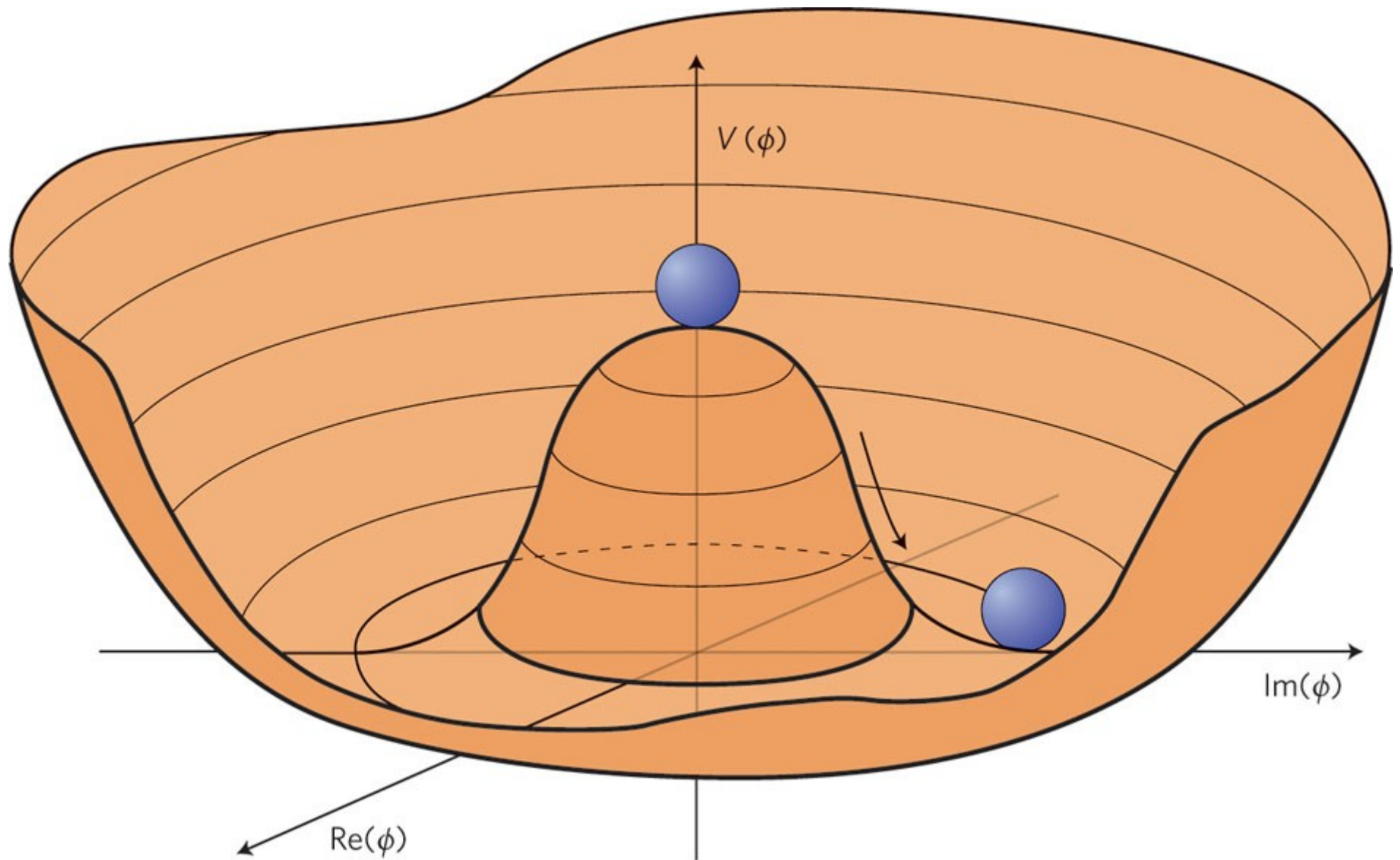
- Équivalence masse/énergie

$$E = mc^2$$

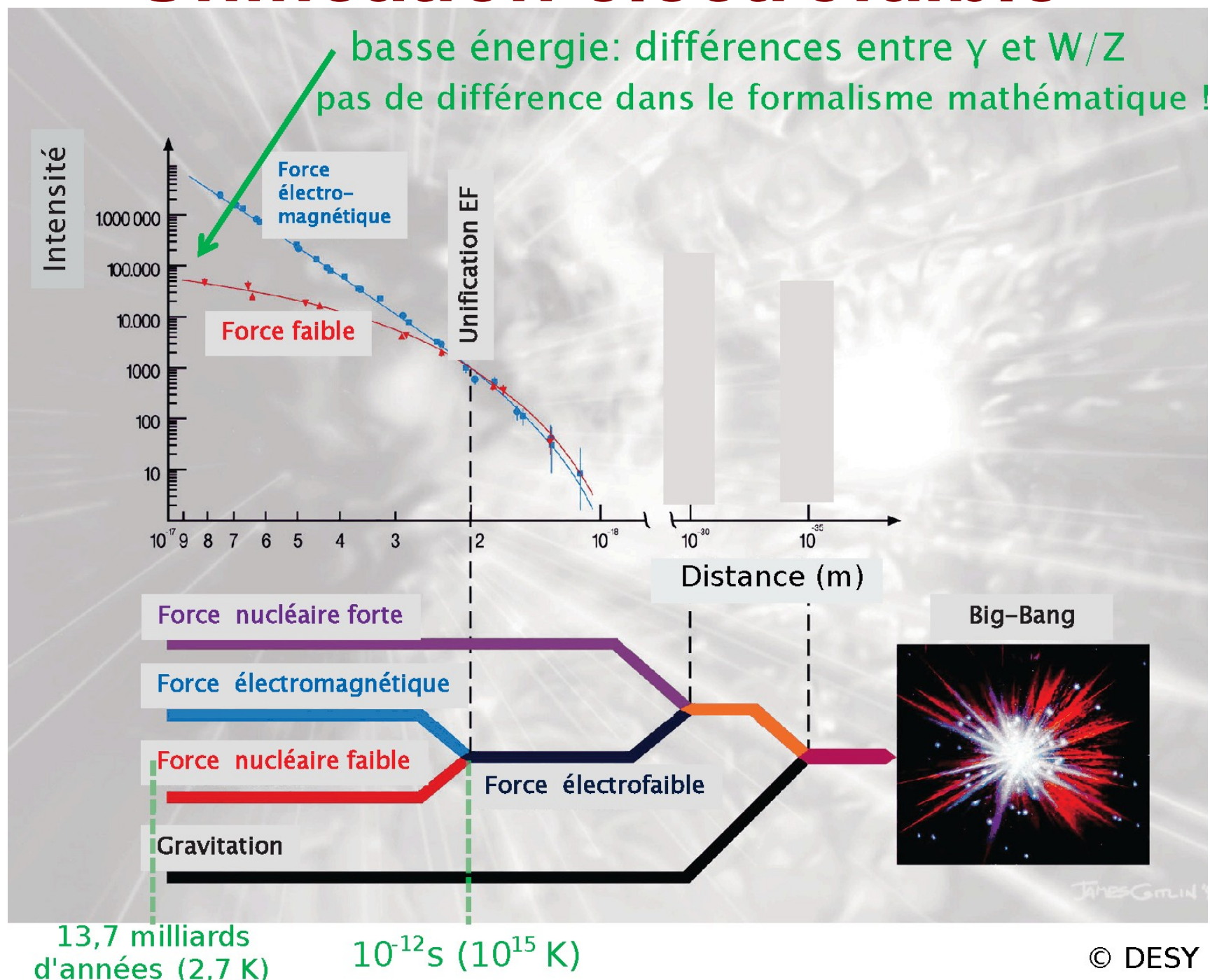
- Diverses interprétations de la notion de masse, toutes équivalentes
- D'après la théorie les particules élémentaires ont une masse nulle
 - L'Univers tel que nous le connaissons n'existe pas...
 - Contraire à l'expérience, introduction d'un mécanisme pour générer la masse : **brisure spontanée de la symétrie électrofaible**

Brisure spontanée de la symétrie électrofaible

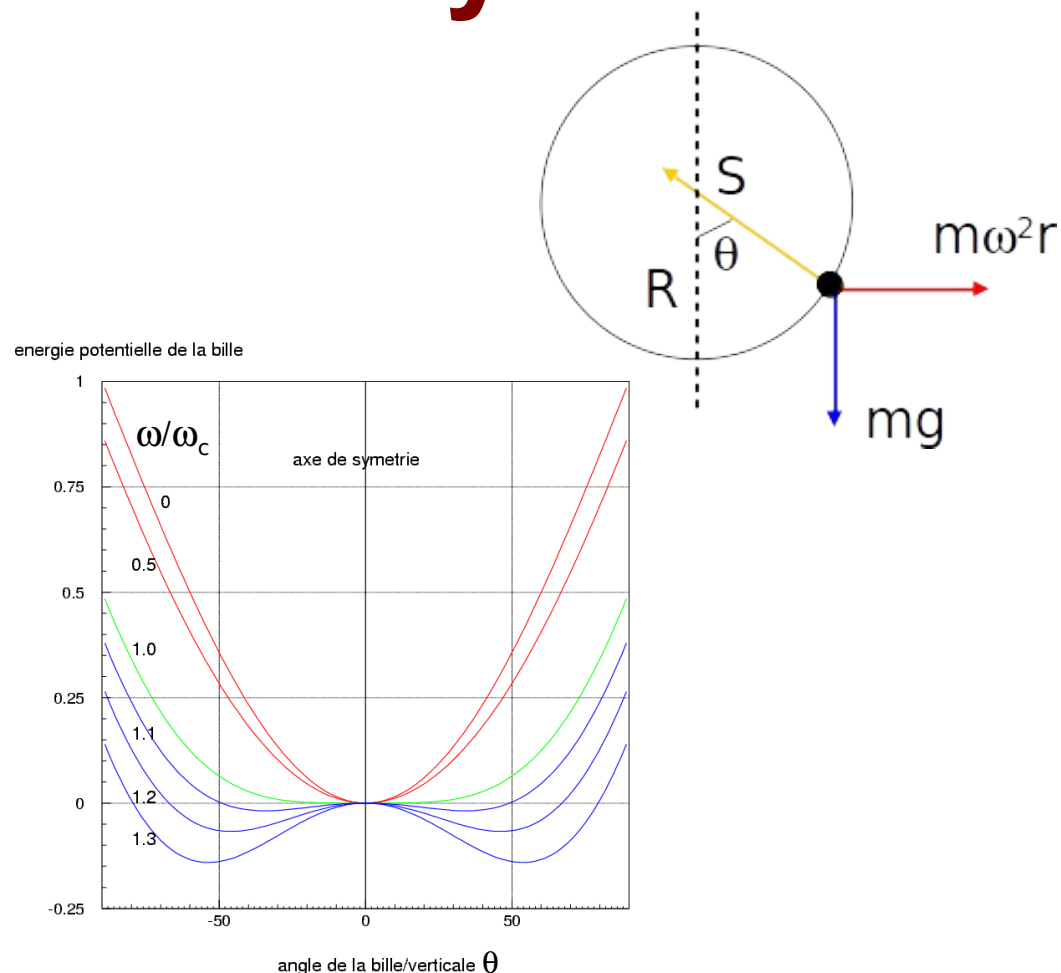
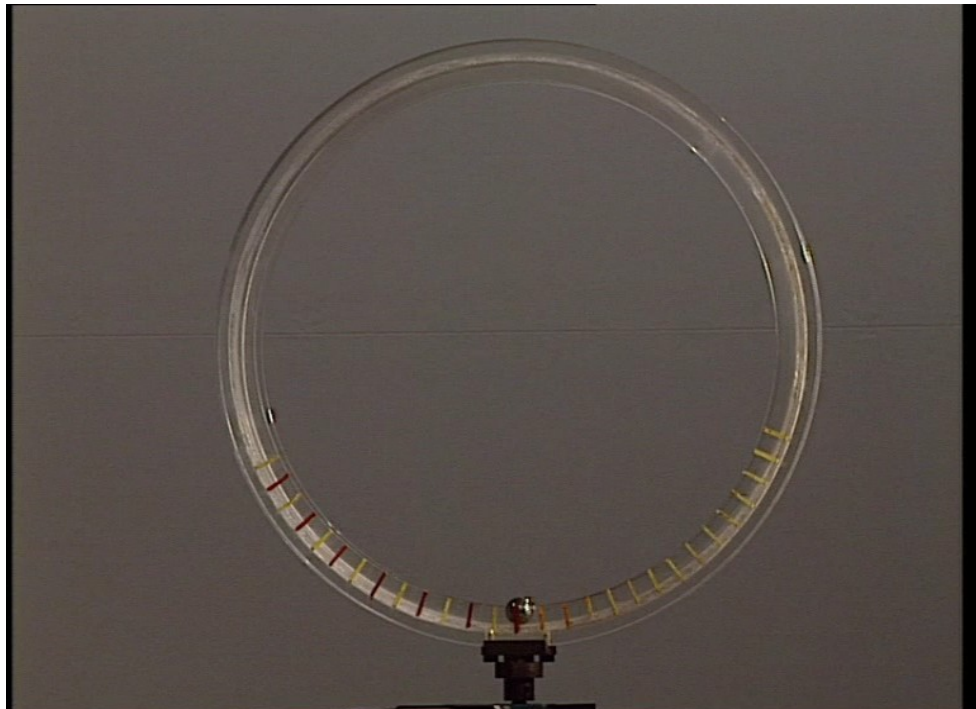
Le potentiel de Higgs : le « chapeau mexicain »



Unification électrofaible



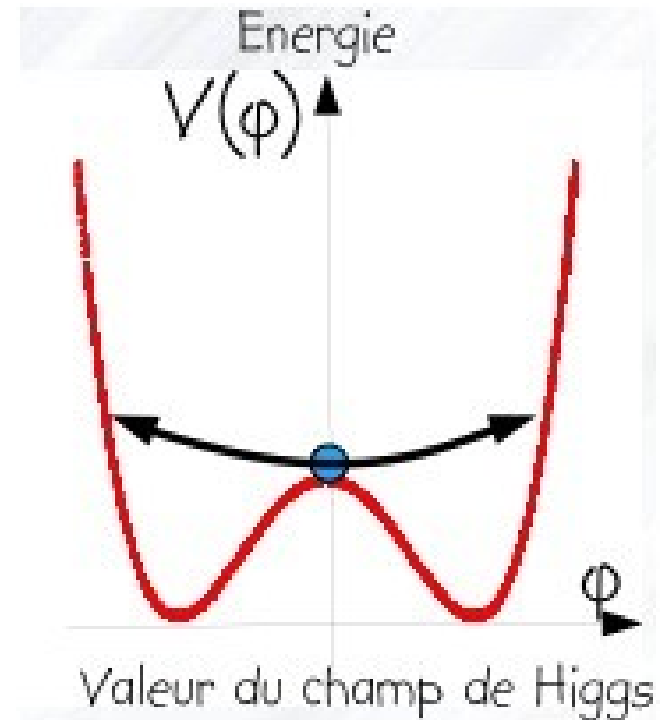
Brisure spontanée de symétrie



- vitesse angulaire de rotation $\omega \Rightarrow$ vitesse critique ω_c
 - ▶ si $\omega < \omega_c$: bille sur l'axe de symétrie
 - ▶ si $\omega > \omega_c$: 2 positions stables. La bille doit « choisir » l'une des deux \Rightarrow brisure spontanée de symétrie

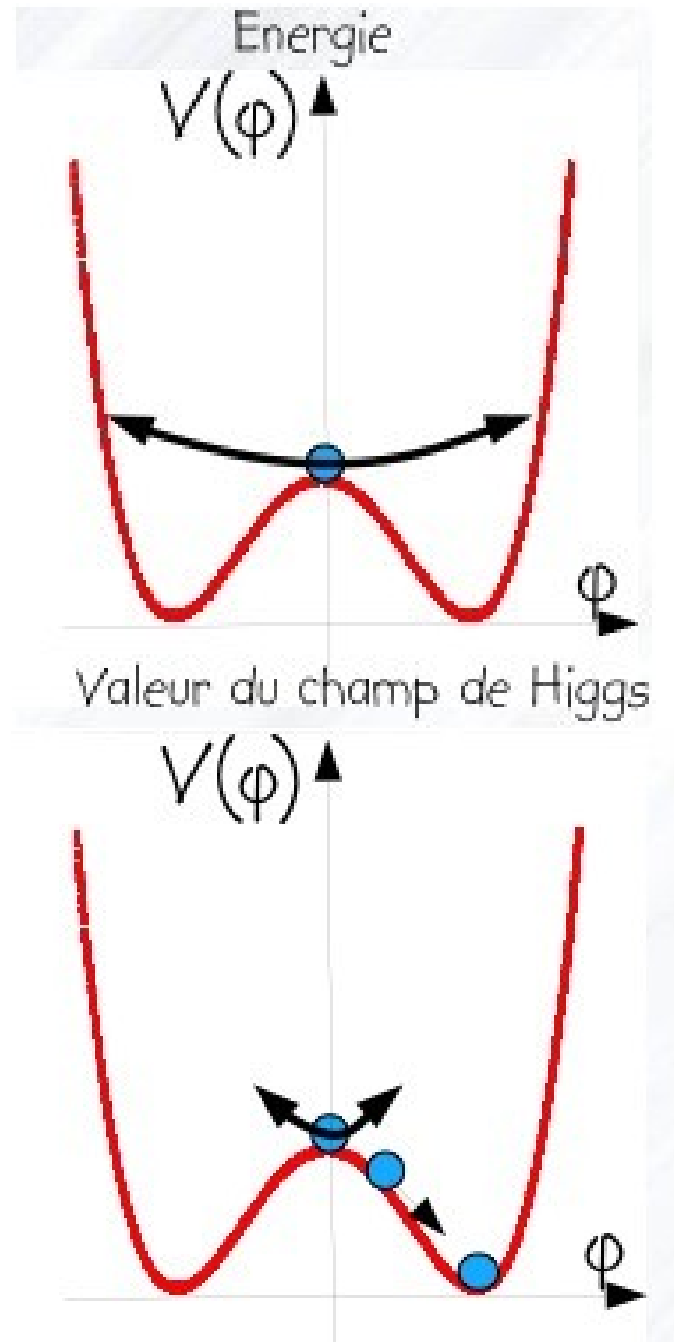
Brisure de la symétrie électrofaible

- A haute température, juste après le Big Bang :
 - ▶ champ de Higgs nul dans l'état fondamental
 - ▶ les particules restent sans masse

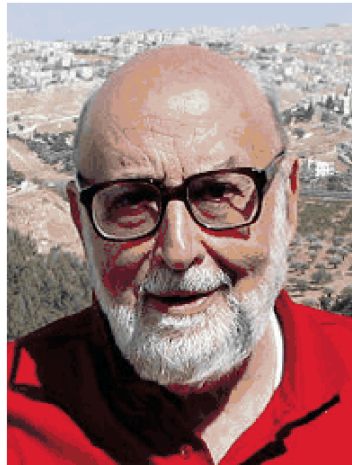


Brisure de la symétrie électrofaible

- A haute température, juste après le Big Bang :
 - ▶ champ de Higgs nul dans l'état fondamental
 - ▶ les particules restent sans masse
- Réduction de la température (10^{-12} s après le Big Bang) :
 - ▶ brisure de symétrie
 - ▶ champ non nul
 - ▶ les particules élémentaires acquièrent une masse non nulle en **interagissant avec le champ de Higgs**



1964 : Le mécanisme de Higgs



- Englert, Brout, Higgs, Guralnik, Hagen, Kibble publient à quelques mois d'intervalle
- Prédiction : existence du **champ de Higgs**, manifestation sous forme d'une nouvelle particule, le **boson de Higgs**

BROKEN SYMMETRY AND THE MASS OF GAUGE VECTOR MESONS*

F. Englert and R. Brout

Faculté des Sciences, Université Libre de Bruxelles, Bruxelles, Belgium

(Received 26 June 1964)

It is of interest to inquire whether gauge vector mesons acquire mass through interaction¹; by a gauge vector meson we mean a Yang-Mills field² associated with the extension of a Lie group from global to local symmetry. The importance of this problem resides in the possibility that strong-interaction physics originates from massive gauge fields related to a system of conserved currents.³ In this note, we shall show that in certain cases vector mesons do indeed acquire mass when the vacuum is degenerate with respect to a compact Lie group.

Theories with degenerate vacuum (broken symmetry) have been the subject of intensive study since their inception by Nambu.⁴⁻⁶ A

those vector mesons which are coupled to currents that "rotate" the original vacuum are the ones which acquire mass [see Eq. (8)].

We shall then examine a particular model based on chirality invariance which may have a more fundamental significance. Here we begin with a chirality-invariant Lagrangian and introduce both vector and pseudovector gauge fields, thereby guaranteeing invariance under both local phase and local γ_5 -phase transformations. In this model the gauge fields themselves may break the γ_5 invariance leading to a mass for the original Fermi field. We shall show in this case that the pseudovector field acquires mass.

In the last paragraph we sketch a simple argument which renders these results reason-

VOLUME 13, NUMBER 16

PHYSICAL REVIEW LETTERS

19 OCTOBER 1964

BROKEN SYMMETRIES AND THE MASSES OF GAUGE BOSONS

Peter W. Higgs

Tait Institute of Mathematical Physics, University of Edinburgh, Edinburgh, Scotland
(Received 31 August 1964)

In a recent note¹ it was shown that the Goldstone theorem,² that Lorentz-covariant field theories in which spontaneous breakdown of symmetry under an internal Lie group occurs contain zero-mass particles, fails if and only if the conserved currents associated with the internal group are coupled to gauge fields. The purpose of the present note is to report that, as a consequence of this coupling, the spin-one quanta of some of the gauge fields acquire mass; the longitudinal degrees of freedom of these particles (which would be absent if their mass were zero) go over into the Goldstone bosons when the coupling tends to zero. This phenomenon is just the relativistic analog of the plasmon phenome-

about the "vacuum" solution $\varphi_1(x) = 0$, $\varphi_2(x) = \varphi_0$:

$$\partial_\mu^\mu \{\partial_\mu (\Delta\varphi_1) - e\varphi_0 A_\mu\} = 0, \quad (2a)$$

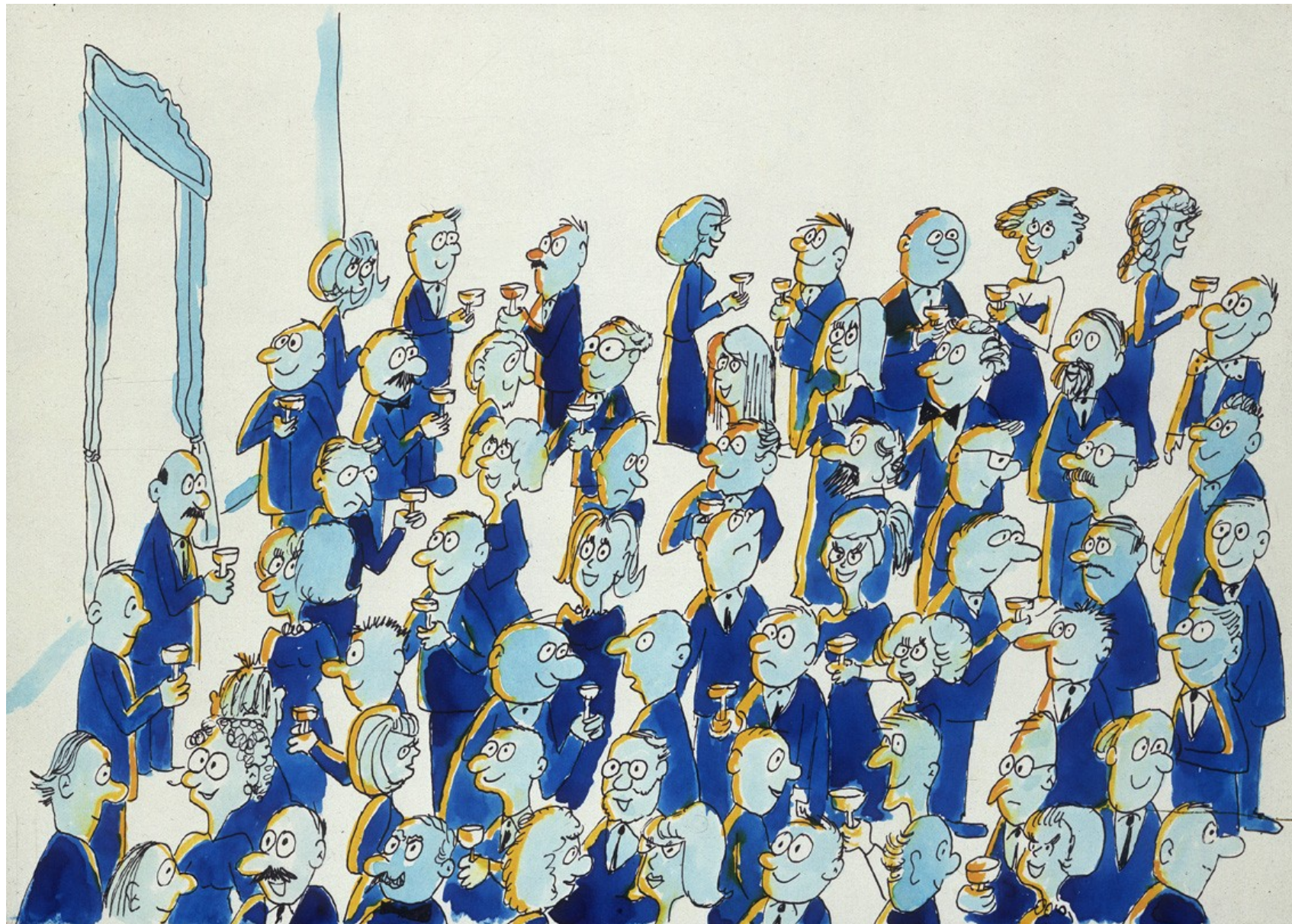
$$\{\partial^2 - 4\varphi_0^2 V''(\varphi_0^2)\}(\Delta\varphi_2) = 0, \quad (2b)$$

$$\partial_\nu F^{\mu\nu} = e\varphi_0 \{\partial^\mu (\Delta\varphi_1) - e\varphi_0 A_\mu\}. \quad (2c)$$

Equation (2b) describes waves whose quanta have (bare) mass $2\varphi_0\{V''(\varphi_0^2)\}^{1/2}$; Eqs. (2a) and (2c) may be transformed, by the introduction of new variables

$$B_\mu = A_\mu - (e\varphi_0)^{-1}\partial_\mu (\Delta\varphi_1),$$

Mécanisme de Higgs en images



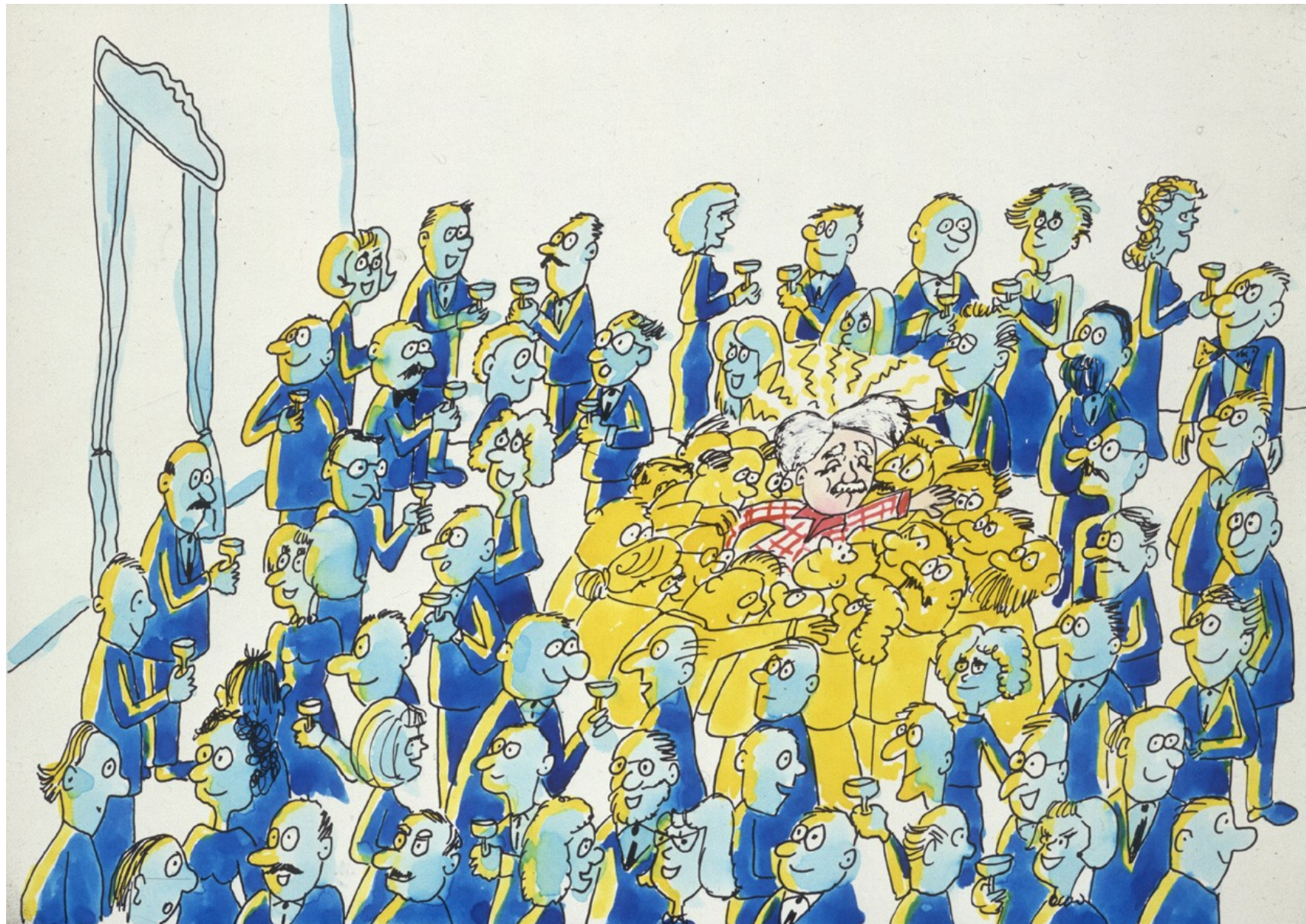
Imaginons qu'une salle pleine de physiciens conversant calmement est comme l'espace occupé seulement par le champ de Higgs...

Mécanisme de Higgs en images



... Albert Einstein entre, créant une perturbation sur son passage et attirant un essaim d'admirateurs à chaque pas ...

Mécanisme de Higgs en images



ce qui accroît la résistance à son déplacement : il acquiert une masse, comme une particule se déplaçant dans un champ de Higgs

Mécanisme de Higgs en images



... si une rumeur traverse la salle ...

Mécanisme de Higgs en images



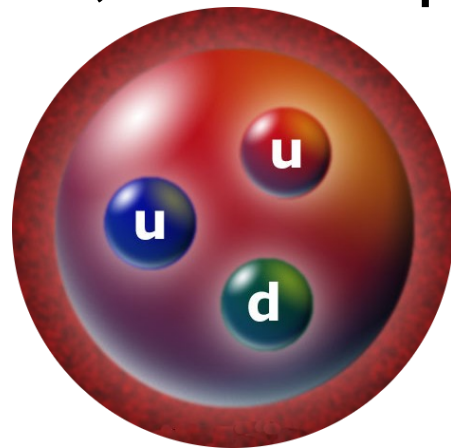
... elle donne naissance à un essaim de même type, composé cette fois des seuls physiciens. Cet essaim représente la particule de Higgs.

Interactions avec le boson de Higgs



La masse

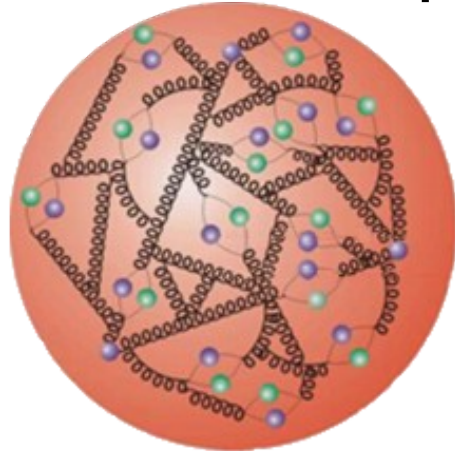
- Notre masse : celle de nos atomes
- Masse des atomes : presque uniquement celle des noyaux, faits de protons et neutrons de masse ~ 1 GeV



- Proton, neutron : 3 quarks, masse ~ 10 MeV

La masse

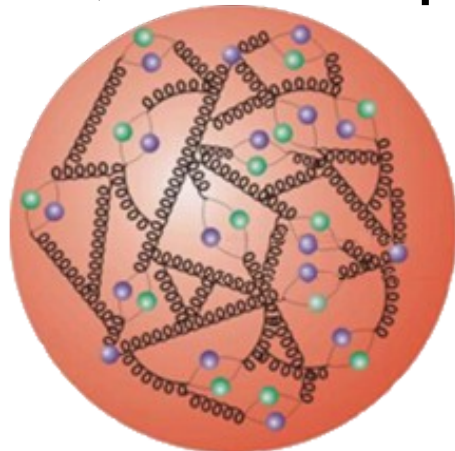
- Notre masse : celle de nos atomes
- Masse des atomes : presque uniquement celle des noyaux, faits de protons et neutrons de masse ~ 1 GeV



- En réalité, plein de gluons, dont l'énergie donne 99% de leur masse au proton et au neutron ($E=mc^2$)

La masse

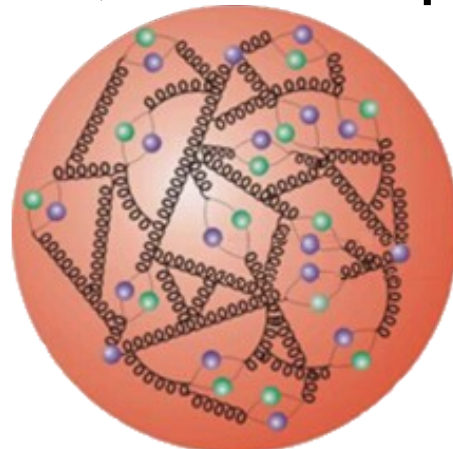
- Notre masse : celle de nos atomes
- Masse des atomes : presque uniquement celle des noyaux, faits de protons et neutrons de masse ~ 1 GeV



- En réalité, plein de gluons, dont l'énergie donne 99% de leur masse au proton et au neutron ($E=mc^2$)
- Boson de Higgs : explique « seulement » la masse des particules élémentaires (quarks, électron [leptons], bosons Z et W^\pm) et la sienne

La masse

- Notre masse : celle de nos atomes
- Masse des atomes : presque uniquement celle des noyaux, faits de protons et neutrons de masse ~ 1 GeV



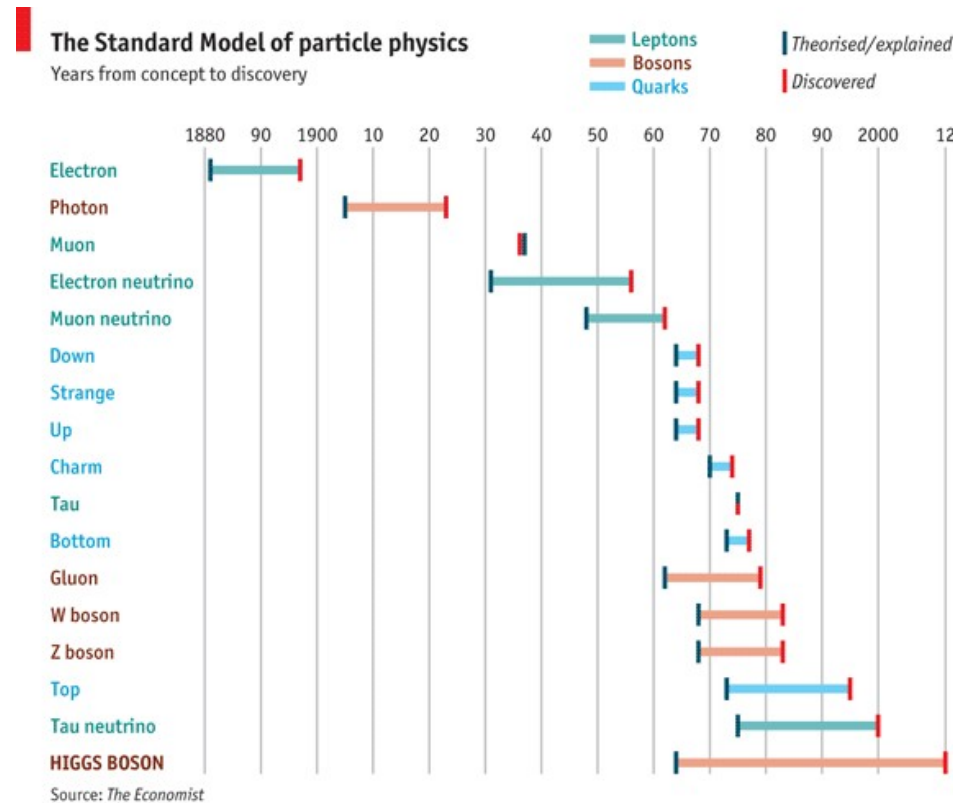
- En réalité, plein de gluons, dont l'énergie donne 99% de leur masse au proton et au neutron ($E=mc^2$)

- Boson de Higgs : explique « seulement » la masse des particules élémentaires (quarks, électron [leptons], bosons Z et W^\pm) et la sienne
- Pas grand chose ? Sans lui, pas d'atomes, pas de chimie, pas de vie ou d'Univers tels que nous les connaissons...

Découverte du boson de Higgs annoncée le 4 juillet 2012



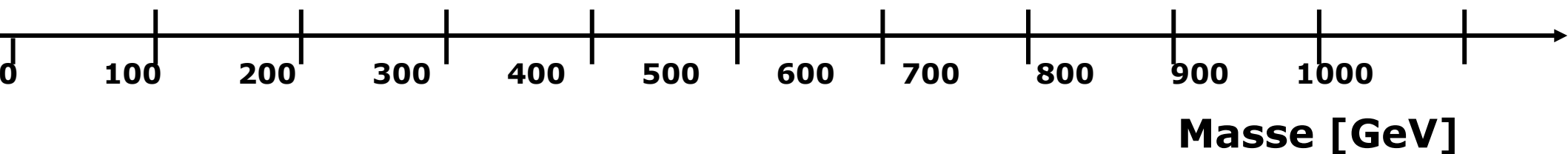
Une longue quête



- Pourquoi ? La théorie prédit tout sur le boson de Higgs, sauf sa masse ! Il faut donc chercher partout...
- Modèle standard : énorme succès, sauf que les particules n'ont pas de masse...
- Boson de Higgs : pièce essentielle pour accorder théorie et expérience
- 48 ans entre la prédition théorique et la découverte expérimentale !

La chasse au boson de Higgs

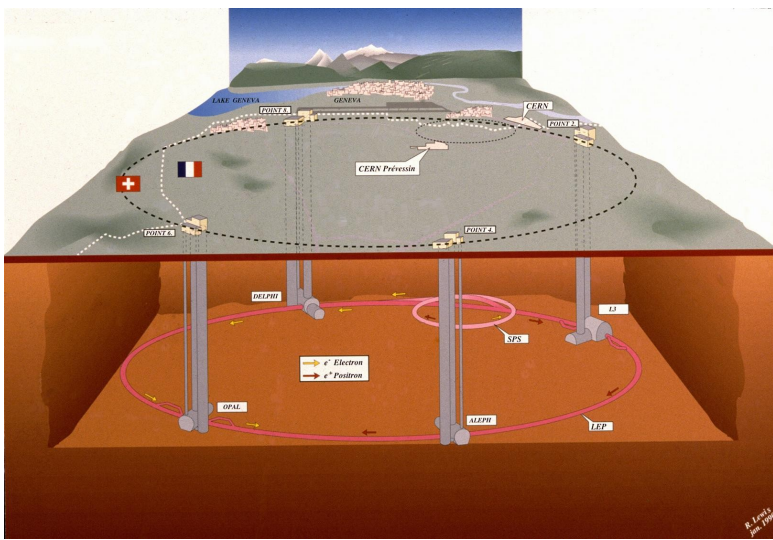
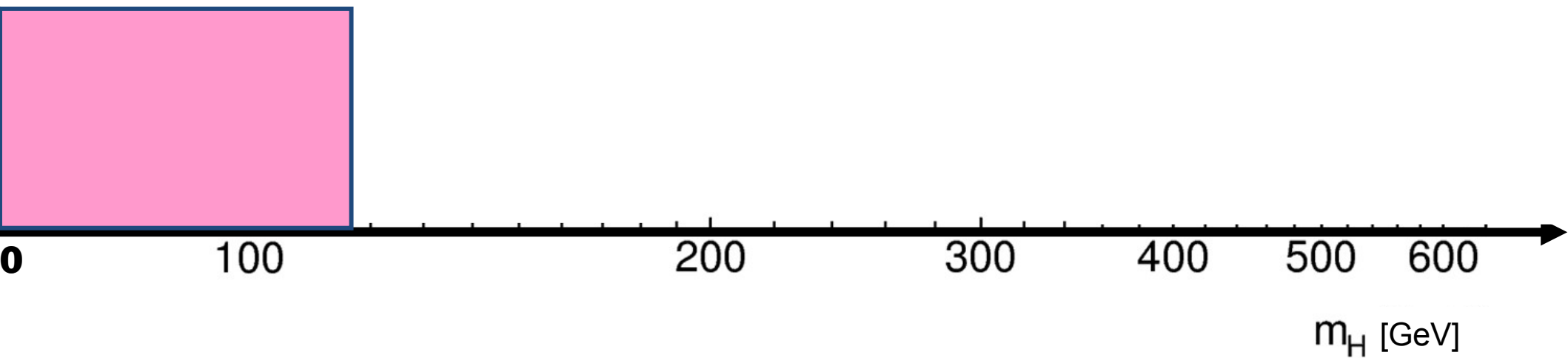
?



- Seule contrainte théorique : masse < 1000 GeV

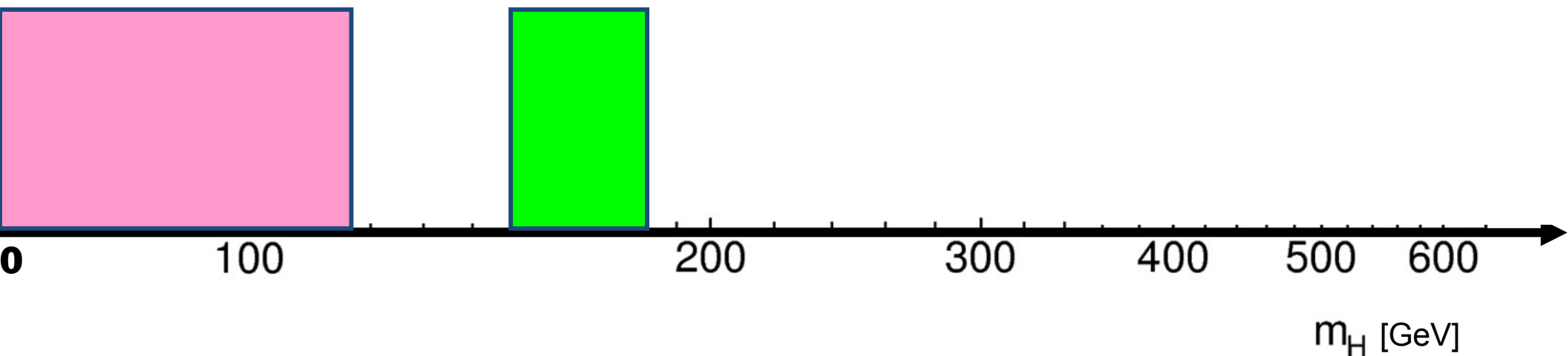
La chasse au boson de Higgs

LEP
1989-2000



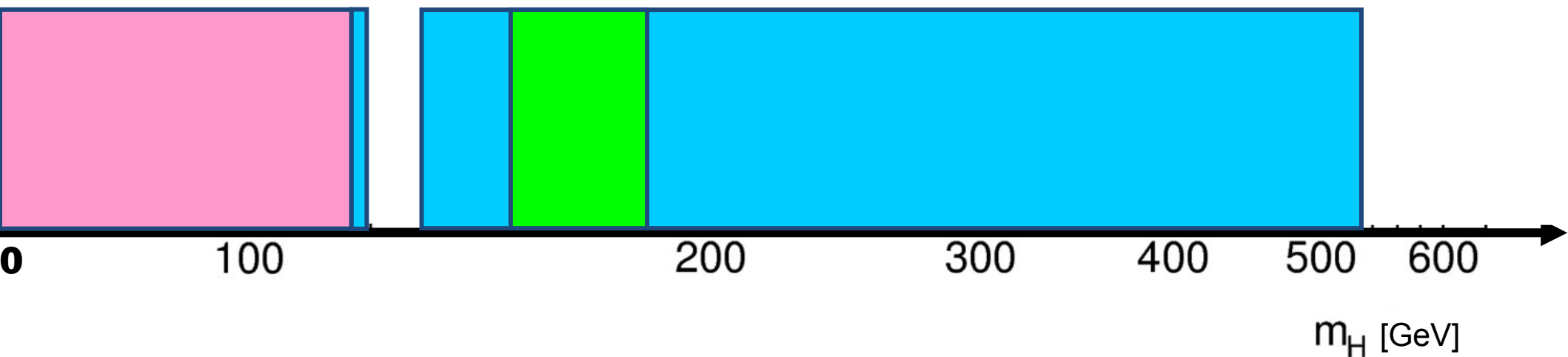
La chasse au boson de Higgs

Tevatron
1983-2011

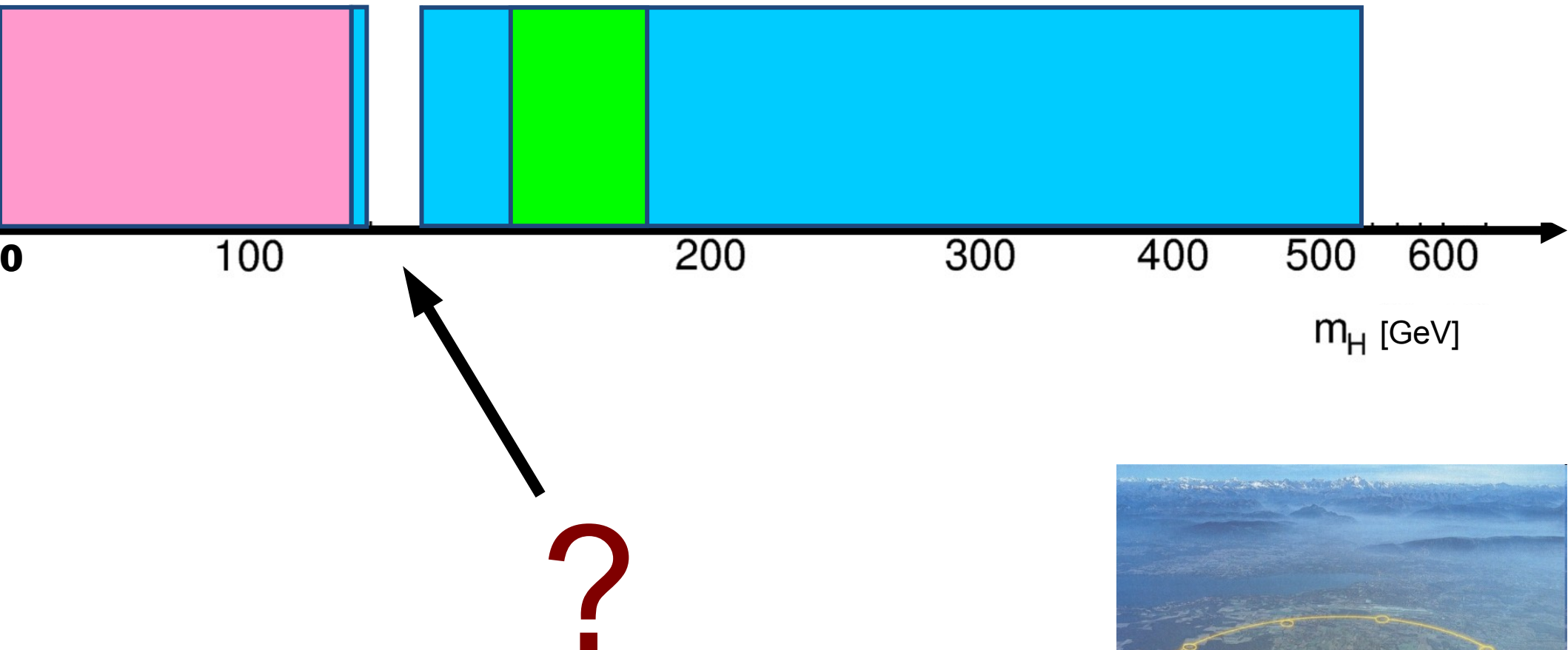


La chasse au boson de Higgs

LHC
2009-2011

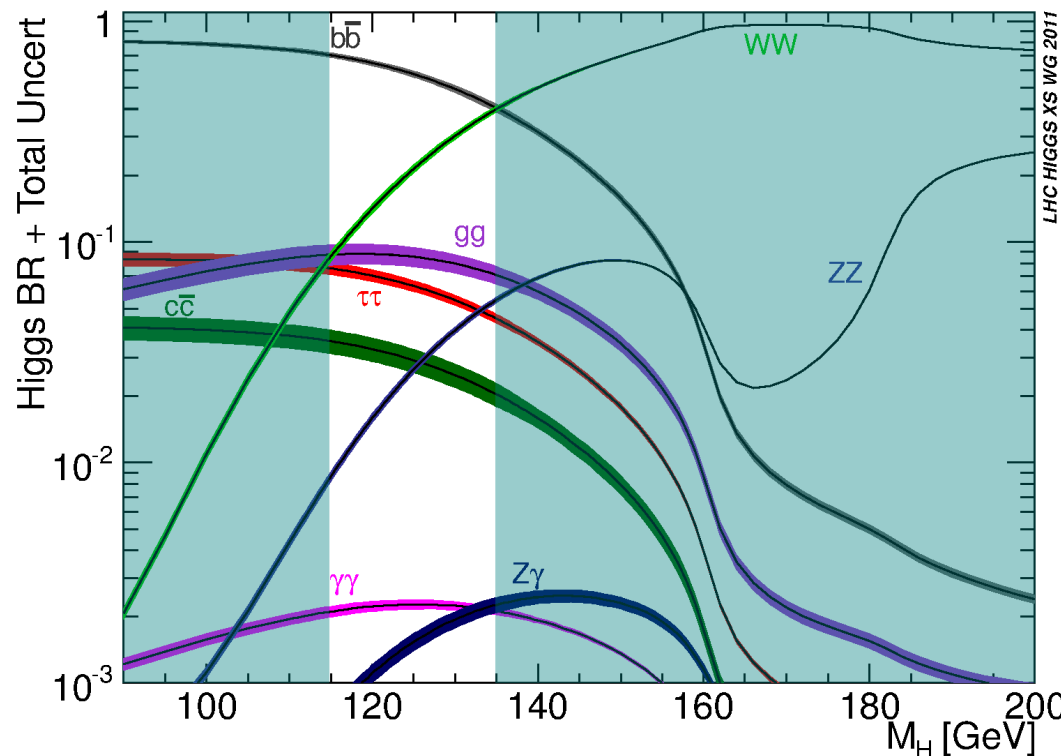


La chasse au boson de Higgs



Comment s'y prend-on ?

- Collision de protons $\rightarrow (E = mc^2)$ \rightarrow création d'un boson de Higgs, une fois sur 10 milliards
- Ensuite il se désintègre, différemment suivant sa masse. Exemple à 125 GeV :
 - ▶ 58 fois sur 100 en $b\bar{b}$
 - ▶ 21 fois sur 100 en WW
 - ▶ 3 fois sur 100 en ZZ
 - ▶ 2 fois sur 1000 en $\gamma\gamma$
- Note : le plus fréquent n'est pas forcément le plus facile à observer

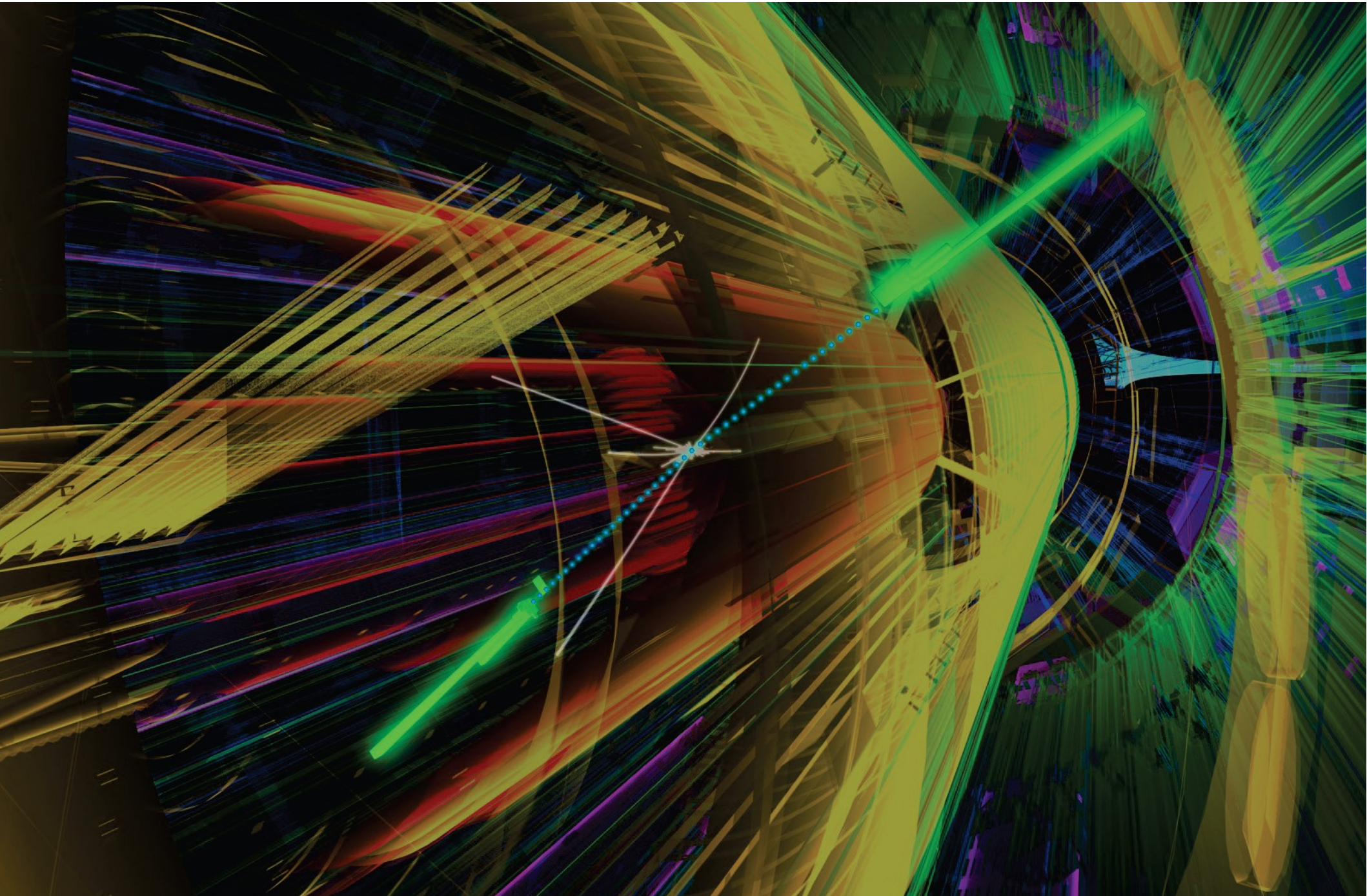


Encore plus dur qu'une aiguille dans une botte de foin

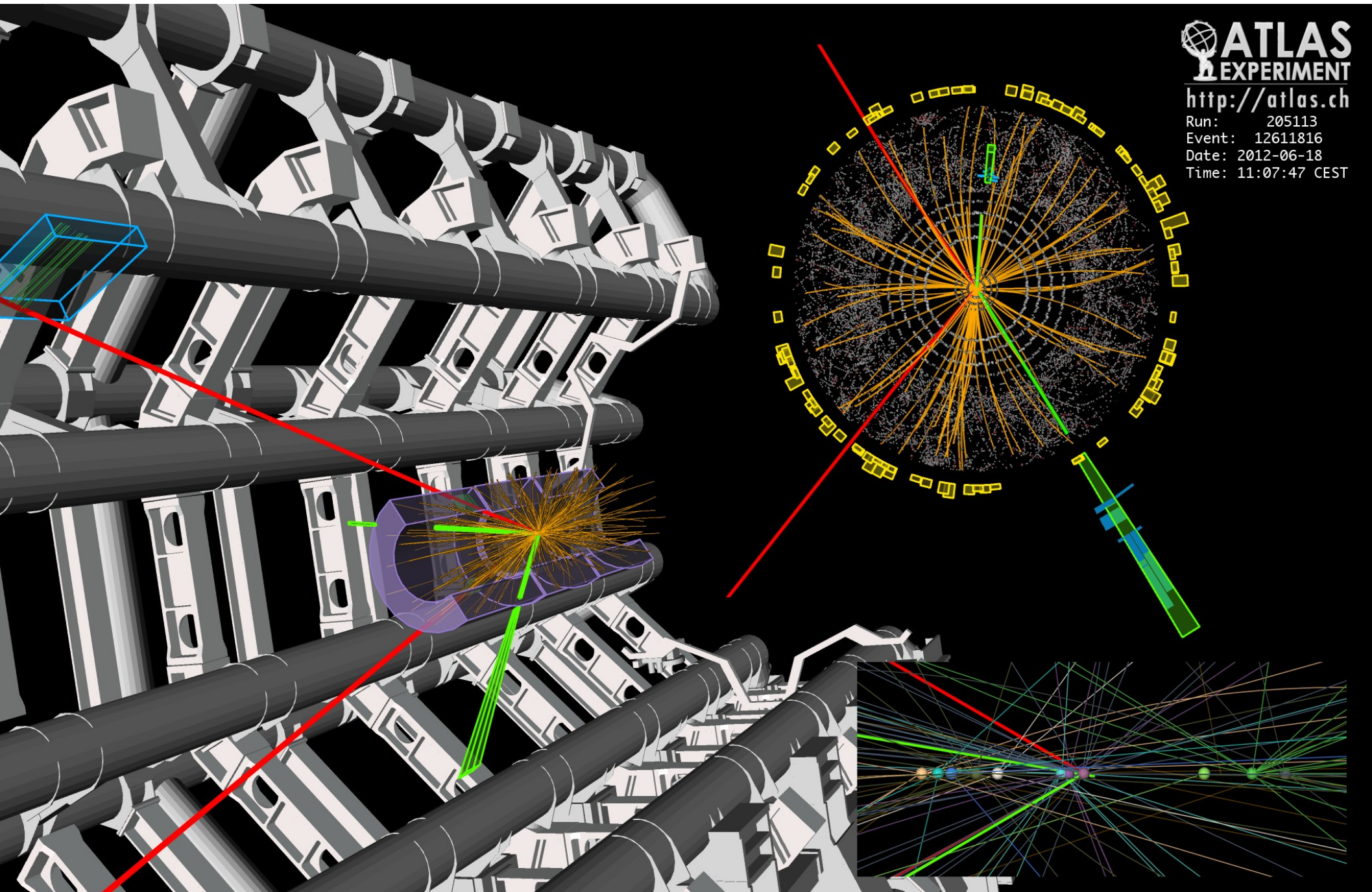
- Le boson de Higgs n'est pas produit très souvent, il faut donc analyser énormément de collisions
- La trace de sa désintégration dans le détecteur peut être imitée par d'autres processus, très difficiles à différencier de ce que l'on cherche
- Une aiguille dans une botte d'aiguilles



Candidat $H \rightarrow \gamma\gamma$



Candidat $H \rightarrow ZZ^* \rightarrow ee\mu\mu$

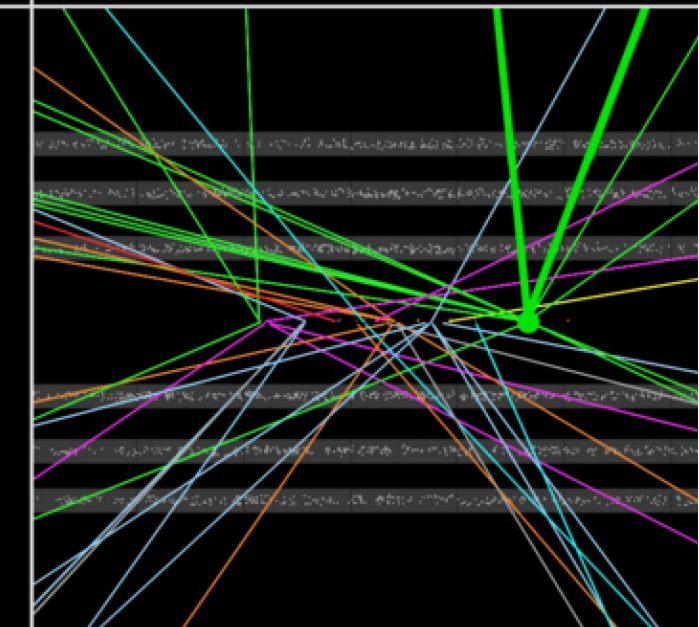
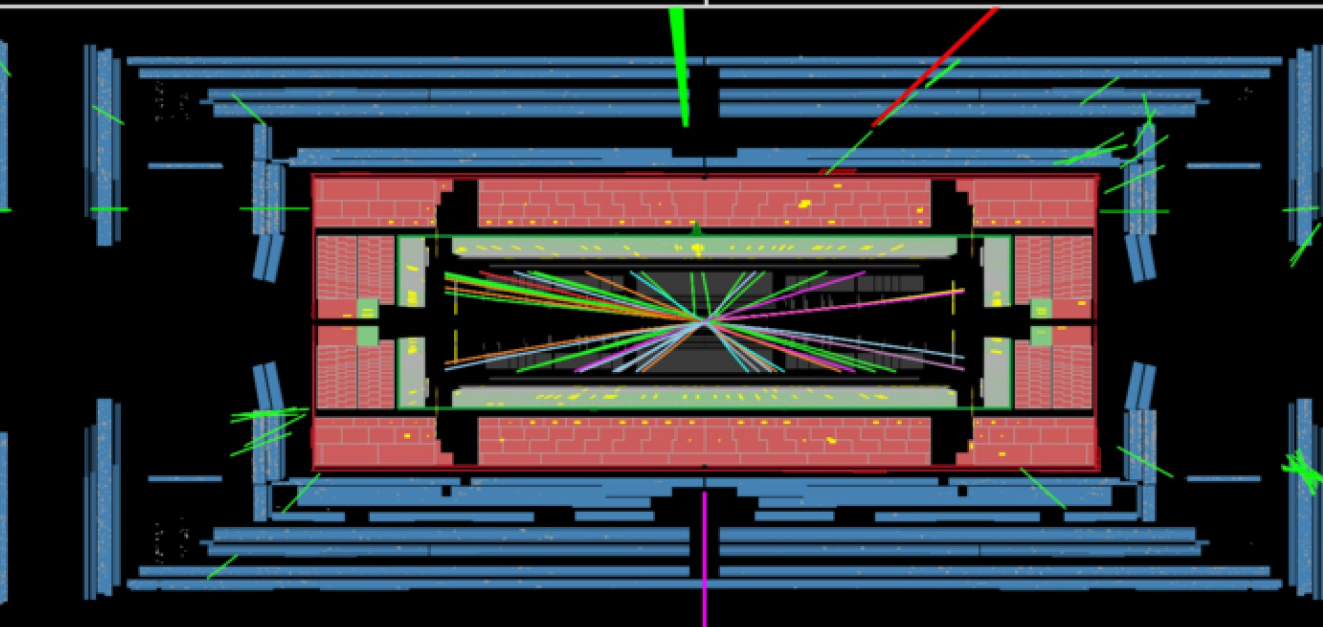
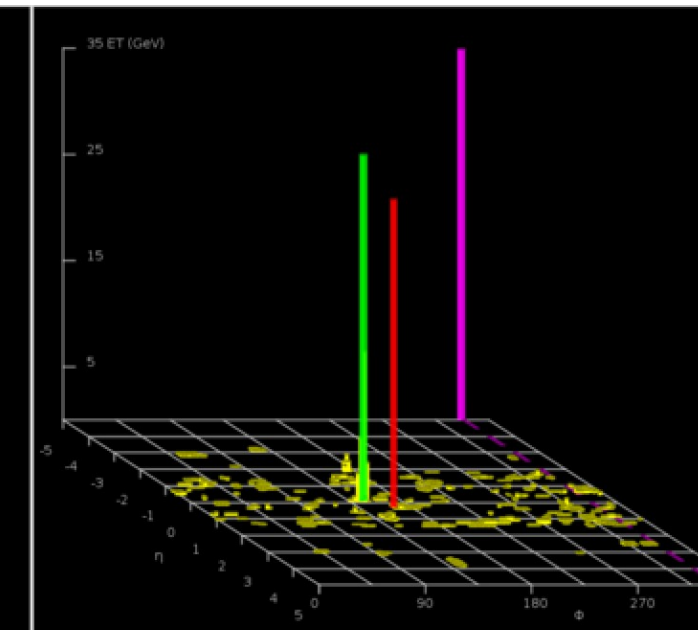
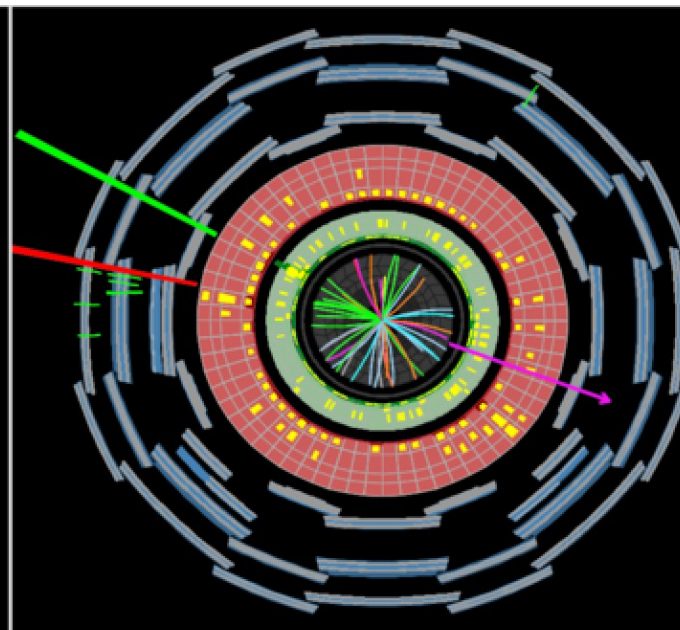


Candidat $H \rightarrow WW \rightarrow e\nu\mu\nu$



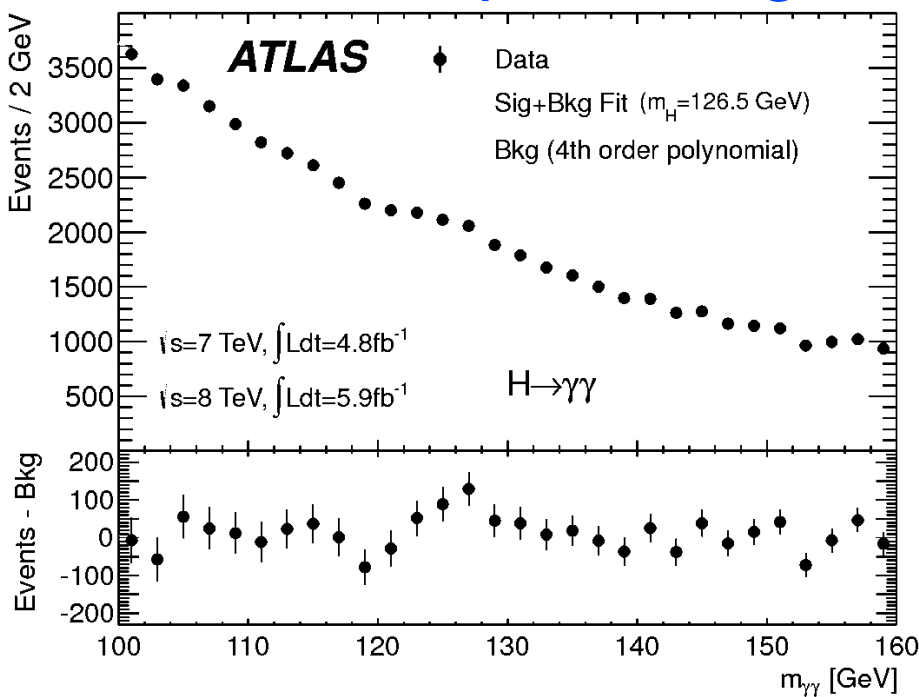
Run Number: 204026, Event Number: 33133446

Date: 2012-05-28 07:23:47 CEST



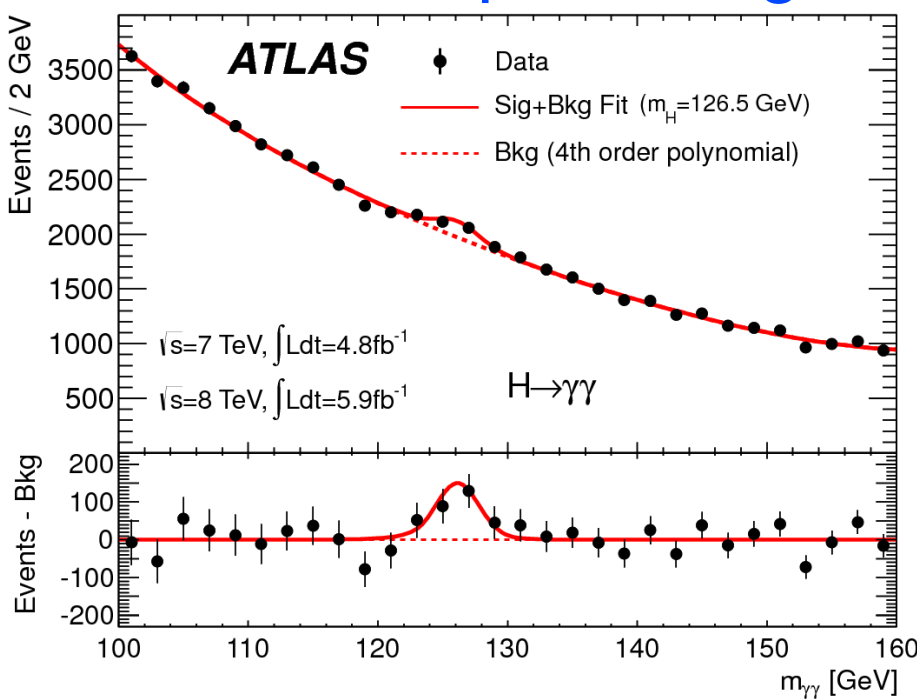
Mesure

- Higgs en 2 photons
 - ▶ Bruit de fond important
 - ▶ Petit pic avec « beaucoup » de signal



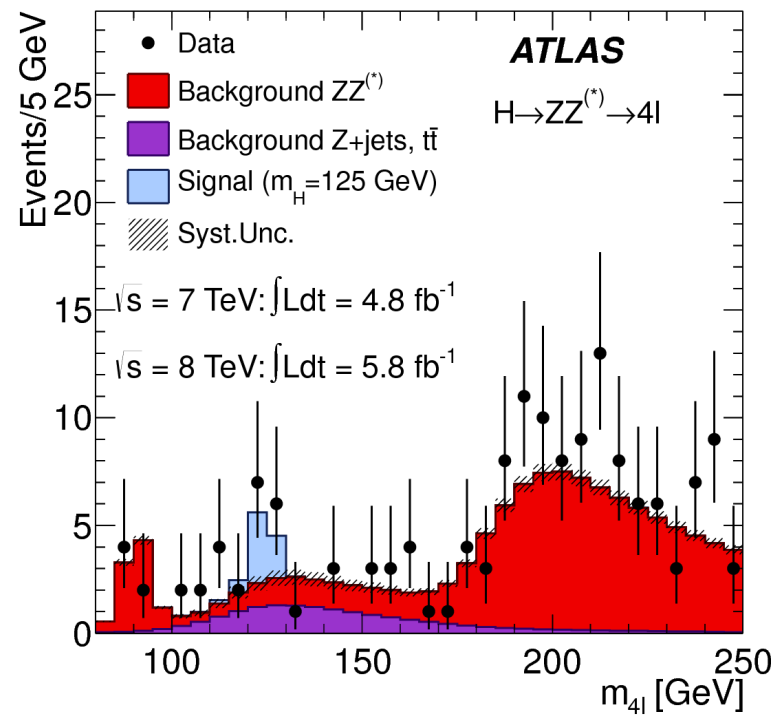
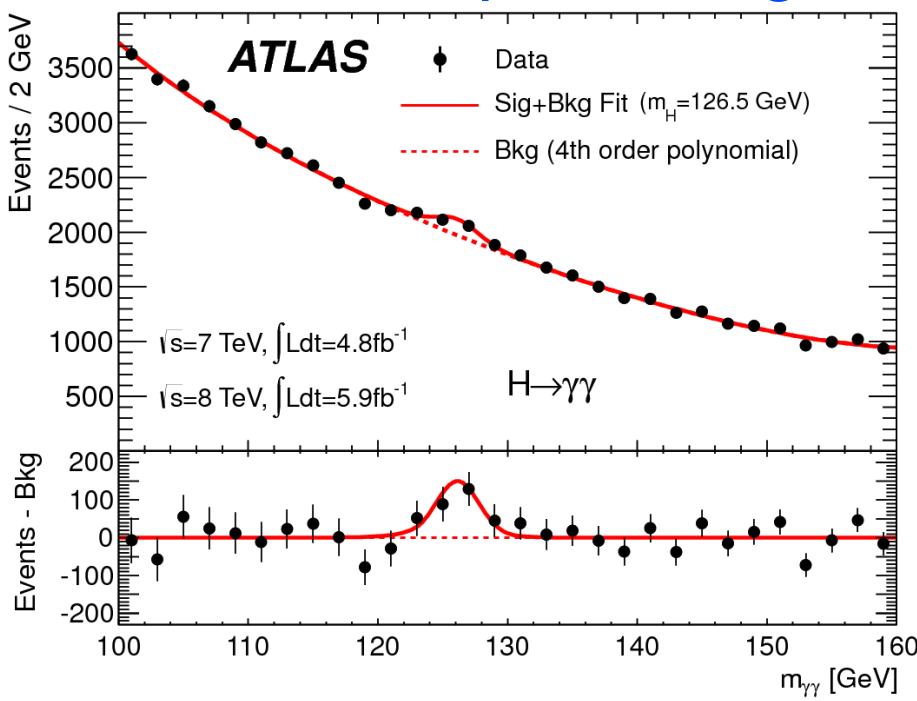
Mesure

- Higgs en 2 photons
 - ▶ Bruit de fond important
 - ▶ Petit pic avec « beaucoup » de signal



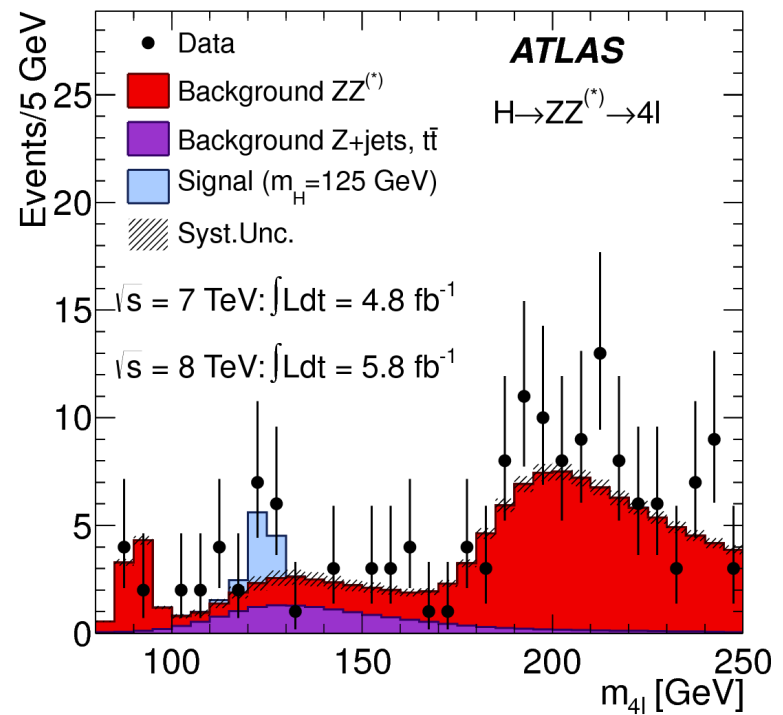
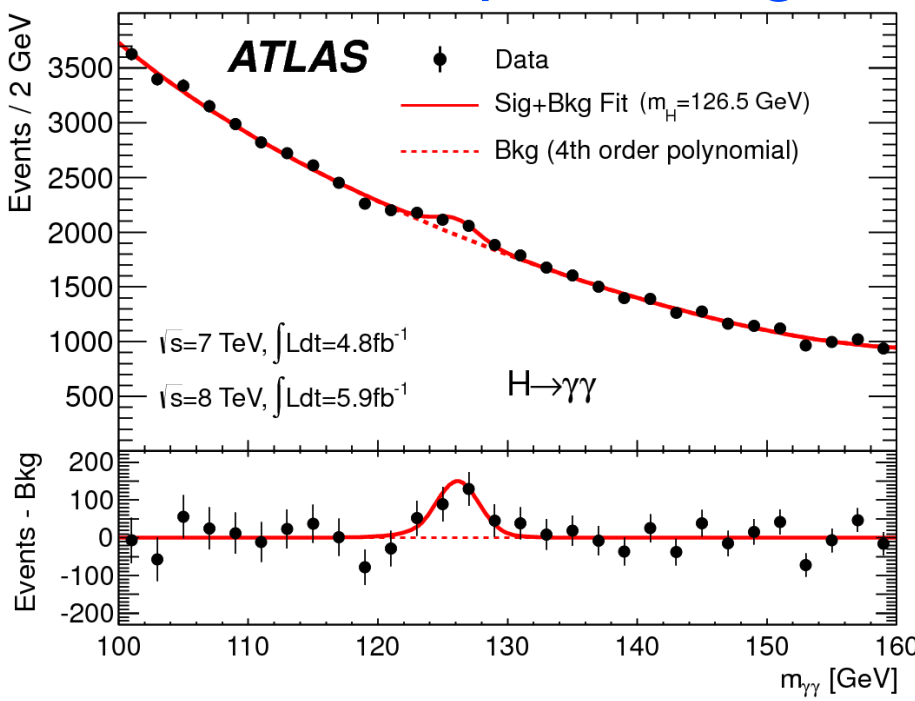
Mesure

- Higgs en 2 photons
 - ▶ Bruit de fond important
 - ▶ Petit pic avec « beaucoup » de signal
- Higgs en ZZ
 - ▶ Très peu de bruit de fond
 - ▶ Très peu d'événements



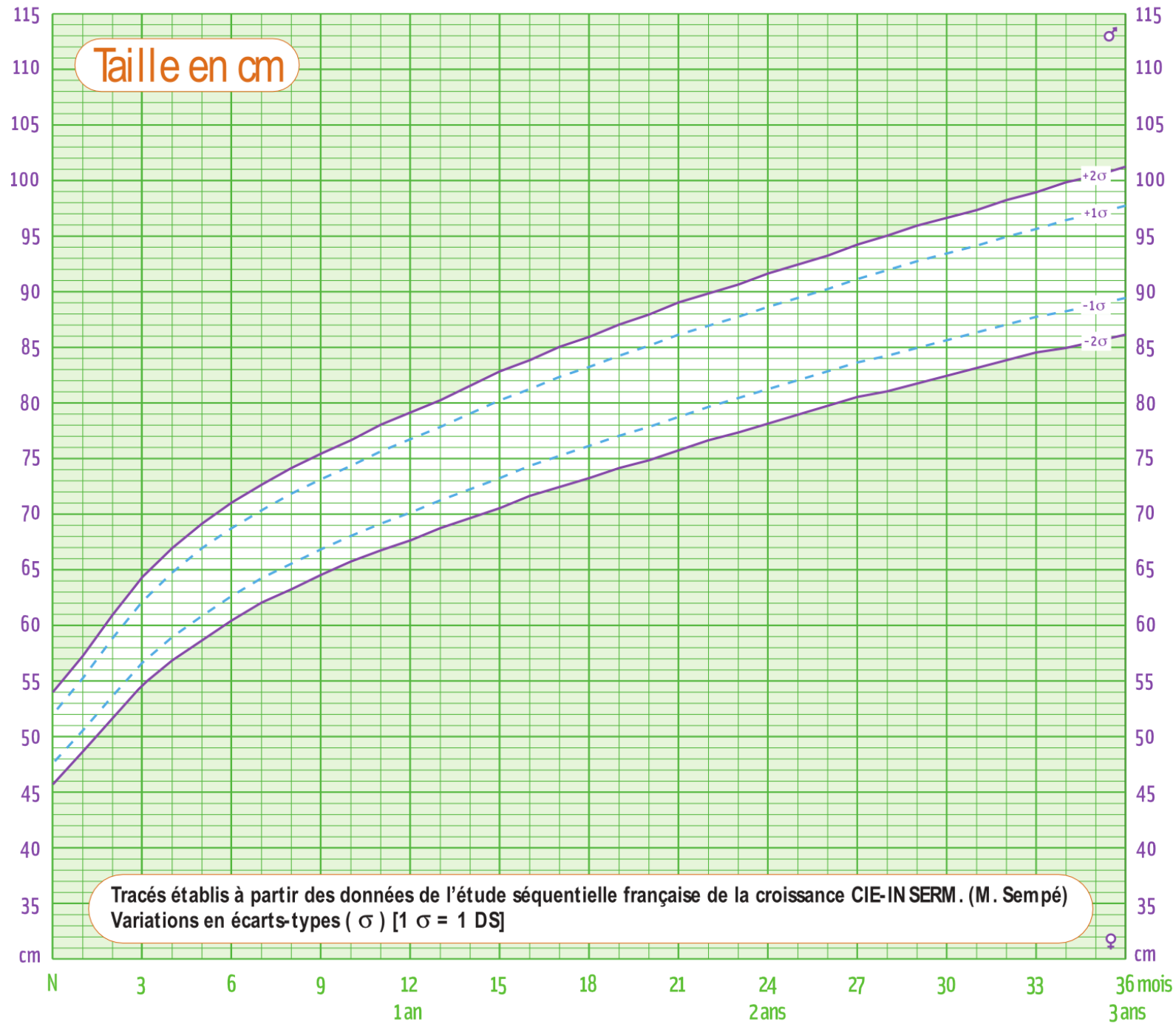
Mesure

- Higgs en 2 photons
 - ▶ Bruit de fond important
 - ▶ Petit pic avec « beaucoup » de signal
- Higgs en ZZ
 - ▶ Très peu de bruit de fond
 - ▶ Très peu d'événements

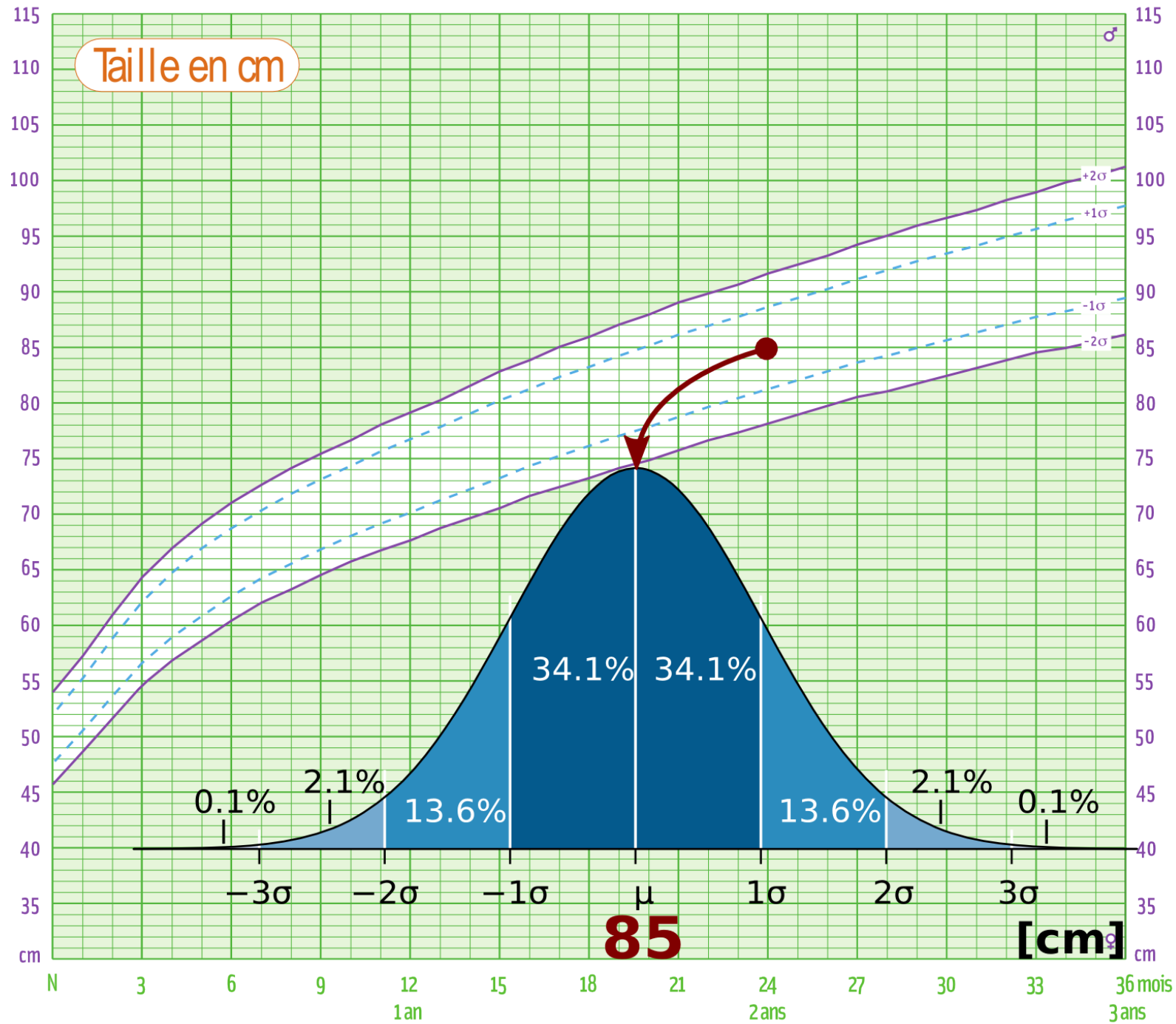


Est-ce que cela est significatif ?
Outils statistiques pour répondre

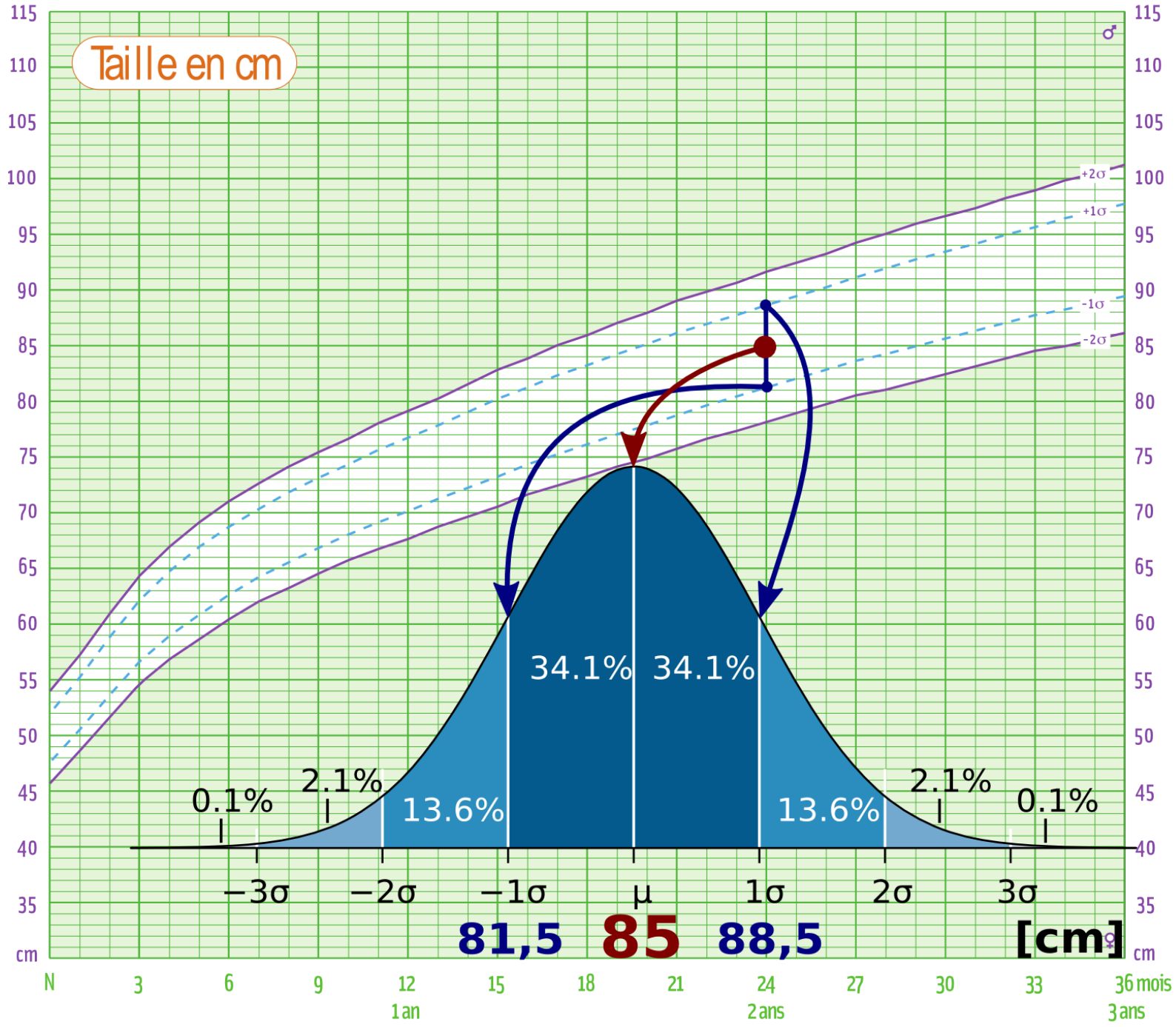
La Gaussienne



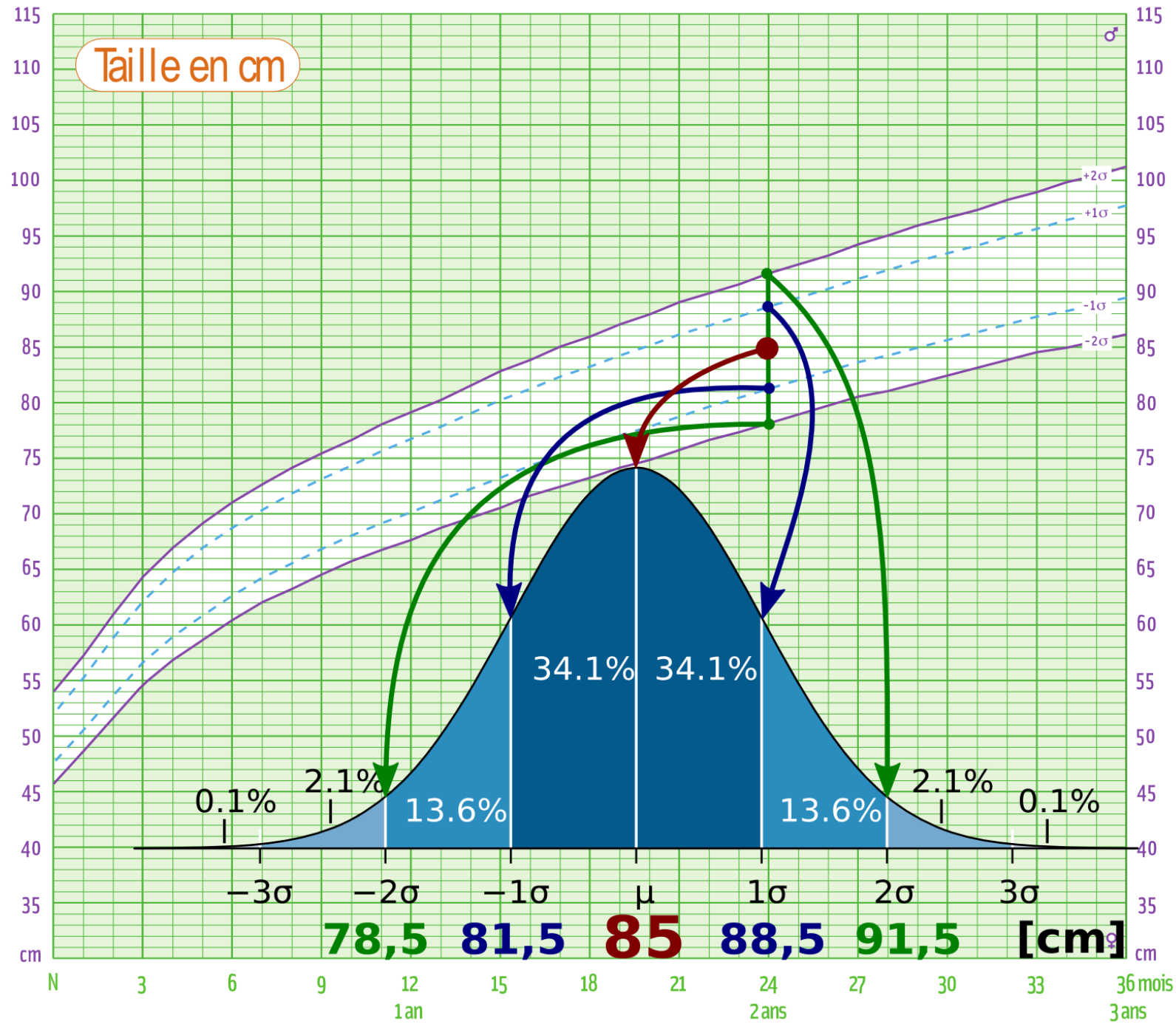
La Gaussienne



La Gaussienne

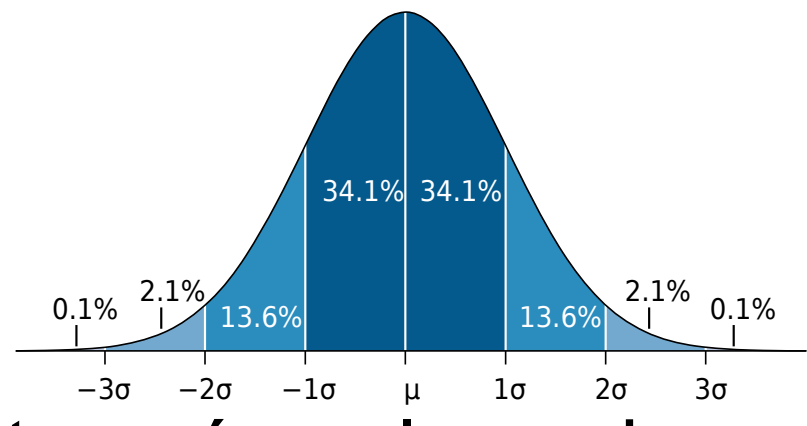
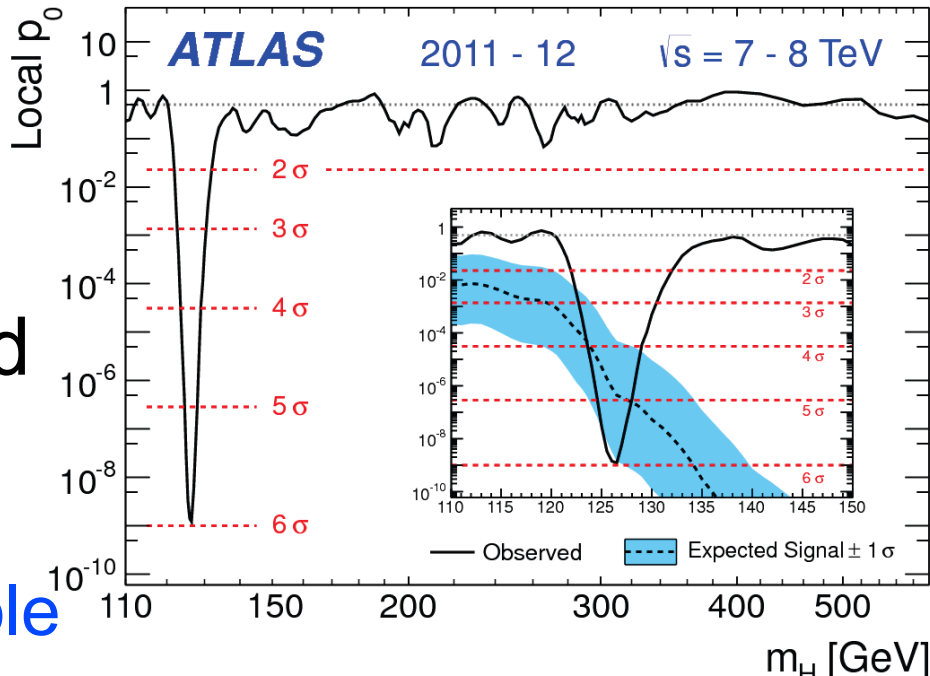


La Gaussienne

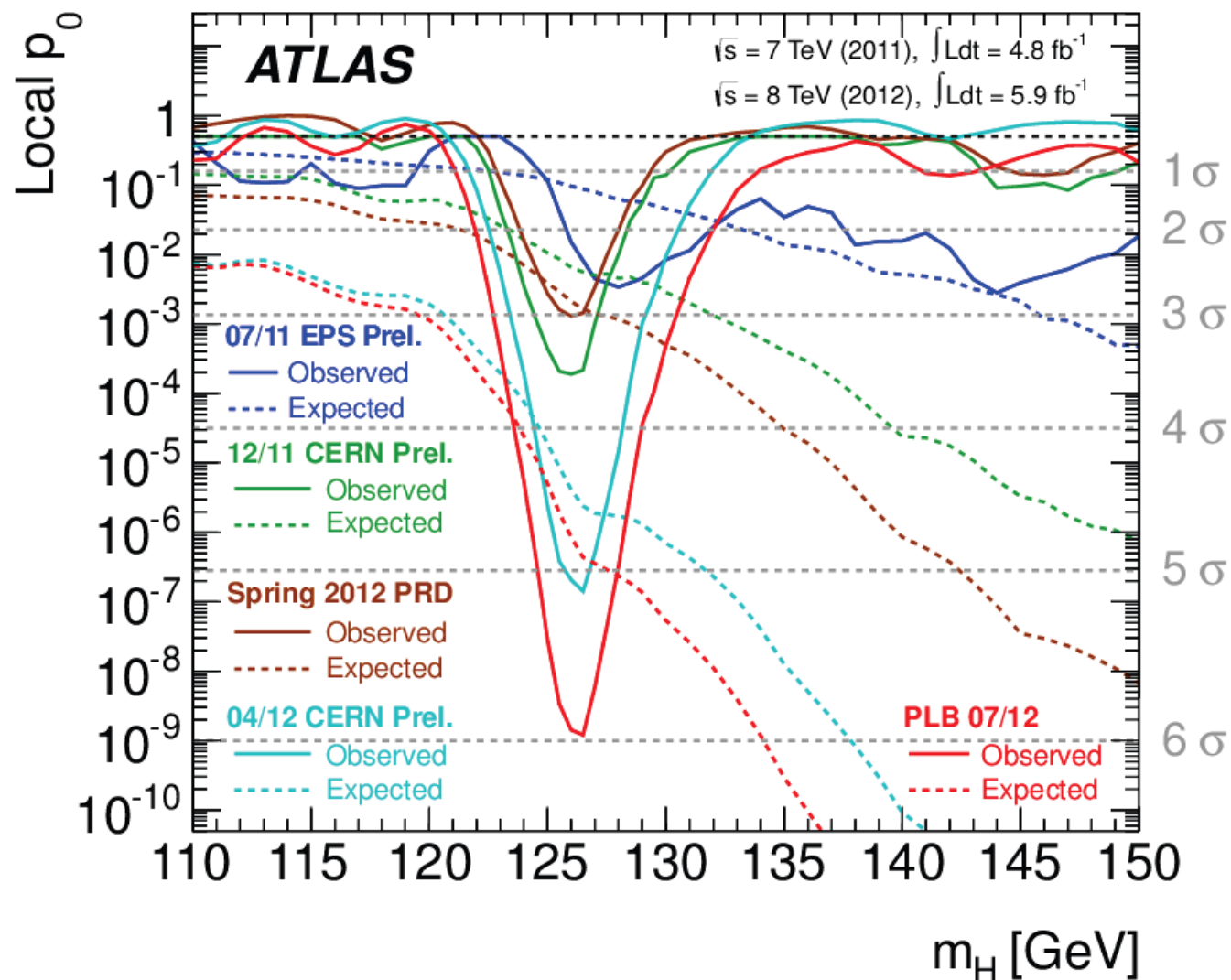


Résultat sur le Higgs : est-ce significatif statistiquement ?

- p-value p_0 : mesure la probabilité que des événements du bruit de fond produisent quelque chose qui ressemble autant au signal recherché par hasard
- Quantifié en nombre de « σ »:
 - ▶ 1σ : 1 chance sur 3 (trop probable pour conclure quoi que ce soit)
 - ▶ 3σ (évidence) : 3 chances sur 1000
 - ▶ 5σ (observation) : 1 chance sur 2 millions
 - ▶ 5.9σ : 3 chances sur 1 milliard
- Donc nous sommes sûrs d'avoir trouvé quelque chose

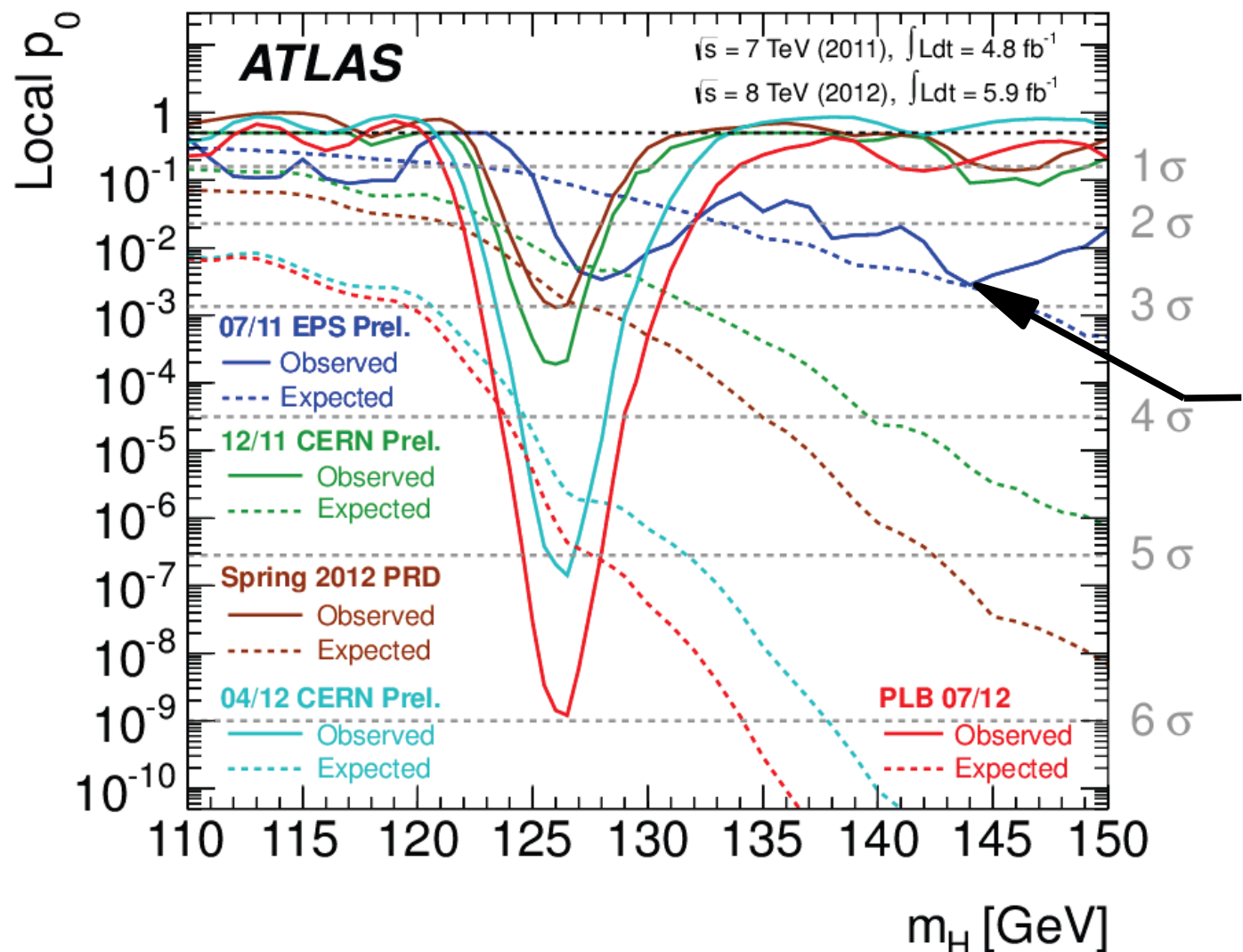


Évolution dans le temps (jusqu'à la découverte)



- D'abord des fluctuations statistiques un peu partout
- Puis les mesures se stabilisent

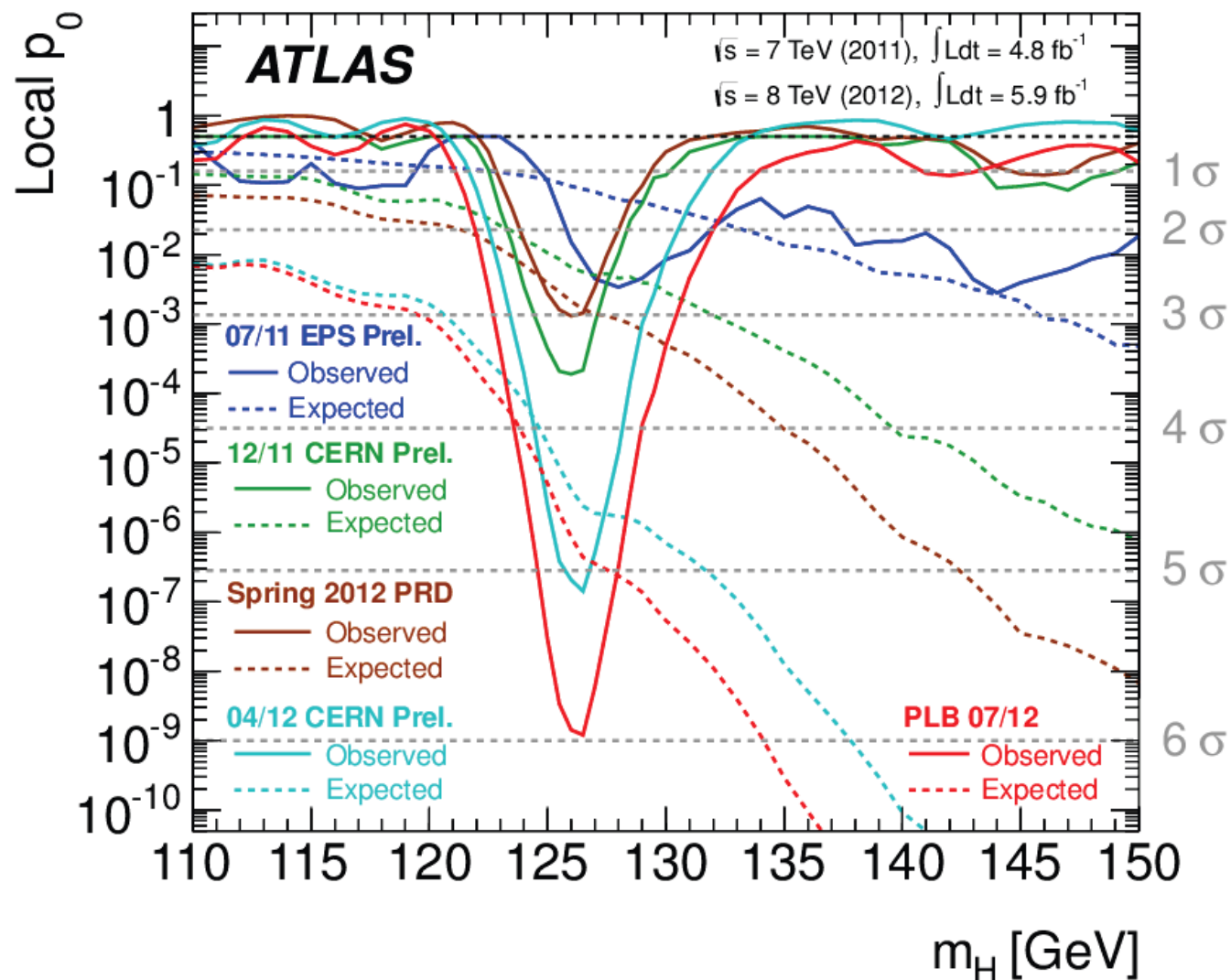
Évolution dans le temps (jusqu'à la découverte)



Génère beaucoup d'excitation chez les théoriciens !

- D'abord des fluctuations statistiques un peu partout
- Puis les mesures se stabilisent

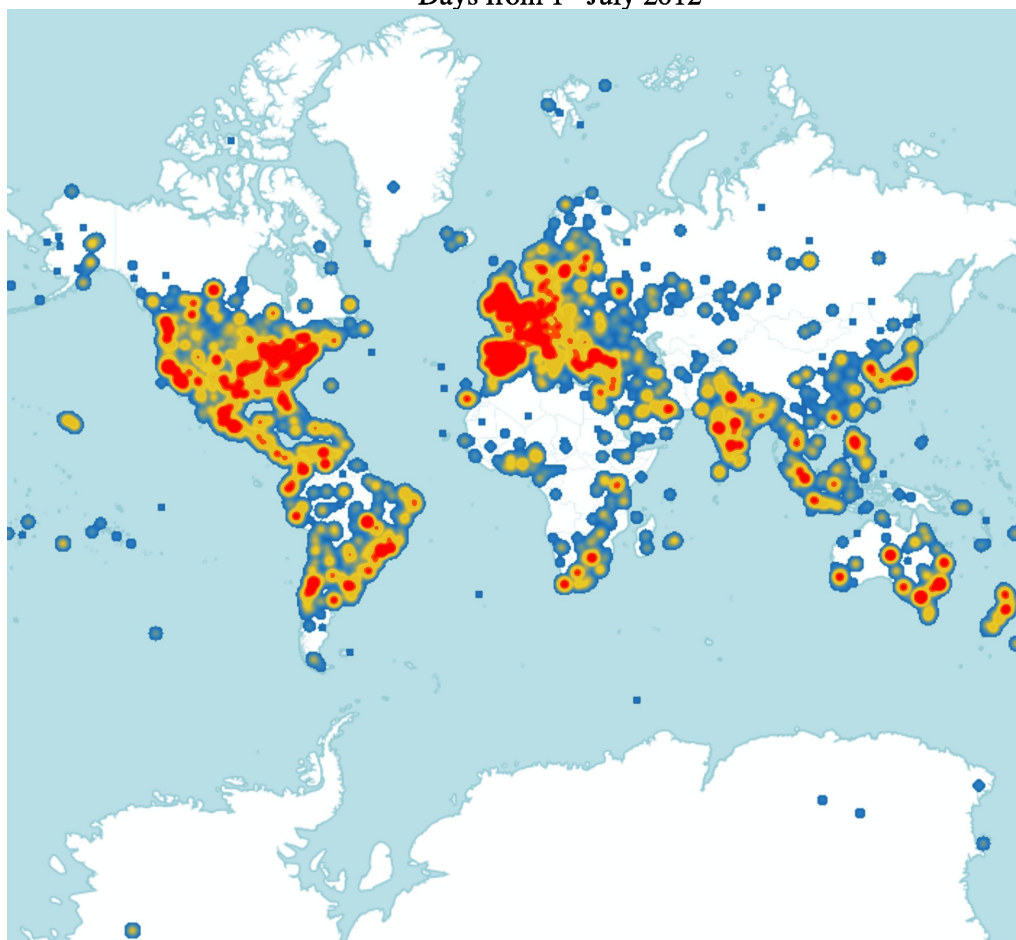
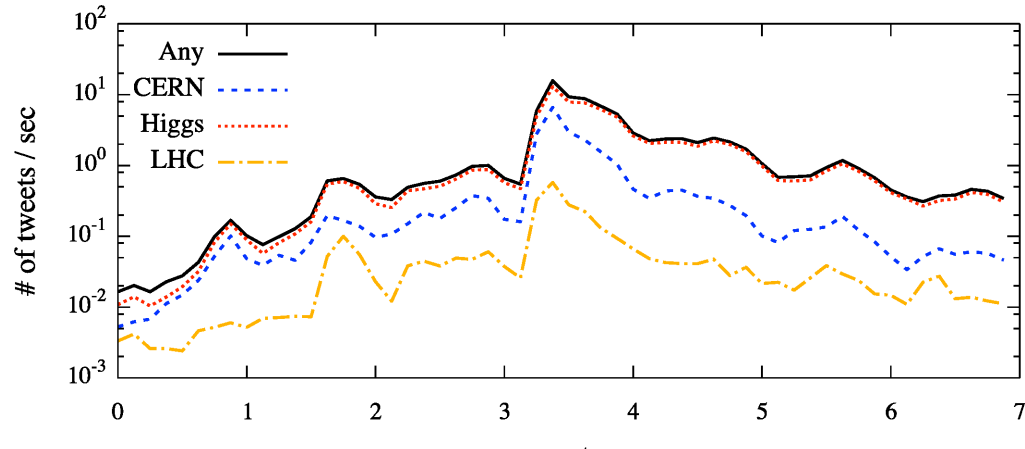
Évolution dans le temps (jusqu'à la découverte)



- D'abord des fluctuations statistiques un peu partout
- Puis les mesures se stabilisent

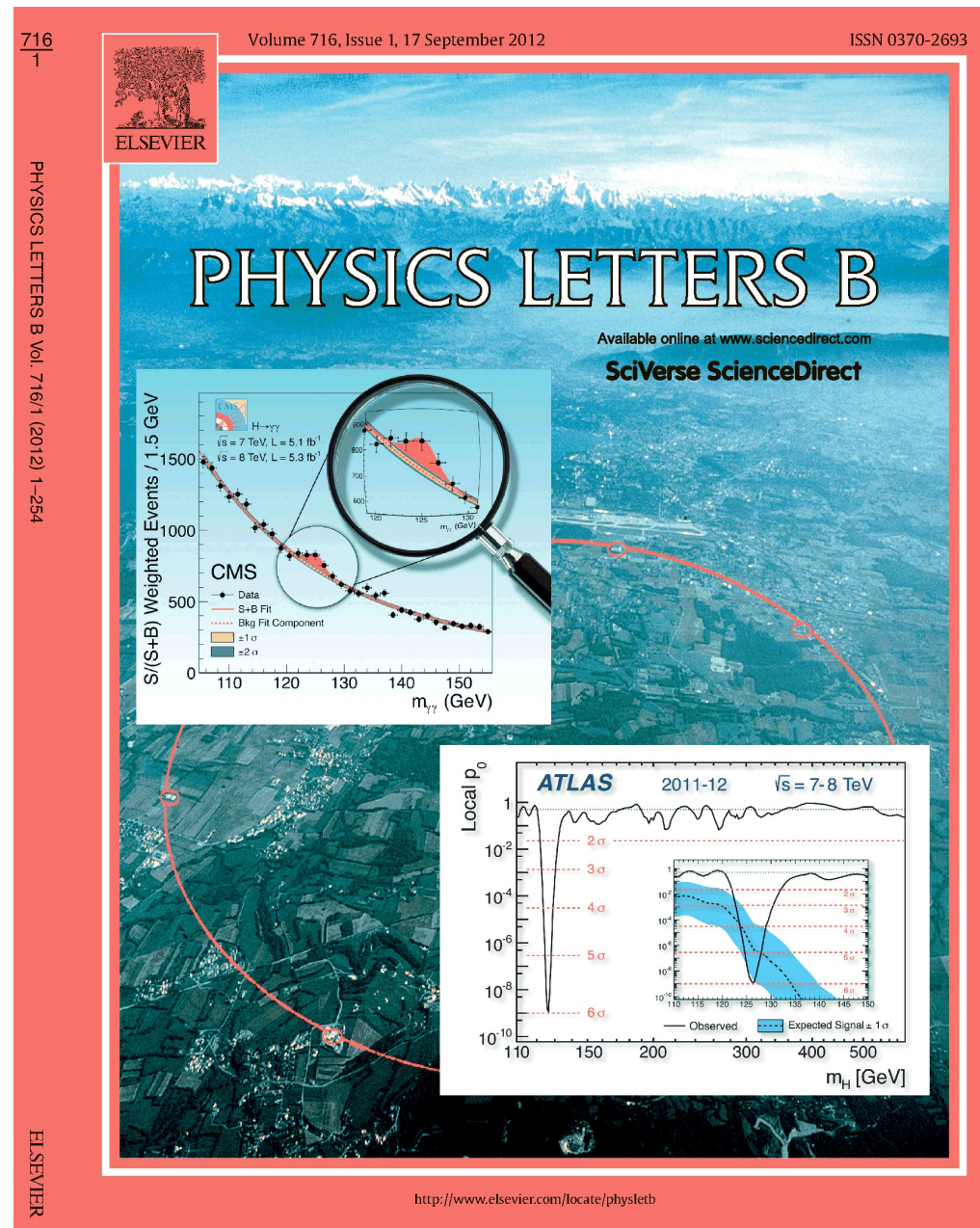
Résultats

- Annoncés le 4 juillet 2012 lors d'un séminaire au CERN
 - ▶ 55 médias sur place
 - ▶ 500 000 connexions webcast
 - ▶ Vu sur >1000 chaînes de télévision
 - ▶ Plus d'un million de tweets (gazouillis)



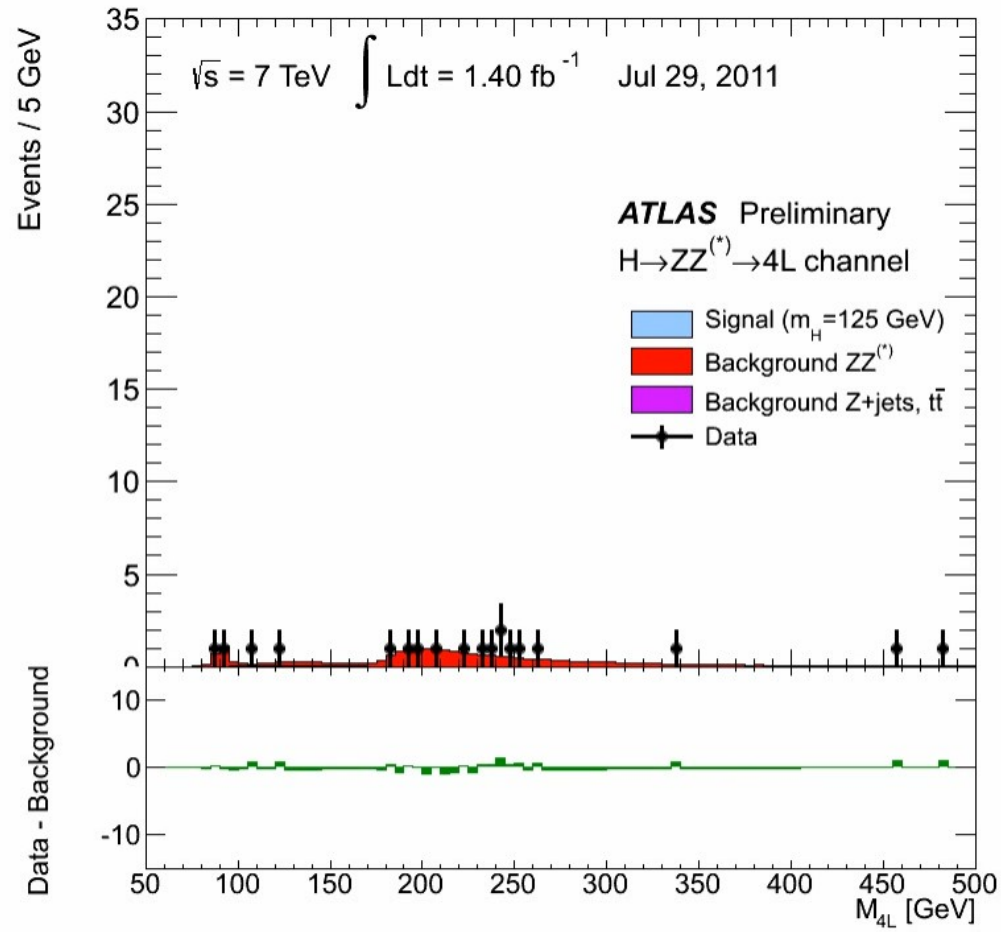
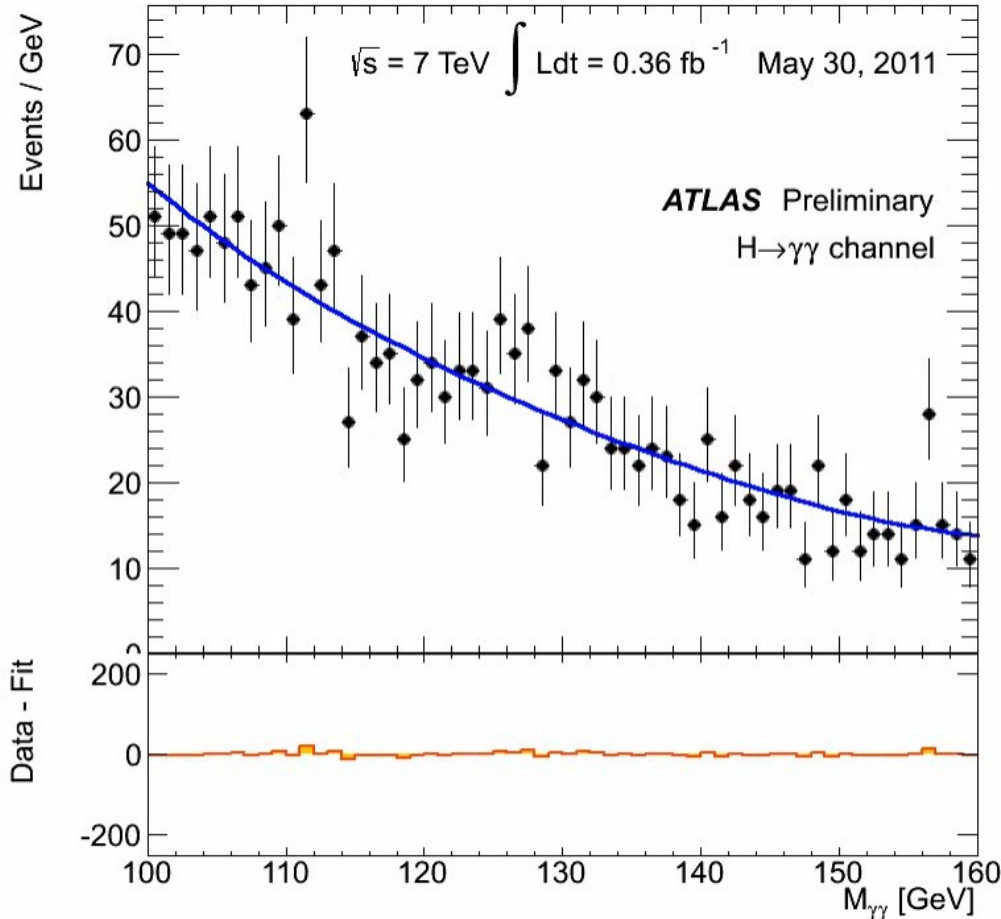
Résultats

- Annoncés le 4 juillet 2012 lors d'un séminaire au CERN
 - ▶ 55 médias sur place
 - ▶ 500 000 connexions webcast
 - ▶ Vu sur >1000 chaînes de télévision
 - ▶ Plus d'un million de tweets (gazouillis)
- Publiés fin juillet
- Et depuis ?



Évolution dans le temps

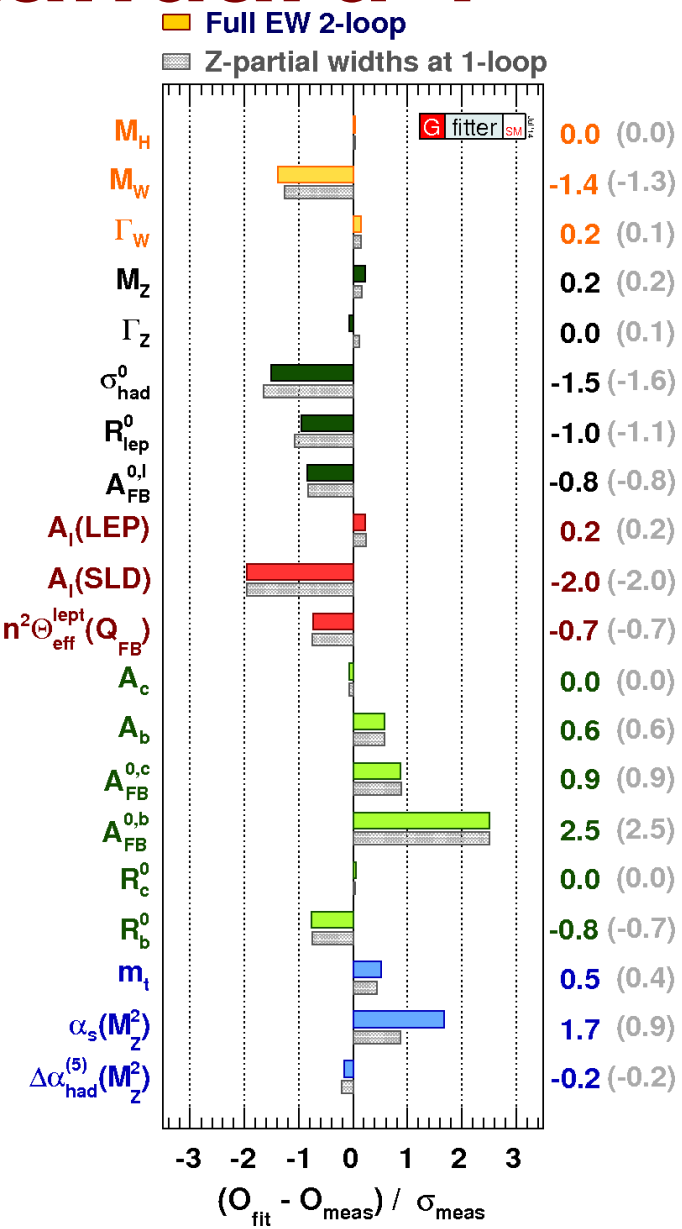
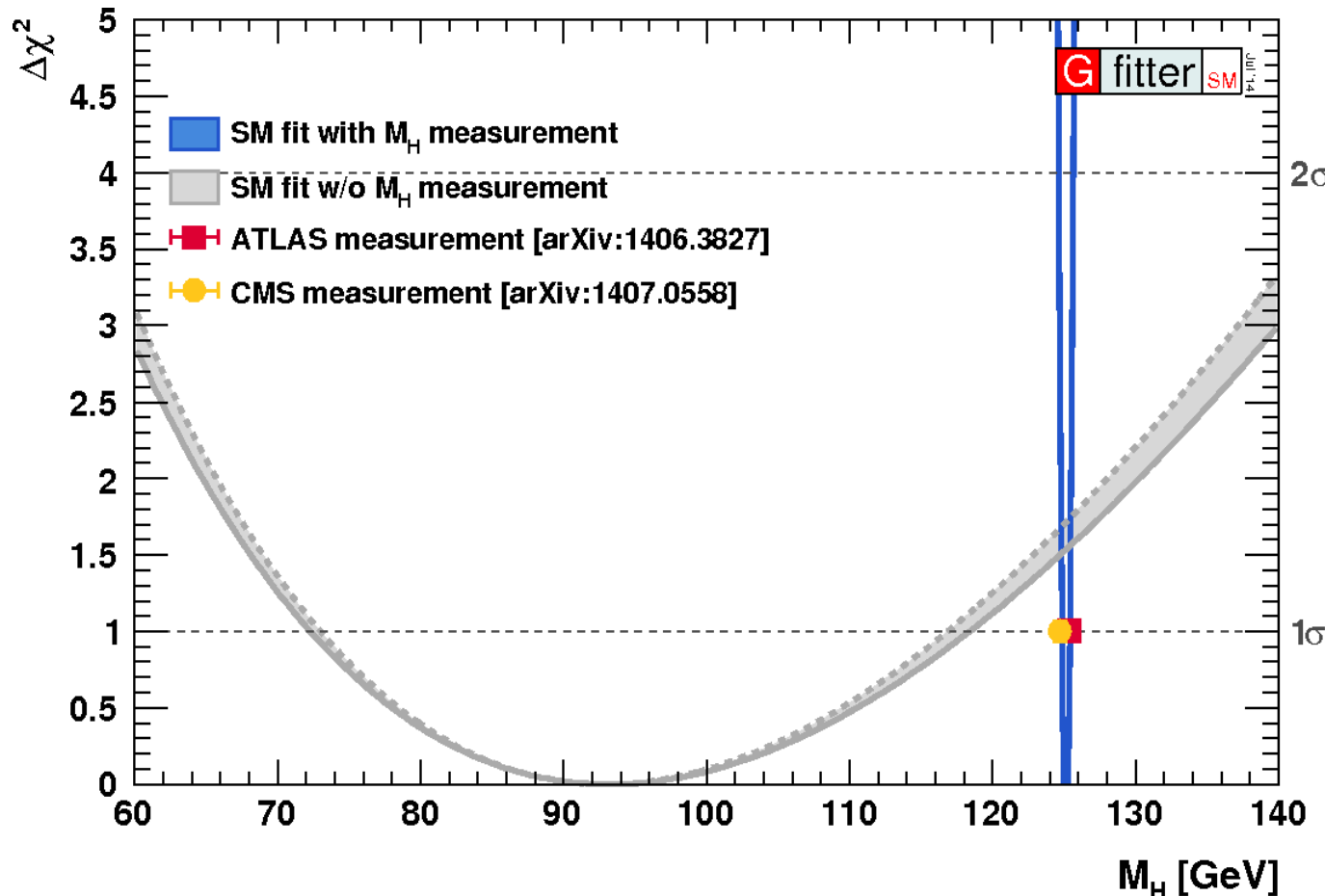
(jusqu'à fin 2012)



$H \rightarrow \gamma\gamma$

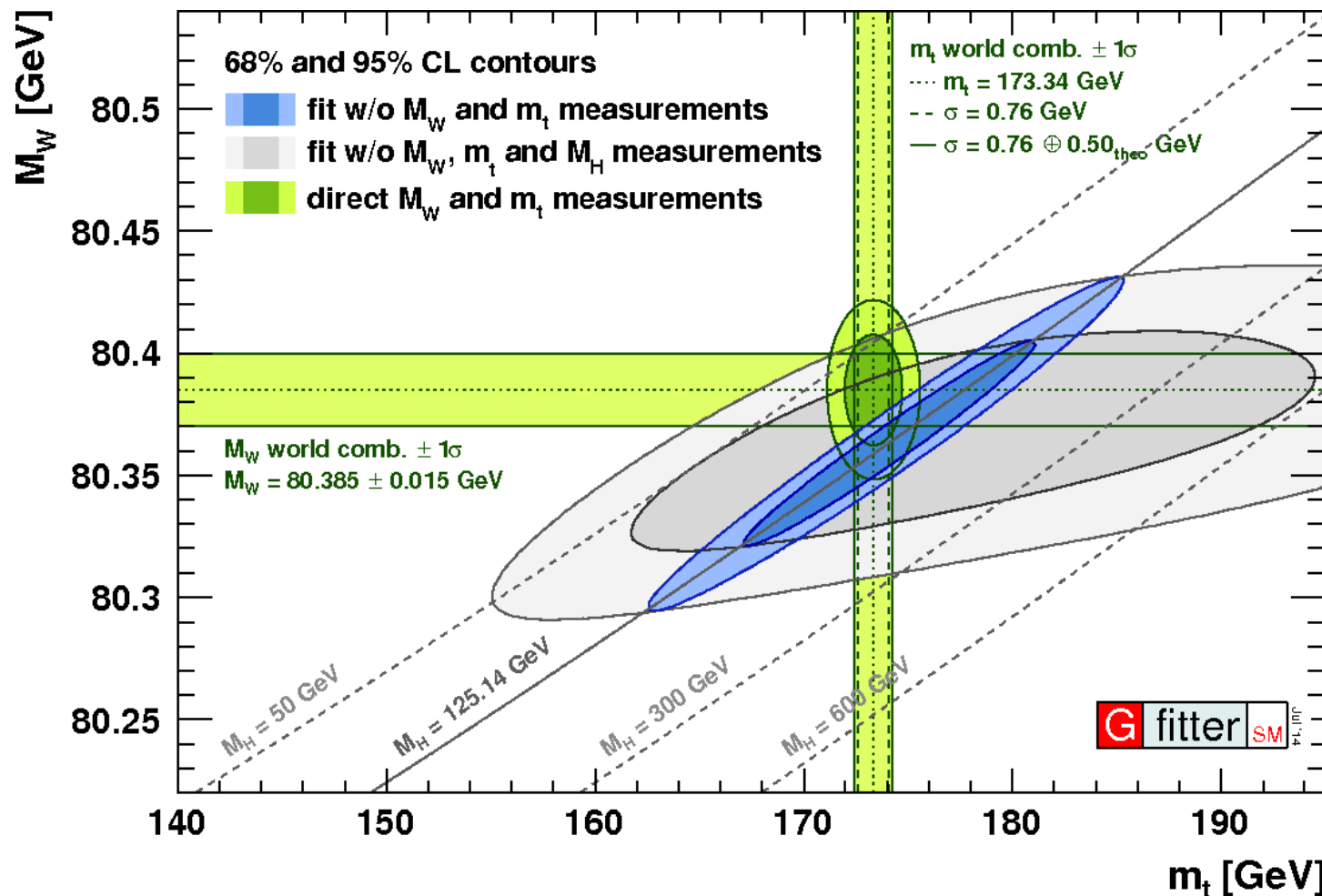
$H \rightarrow ZZ^* \rightarrow 4l$

Consistent avec les autres mesures du modèle standard ?



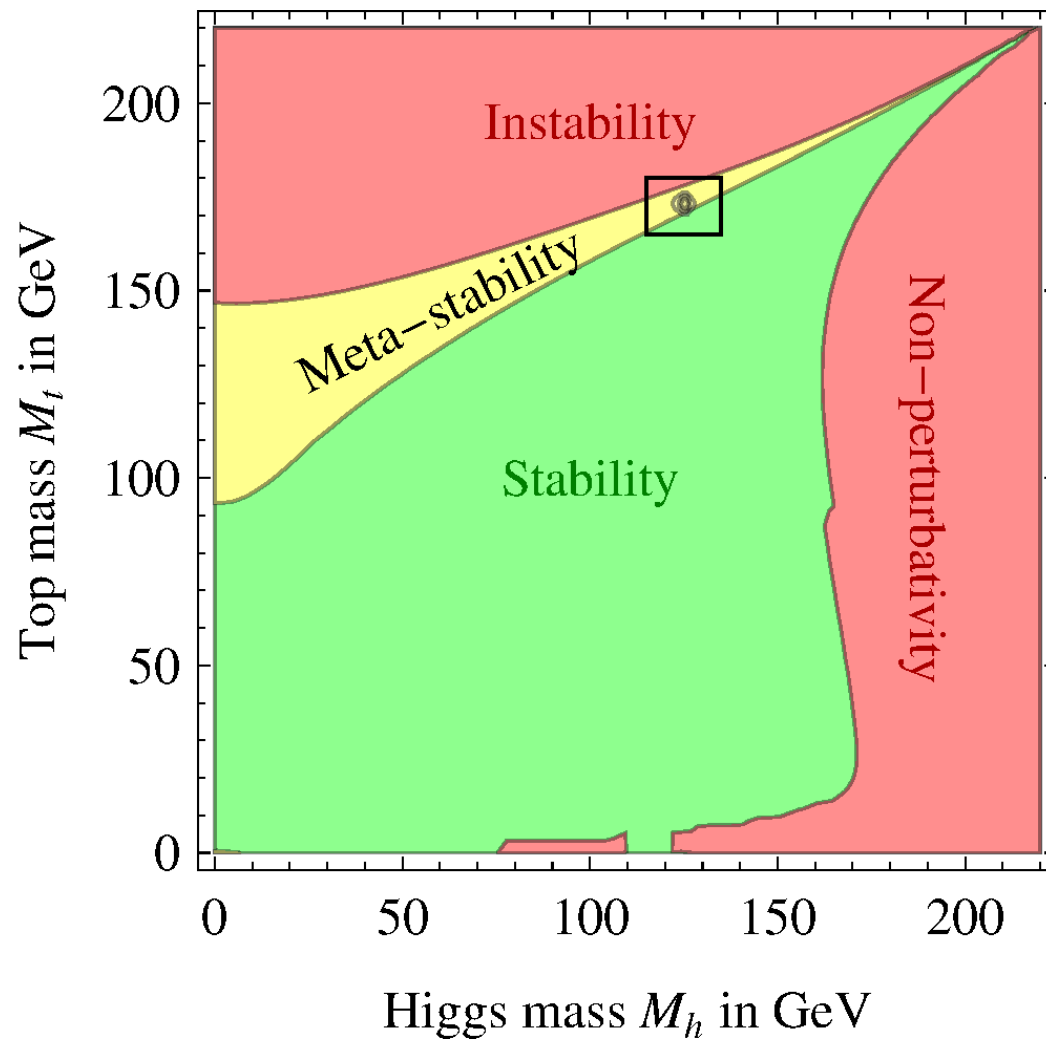
- Pas très éloigné de l'endroit que les autres mesures indiquaient
- Pas de « tension » avec le modèle standard

Consistent avec les autres mesures du modèle standard ?

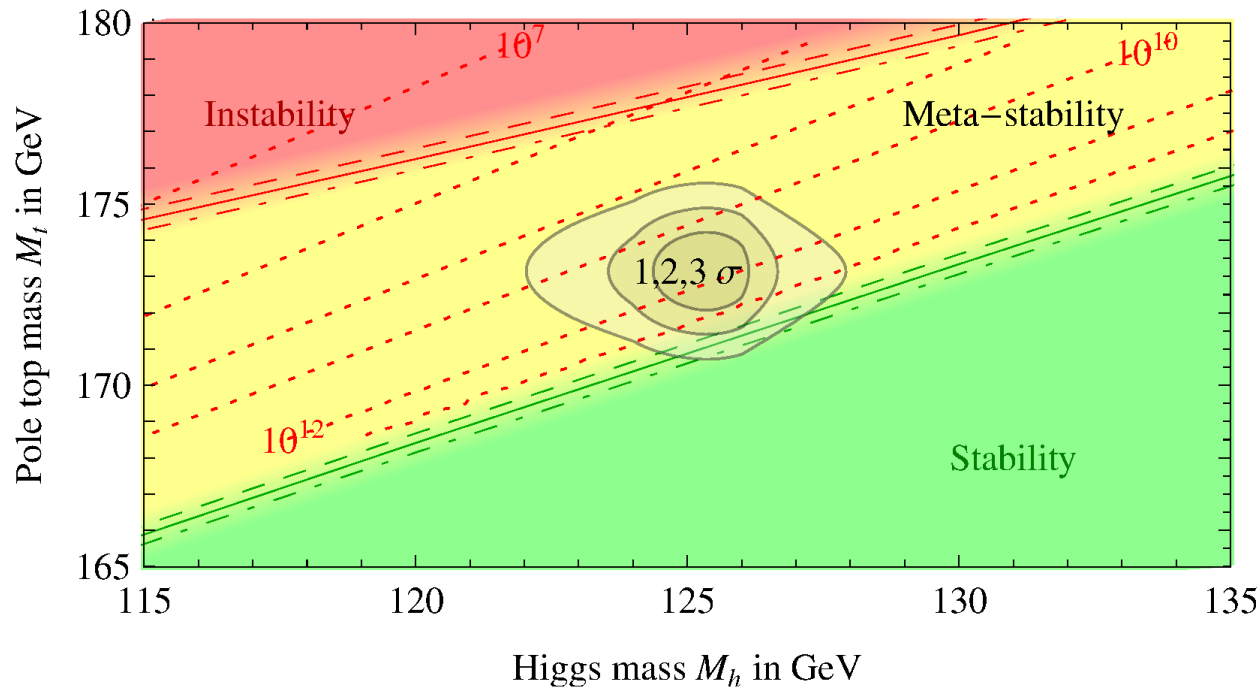


- Pas très éloigné de l'endroit que les autres mesures indiquaient
- Pas de « tension » avec le modèle standard

Un univers instable ?



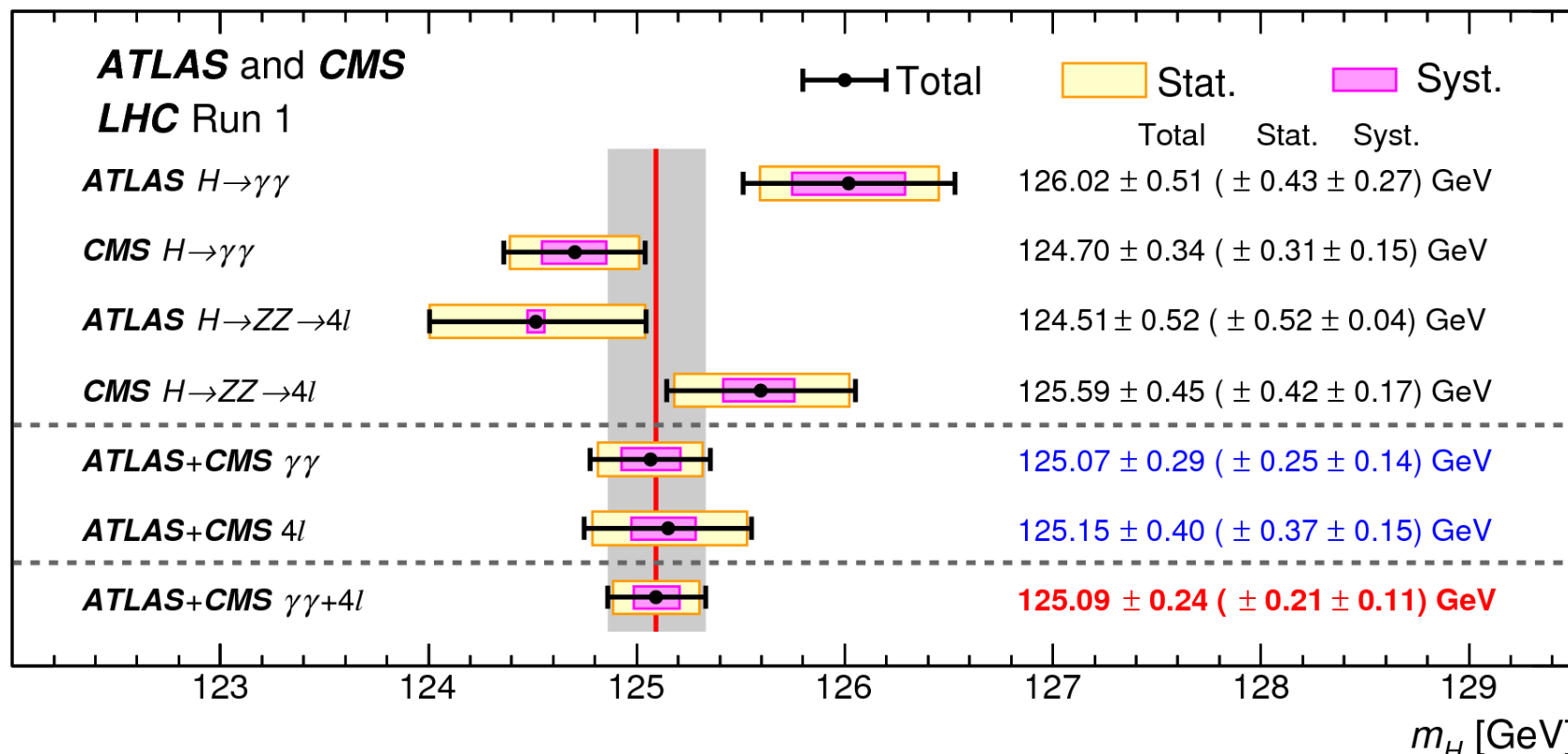
Un univers instable ?



- Plutôt méta-stable, stable à l'échelle de l'âge de l'Univers.
Ouf !
- Besoin d'améliorer la précision de m_t pour en savoir plus

Est-ce le Higgs du modèle standard ?

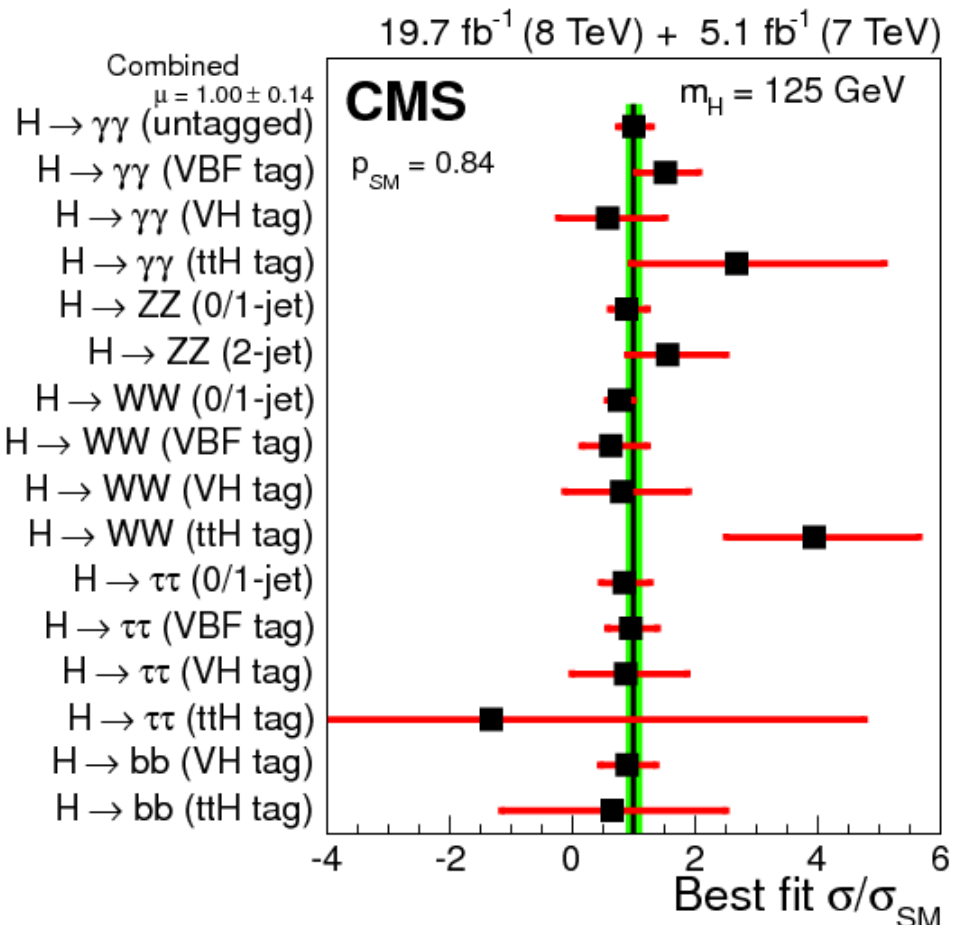
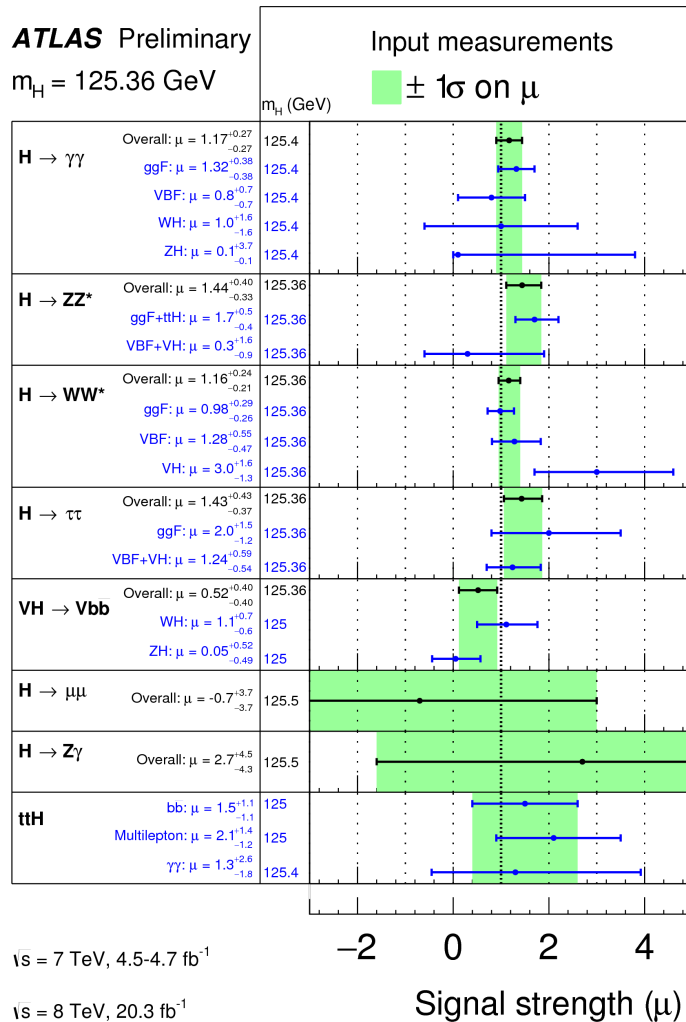
- Masse compatible avec les autres mesures du modèle standard :
 - ▶ $m_H = 125.09 \pm 0.24$ (± 0.21 stat. ± 0.11 syst.) GeV
[ATLAS+CMS, mars 2015, données 2011-2012]
(134 fois la masse du proton)



Est-ce le Higgs du modèle standard ?

- Masse compatible avec les autres mesures du modèle standard :
 - ▶ $m_H = 125.09 \pm 0.24$ (0.21 stat. \pm 0.11 syst.) GeV
[ATLAS+CMS, mars 2015, données 2011-2012]
(134 fois la masse du proton)
- La significance statistique a continué d'augmenter
- Mesures dans d'autres canaux de désintégration
- Nouveaux résultats d'ATLAS et CMS toujours consistants
- Mesure des propriétés :
 - ▶ Canaux divers, modes de production, couplages, spin...
 - ▶ Confirmation du modèle standard...

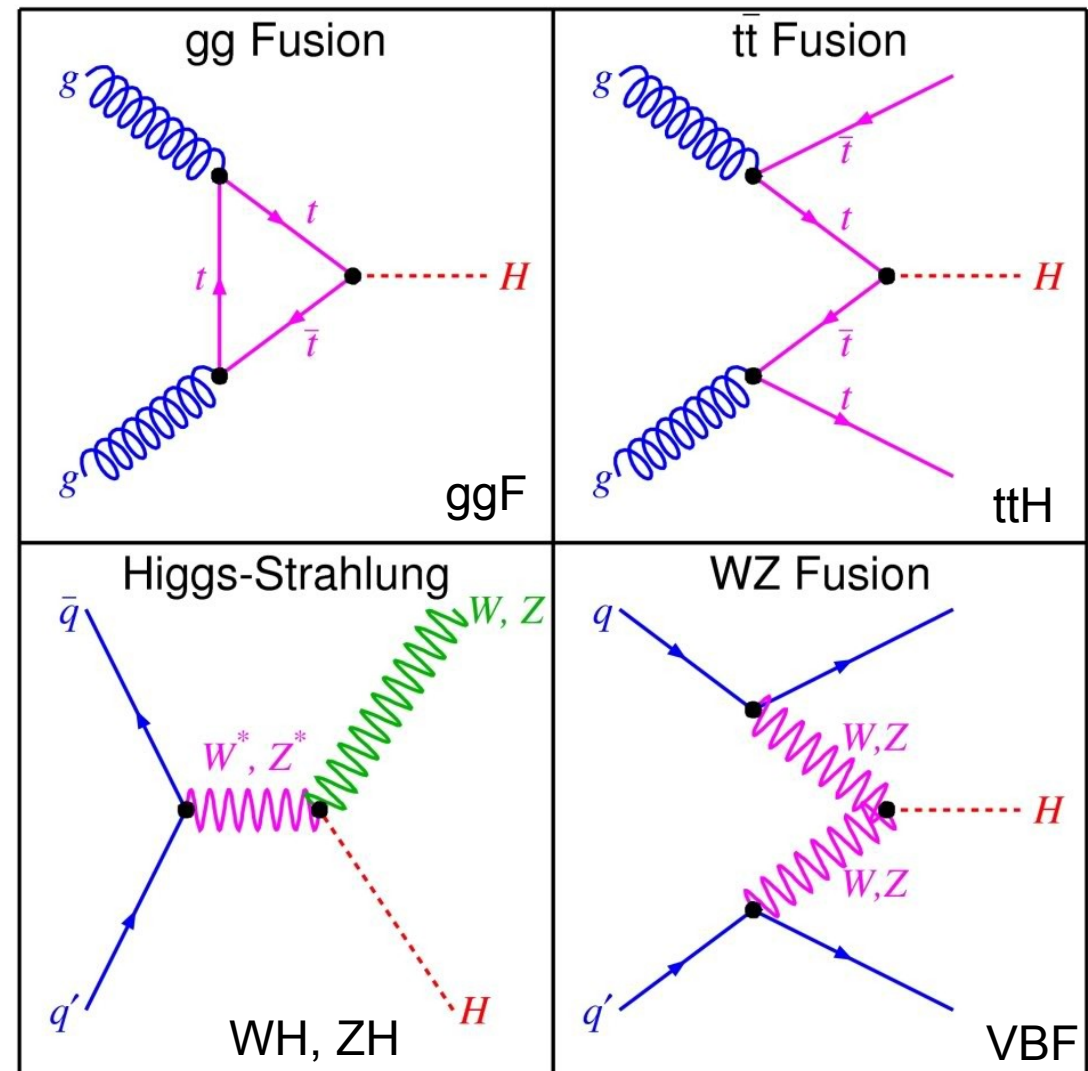
Mesures dans plusieurs canaux



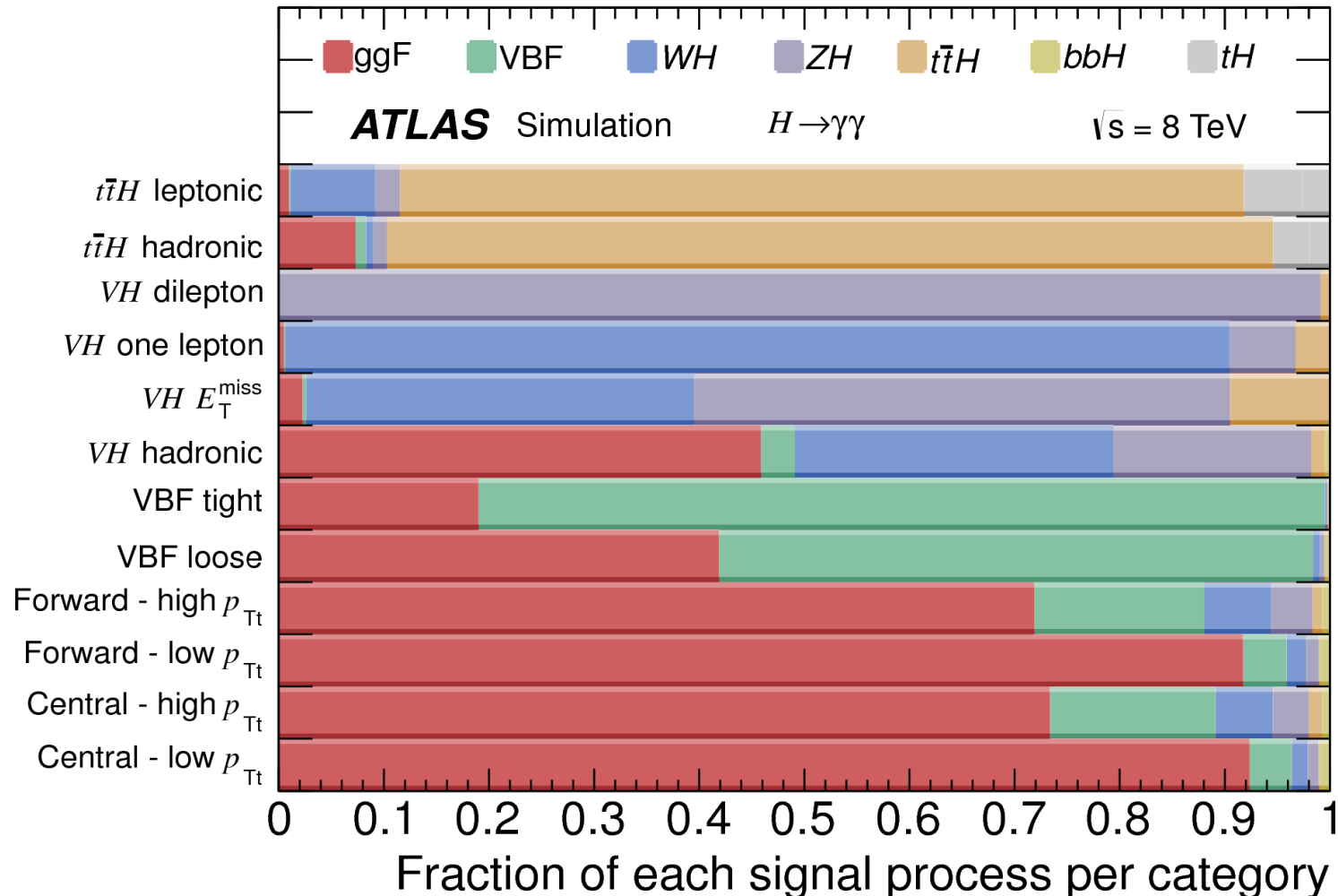
- $\mu = \sigma/\sigma_{SM} = 1$ si la particule est comme le boson de Higgs du modèle standard
- Pour le moment très proche des prédictions

Production du boson de Higgs

- Différents modes de production
- Si c'est le Higgs du modèle standard, on connaît les différentes proportions
- Il ne reste plus qu'à les séparer expérimentalement
- Plus facile à dire qu'à faire...

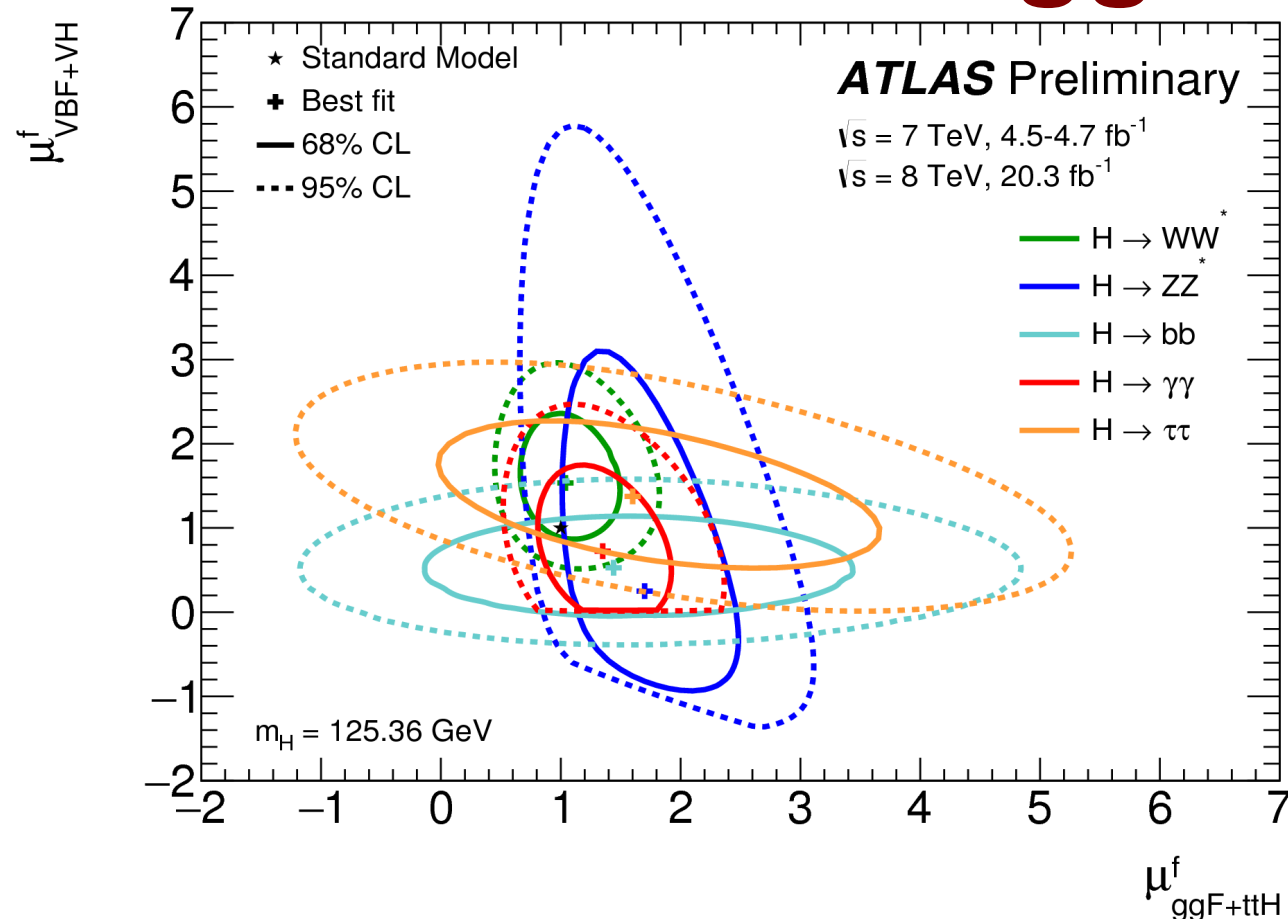


Séparation des canaux de production



- En optimisant les analyses, on peut cibler un mode de production
- Jamais 100 % pur, mais permet de faire des mesures intéressantes

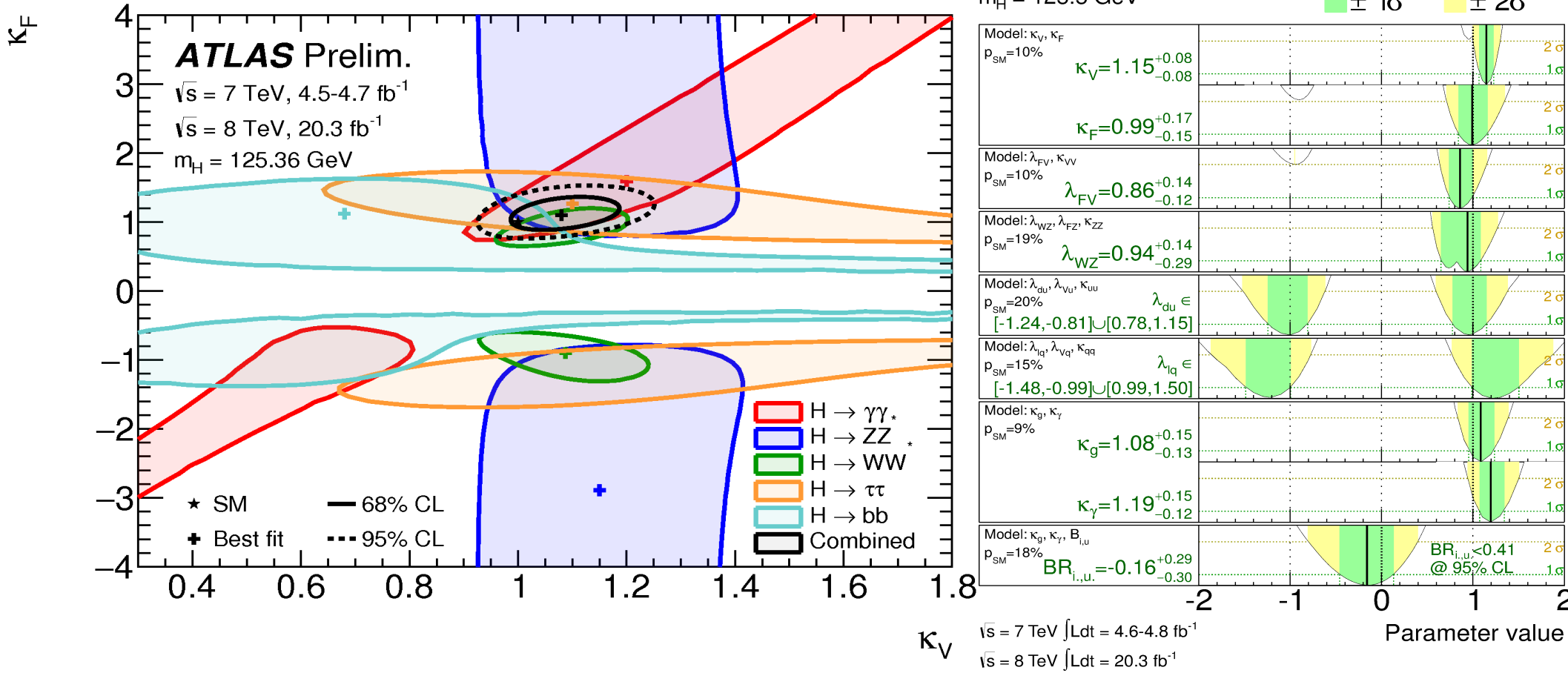
Plutôt « VBF » ou « ggF » ?



- $\mu = 1$ si la particule est comme le boson de Higgs du modèle standard
- Tous les canaux sont compatibles entre eux et avec le modèle standard
- Évidence pour $\text{VBF} \neq 0 \rightarrow$ ce boson joue un rôle dans la brisure de symétrie électrofaible

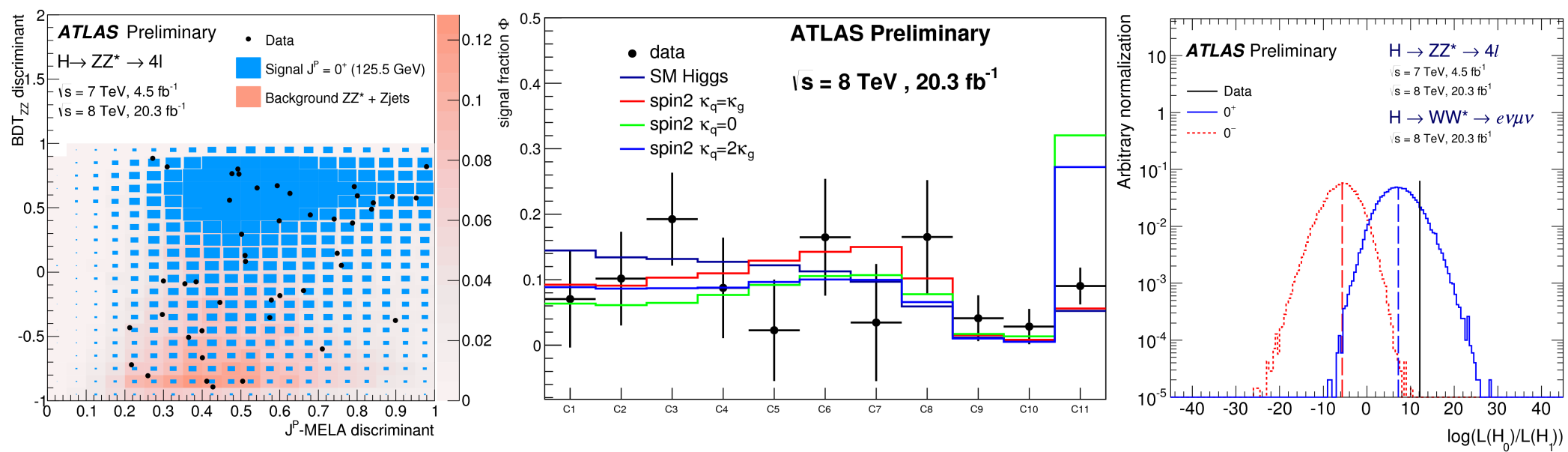
Couplage aux fermions et bosons

- Trop de paramètres à mesurer simultanément
 - ▶ Regrouper et mesurer le rapport à la prédition du MS, κ
- Si $\kappa = 1$ la particule est comme le boson de Higgs du modèle standard

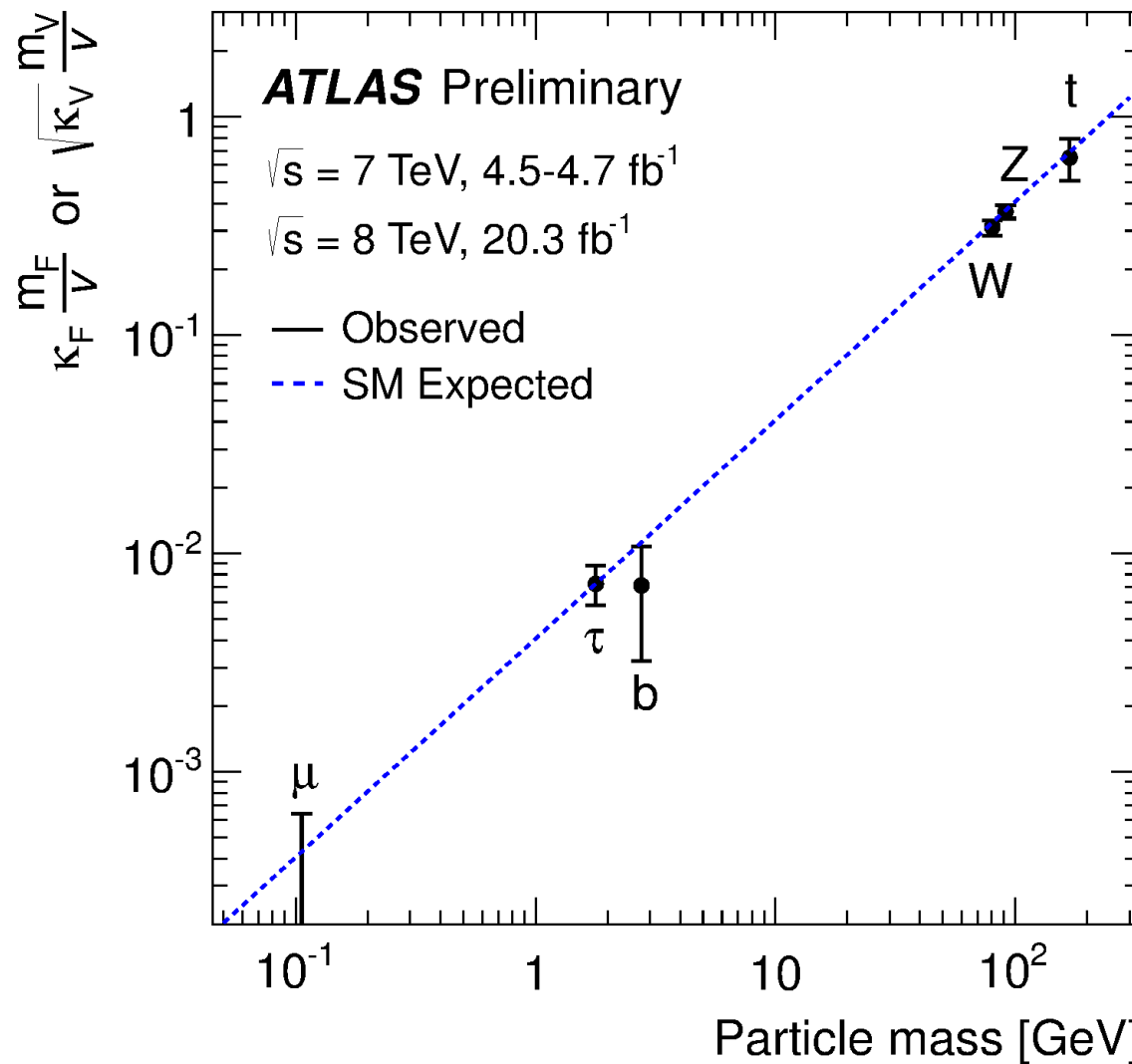


Spin et parité

- Observation de $H \rightarrow \gamma\gamma$ indique un spin entier, pas 1
- Exclusion de spin 1^+ , 1^- , 0^- , 2^+ de plus en plus claire (à plus de 99 % de confiance)
- A chaque fois consistant avec 0^+ : comme le boson de Higgs du modèle standard



masse des particules et couplage au boson de Higgs



- Relation comme prévue par le modèle standard

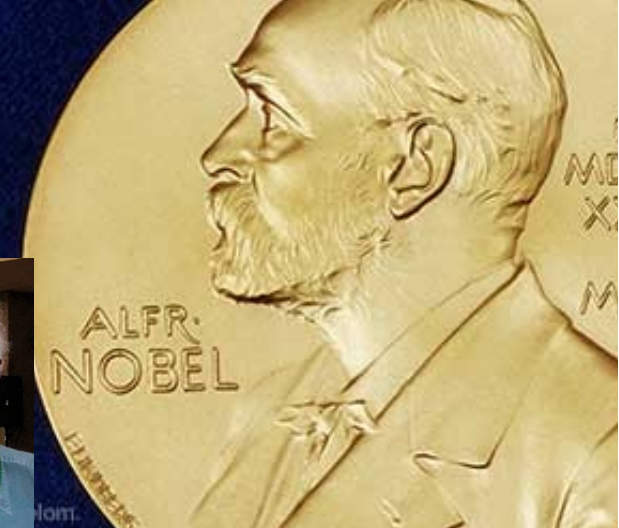
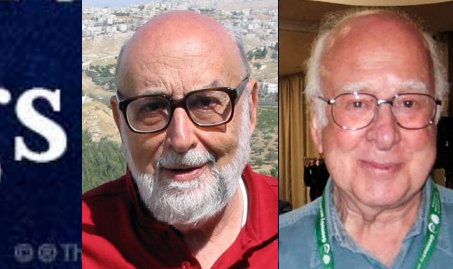
Pour le moment, cette particule ressemble beaucoup au boson de Higgs du modèle standard.

Les nouvelles données depuis juin 2015 devraient permettre de tout mesurer avec une bien meilleure précision, modèle standard ou au-delà

Prix Nobel de physique 2013

2013 NOBEL PRIZE IN PHYSICS

François Englert
Peter W. Higgs

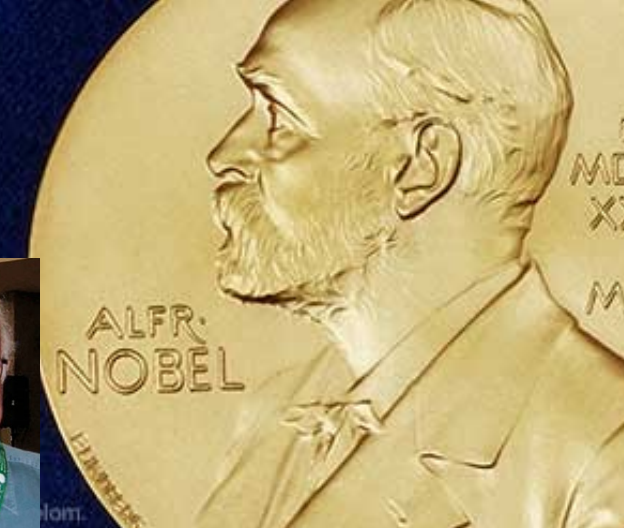
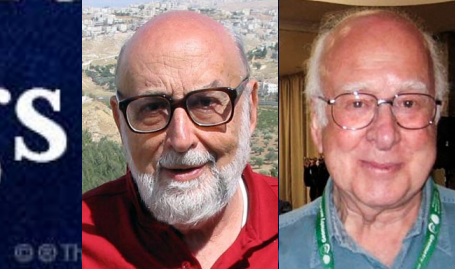


« pour la découverte théorique d'un mécanisme qui nous aide à comprendre l'origine de la masse des particules subatomiques, et qui a été récemment confirmé par la découverte de la particule fondamentale prédictive, par les expériences ATLAS et CMS du grand collisionneur de hadrons (LHC) du CERN »

Prix Nobel de physique 2013

2013 NOBEL PRIZE IN PHYSICS

François Englert
Peter W. Higgs

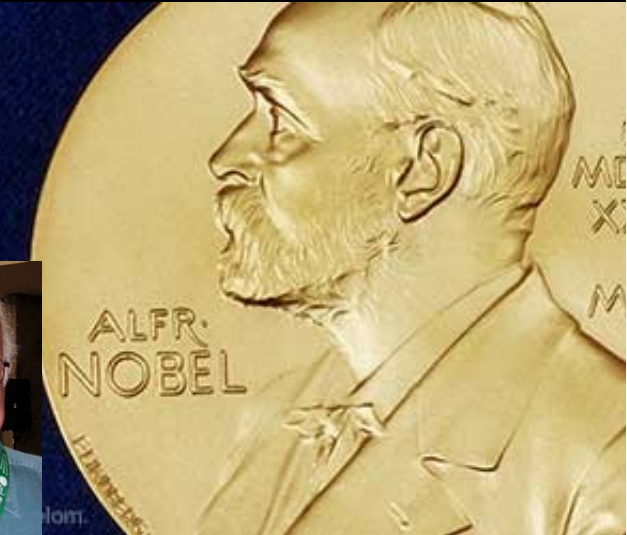
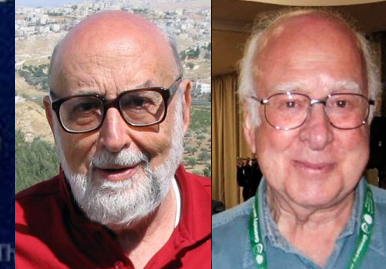


« pour la découverte théorique d'un mécanisme qui nous aide à comprendre l'origine de la masse des particules subatomiques, et qui a été récemment confirmé par la découverte de la particule fondamentale prédictive, par les expériences ATLAS et CMS du grand collisionneur de hadrons (LHC) du CERN »

Prix Nobel de physique 2013

2013 NOBEL PRIZE IN PHYSICS

François Englert
Peter W. Higgs



« pour la découverte théorique d'un mécanisme qui nous aide à comprendre l'origine de la masse des particules subatomiques, et qui a été récemment confirmé par la découverte de la particule fondamentale prédictive, par les expériences ATLAS et CMS du grand collisionneur de hadrons (LHC) du CERN »



Le CERN et les expériences ATLAS & CMS

Et maintenant ?

Quelques prédictions « intéressantes » :

- Lord Kelvin en 1900 (British Association for the advancement of Science) :
 - ▶ « There is nothing new to be discovered in physics now. All that remains is more and more precise measurement. »
 - Oops, il manquait « juste » la physique quantique et les relativités restreinte et générale
- Charles de Gaulle, voeux pour l'année 1968 (31/12/1967, six mois avant mai 68) :
 - ▶ « L'avenir n'appartient pas aux hommes et je ne le prédis pas. Pourtant en considérant la façon dont les choses se présentent, c'est vraiment avec confiance que j'envisage pour les 12 prochains mois, l'existence de notre pays »

C'est tout ?

Nous et l'Univers visible



Modèle standard

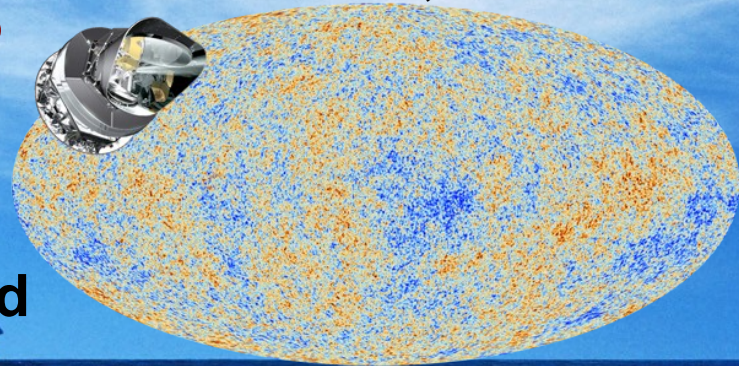
Planck, mars 2013

C'est tout ?

Nous et l'Univers visible



5% Modèle standard

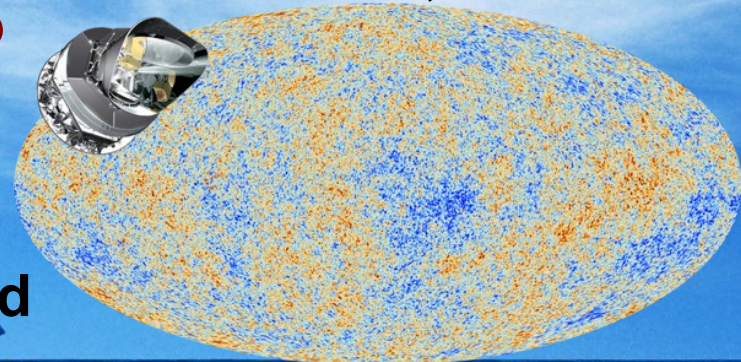


C'est tout ?

Nous et l'Univers visible



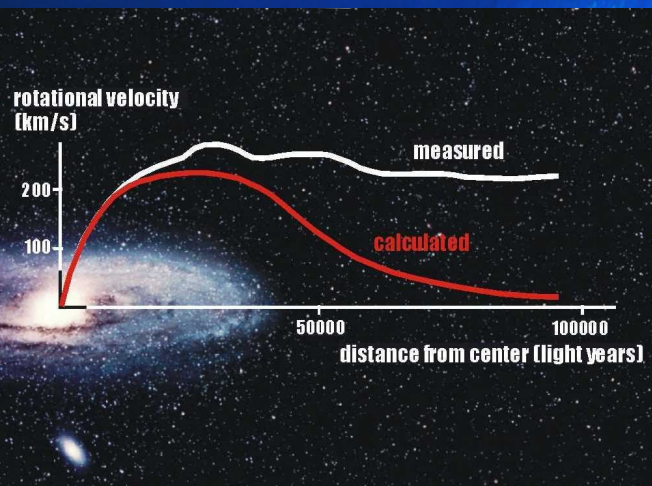
5% Modèle standard



27% Matière noire



- On ne sait pas ce que c'est mais on croit savoir que c'est là
- Candidats observables au LHC (supersymétrie, ...) ?

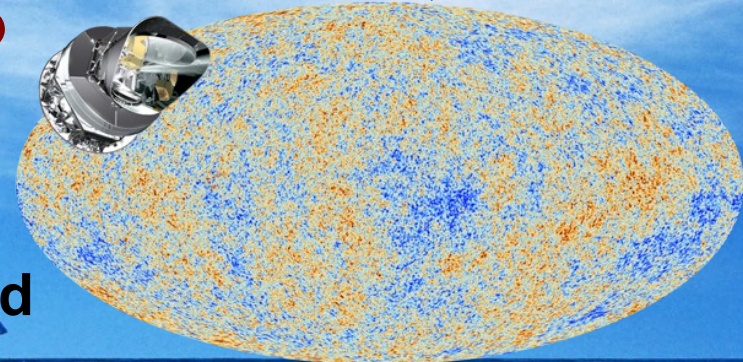


C'est tout ?

Nous et l'Univers visible



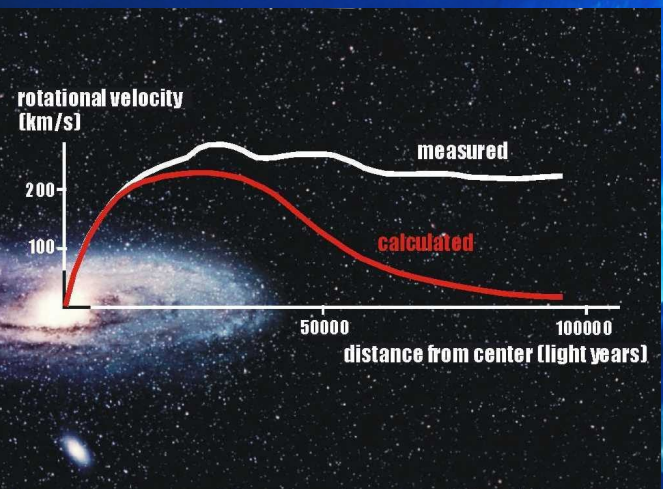
5% Modèle standard



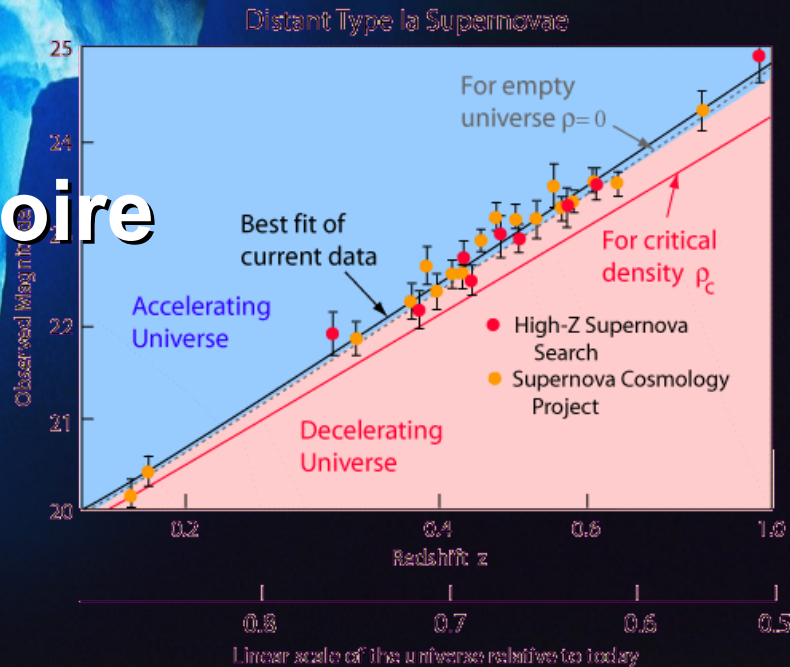
27% Matière noire



- On ne sait pas ce que c'est mais on croit savoir que c'est là
- Candidats observables au LHC (supersymétrie, ...)?



68% Énergie noire



Pas la moindre idée de son origine !

Autres théories

- Le modèle standard n'explique pas tout :
 - ▶ Pourquoi trois familles ?
 - ▶ Pourquoi les particules élémentaires ont des masses si différentes ?
 - ▶ Que sont la matière noire et l'énergie noire ?
 - ▶ Pourquoi l'antimatière a presque disparu ?
- Les théoriciens ne manquent pas d'idées pour le compléter
- Beaucoup de modèles font des prédictions que l'on peut tester au LHC
- Supersymétrie, modèles exotiques, dimensions supplémentaires d'espace, ...
 - ▶ Prédiction de nouvelles particules, ou d'effets sur les phénomènes déjà connus
- Besoin de mesures expérimentales pour orienter les théoriciens

Supersymétrie : état des lieux

ATLAS SUSY Searches* - 95% CL Lower Limits

Status: July 2015

ATLAS Preliminary

$\sqrt{s} = 7, 8 \text{ TeV}$

Reference

Model	e, μ, τ, γ	Jets	E_T^{miss}	$\int \mathcal{L} dt [\text{fb}^{-1}]$	Mass limit	$\sqrt{s} = 7 \text{ TeV}$	$\sqrt{s} = 8 \text{ TeV}$	Reference
Inclusive Searches	MSUGRA/CMSSM	0-3 $e, \mu/1-2 \tau$	2-10 jets/3 b	Yes	20.3	\tilde{q}, \tilde{g}		1.8 TeV
	$\tilde{q}\tilde{q}, \tilde{q}\rightarrow q\tilde{\chi}_1^0$	0	2-6 jets	Yes	20.3	\tilde{q}	850 GeV	$m(\tilde{q})=m(\tilde{g})$
	$\tilde{q}\tilde{q}, \tilde{q}\rightarrow q(\ell\ell/\nu\nu)\tilde{\chi}_1^0$ (compressed)	mono-jet	1-3 jets	Yes	20.3	\tilde{q}	100-440 GeV	$m(\tilde{q})=0 \text{ GeV}, m(\text{1st gen. } \tilde{q})=m(\text{2nd gen. } \tilde{q})$
	$\tilde{q}\tilde{q}, \tilde{q}\rightarrow q(\ell\ell/\nu\nu)\tilde{\chi}_1^0$	2 e, μ (off-Z)	2 jets	Yes	20.3	\tilde{q}	780 GeV	$m(\tilde{q})-m(\tilde{\chi}_1^0) < 10 \text{ GeV}$
	$\tilde{g}\tilde{g}, \tilde{g}\rightarrow q\tilde{\chi}_1^0$	0	2-6 jets	Yes	20.3	\tilde{g}	1.33 TeV	$m(\tilde{g})=0 \text{ GeV}$
	$\tilde{g}\tilde{g}, \tilde{g}\rightarrow qq\tilde{\chi}_1^\pm\rightarrow qqW^\pm\tilde{\chi}_1^0$	0-1 e, μ	2-6 jets	Yes	20	\tilde{g}	1.26 TeV	$m(\tilde{g})^2 < 300 \text{ GeV}, m(\tilde{\chi}_1^\pm)=0.5(m(\tilde{\chi}_1^0)+m(\tilde{g}))$
	$\tilde{g}\tilde{g}, \tilde{g}\rightarrow q\ell\ell/\nu\nu\tilde{\chi}_1^0$	2 e, μ	0-3 jets	-	20	\tilde{g}	1.32 TeV	$m(\tilde{g})=0 \text{ GeV}$
	GMSB ($\tilde{\ell}$ NLSP)	1-2 $\tau + 0-1 \ell$	0-2 jets	Yes	20.3	\tilde{g}	1.6 TeV	$\tan\beta > 20$
	GGM (bino NLSP)	2 γ	-	Yes	20.3	\tilde{g}	1.29 TeV	$c\tau(\text{NLSP}) < 0.1 \text{ mm}$
	GGM (higgsino-bino NLSP)	γ	1 b	Yes	20.3	\tilde{g}	1.3 TeV	$m(\tilde{\chi}_1^0) < 900 \text{ GeV}, c\tau(\text{NLSP}) < 0.1 \text{ mm}, \mu < 0$
3 rd gen. LSP	GGM (higgsino-bino NLSP)	γ	2 jets	Yes	20.3	\tilde{g}	1.25 TeV	$m(\tilde{\chi}_1^0) < 850 \text{ GeV}, c\tau(\text{NLSP}) < 0.1 \text{ mm}, \mu > 0$
	GGM (higgsino NLSP)	2 $e, \mu (Z)$	2 jets	Yes	20.3	\tilde{g}	850 GeV	$m(\text{NLSP}) > 430 \text{ GeV}$
	Gravitino LSP	0	mono-jet	Yes	20.3	$F^{1/2} \text{ scale}$	865 GeV	$m(\tilde{G}) > 1.8 \times 10^{-4} \text{ eV}, m(\tilde{g})=m(\tilde{q})=1.5 \text{ TeV}$
	$\tilde{g}\tilde{g}, \tilde{g}\rightarrow b\tilde{b}\tilde{\chi}_1^0$	0	3 b	Yes	20.1	\tilde{g}	1.25 TeV	$m(\tilde{g})=0 \text{ GeV}$
	$\tilde{g}\tilde{g}, \tilde{g}\rightarrow t\tilde{t}\tilde{\chi}_1^0$	0	7-10 jets	Yes	20.3	\tilde{g}	1.1 TeV	$m(\tilde{g}) < 350 \text{ GeV}$
3 rd gen. squarks direct prod.	0-1 e, μ	3 b	Yes	20.1	\tilde{g}	1.34 TeV	$m(\tilde{g}) < 400 \text{ GeV}$	
	$\tilde{g}\tilde{g}, \tilde{g}\rightarrow b\tilde{d}\tilde{\chi}_1^{\pm}$	0-1 e, μ	3 b	Yes	20.1	\tilde{g}	1.3 TeV	$m(\tilde{g}) < 300 \text{ GeV}$
	$\tilde{b}_1\tilde{b}_1, \tilde{b}_1\rightarrow b\tilde{\chi}_1^0$	0	2 b	Yes	20.1	\tilde{b}_1	100-620 GeV	$m(\tilde{b}_1)=90 \text{ GeV}$
	$\tilde{b}_1\tilde{b}_1, \tilde{b}_1\rightarrow t\tilde{\chi}_1^{\pm}$	2 e, μ (SS)	0-3 b	Yes	20.3	\tilde{b}_1	275-440 GeV	$m(\tilde{b}_1)=2m(\tilde{\chi}_1^0)$
	$\tilde{l}_1\tilde{l}_1, \tilde{l}_1\rightarrow b\tilde{\chi}_1^0$	1-2 e, μ	1-2 b	Yes	4.7/20.3	\tilde{l}_1	110-167 GeV	$m(\tilde{l}_1)=55 \text{ GeV}$
	$\tilde{l}_1\tilde{l}_1, \tilde{l}_1\rightarrow W\tilde{\chi}_1^0$ or $t\tilde{\chi}_1^0$	0-2 e, μ	0-2 jets/1-2 b	Yes	20.3	\tilde{l}_1	230-460 GeV	$m(\tilde{l}_1)=1 \text{ GeV}$
	$\tilde{l}_1\tilde{l}_1, \tilde{l}_1\rightarrow c\tilde{\chi}_1^0$	0	mono-jet/ ℓ -tag	Yes	20.3	\tilde{l}_1	210-700 GeV	$m(\tilde{l}_1)-m(\tilde{\chi}_1^0) < 85 \text{ GeV}$
	$\tilde{l}_1\tilde{l}_1$ (natural GMSB)	2 $e, \mu (Z)$	1 b	Yes	20.3	\tilde{l}_1	90-240 GeV	$m(\tilde{l}_1) > 150 \text{ GeV}$
	$\tilde{l}_2\tilde{l}_2, \tilde{l}_2\rightarrow \tilde{l}_1 + Z$	3 $e, \mu (Z)$	1 b	Yes	20.3	\tilde{l}_2	150-580 GeV	$m(\tilde{l}_2) < 200 \text{ GeV}$
	$\tilde{l}_2\tilde{l}_2, \tilde{l}_2\rightarrow \tilde{l}_1 + Z$	3 $e, \mu (Z)$	1 b	Yes	20.3	\tilde{l}_2	290-600 GeV	
EW direct	$\tilde{\ell}_{1,R}\tilde{\ell}_{1,R}, \tilde{\ell}\rightarrow \tilde{\ell}\tilde{\chi}_1^0$	2 e, μ	0	Yes	20.3	$\tilde{\ell}$	90-325 GeV	$m(\tilde{\ell})=0 \text{ GeV}$
	$\tilde{\chi}_1^+\tilde{\chi}_1^-, \tilde{\chi}_1^+\rightarrow \tilde{\ell}\nu(\ell\tilde{\nu})$	2 e, μ	0	Yes	20.3	$\tilde{\chi}_1^\pm$	140-465 GeV	$m(\tilde{\chi}_1^\pm)=0 \text{ GeV}, m(\tilde{\ell}, \tilde{\nu})=0.5(m(\tilde{\chi}_1^\pm)+m(\tilde{\ell}))$
	$\tilde{\chi}_1^+\tilde{\chi}_1^-, \tilde{\chi}_1^-\rightarrow \tilde{\tau}\nu(\tau\tilde{\nu})$	2 τ	-	Yes	20.3	$\tilde{\chi}_1^\pm$	100-350 GeV	$m(\tilde{\chi}_1^\pm)=0 \text{ GeV}, m(\tilde{\tau}, \tilde{\nu})=0.5(m(\tilde{\chi}_1^\pm)+m(\tilde{\tau}))$
	$\tilde{\chi}_1^+\tilde{\chi}_1^-, \tilde{\chi}_1^-\rightarrow W\tilde{\chi}_1^0, Z\tilde{\chi}_1^0$	3 e, μ	0	Yes	20.3	$\tilde{\chi}_1^\pm, \tilde{\chi}_1^0$	420 GeV	$m(\tilde{\chi}_1^\pm)=0 \text{ GeV}, m(\tilde{\chi}_1^0)=0, \text{sleptons decoupled}$
	$\tilde{\chi}_1^+\tilde{\chi}_1^-, \tilde{\chi}_1^-\rightarrow W\tilde{\chi}_1^0, Z\tilde{\chi}_1^0$	2-3 e, μ	0-2 jets	Yes	20.3	$\tilde{\chi}_1^\pm, \tilde{\chi}_1^0$	250 GeV	$m(\tilde{\chi}_1^\pm)=0 \text{ GeV}, m(\tilde{\chi}_1^0)=0, \text{sleptons decoupled}$
	$\tilde{\chi}_1^+\tilde{\chi}_1^-, \tilde{\chi}_1^-\rightarrow h\rightarrow b\bar{b}/WW/\tau\tau/\gamma\gamma$	4 e, μ, γ	0-2 b	Yes	20.3	$\tilde{\chi}_2^\pm$	620 GeV	$m(\tilde{\chi}_2^\pm)=m(\tilde{\chi}_1^0), m(\tilde{\chi}_1^0)=0, m(\tilde{\chi}_2^0)=0, m(\tilde{\ell}, \tilde{\nu})=0.5(m(\tilde{\chi}_2^0)+m(\tilde{\chi}_1^0))$
	GGM (wino NLSP) weak prod.	1 $e, \mu + \gamma$	-	Yes	20.3	\tilde{W}	124-361 GeV	$c\tau < 1 \text{ mm}$
	Direct $\tilde{\chi}_1^+ \tilde{\chi}_1^-$ prod., long-lived $\tilde{\chi}_1^\pm$	Disapp. trk	1 jet	Yes	20.3	$\tilde{\chi}_1^\pm$	270 GeV	$m(\tilde{\chi}_1^\pm)=m(\tilde{\chi}_1^0) \sim 160 \text{ MeV}, \tau(\tilde{\chi}_1^\pm)=0.2 \text{ ns}$
	Direct $\tilde{\chi}_1^+ \tilde{\chi}_1^-$ prod., long-lived $\tilde{\chi}_1^\pm$	dE/dx trk	-	Yes	18.4	$\tilde{\chi}_1^\pm$	482 GeV	$m(\tilde{\chi}_1^\pm)=m(\tilde{\chi}_1^0) \sim 160 \text{ MeV}, \tau(\tilde{\chi}_1^\pm) < 15 \text{ ns}$
	Stable, stopped \tilde{g} R-hadron	0	1-5 jets	Yes	27.9	\tilde{g}	832 GeV	$m(\tilde{g})=100 \text{ GeV}, 10 \mu s < \tau(\tilde{g}) < 1000 \text{ s}$
Long-lived particles	Stable \tilde{g} R-hadron	trk	-	-	19.1	\tilde{g}	1.27 TeV	1411.6795
	GMSB, stable $\tilde{\tau}, \tilde{\chi}_1^0 \rightarrow \tilde{\tau}(\tilde{e}, \tilde{\mu}) + \tau(e, \mu)$	1-2 μ	-	-	19.1	$\tilde{\chi}_1^0$	537 GeV	10 < $\tan\beta < 50$
	GMSB, $\tilde{\chi}_1^0 \rightarrow \gamma\tilde{G}$, long-lived $\tilde{\chi}_1^0$	2 γ	-	Yes	20.3	$\tilde{\chi}_1^0$	435 GeV	$2 < \tau(\tilde{\chi}_1^0) < 3 \text{ ns}, \text{SPS8 model}$
	$\tilde{g}\tilde{g}, \tilde{g}\rightarrow ee/ee/\mu\mu$	displ. ee/ee/ $\mu\mu$	-	-	20.3	\tilde{g}	1.0 TeV	$7 < \tau(\tilde{g}) < 740 \text{ mm}, m(\tilde{g})=1.3 \text{ TeV}$
	$\tilde{g}\tilde{g}, \tilde{g}\rightarrow ZG$	displ. vtx + jets	-	-	20.3	\tilde{g}	1.0 TeV	$6 < \tau(\tilde{g}) < 480 \text{ mm}, m(\tilde{g})=1.1 \text{ TeV}$
	LFV $pp\rightarrow \tilde{\nu}_\tau + X, \tilde{\nu}_\tau\rightarrow e\mu/\ell\tau/\mu\tau$	$ep, et, \mu\tau$	-	-	20.3	$\tilde{\nu}_\tau$	1.7 TeV	$\lambda'_{111}=0.11, \lambda_{132/133/233}=0.07$
RPV	Bilinear RPV CMSSM	2 e, μ (SS)	0-3 b	Yes	20.3	\tilde{q}, \tilde{g}	1.35 TeV	$m(\tilde{q})=m(\tilde{g}), c\tau_{LP} < 1 \text{ mm}$
	$\tilde{\chi}_1^+\tilde{\chi}_1^-, \tilde{\chi}_1^+\rightarrow W\tilde{\chi}_1^0, \tilde{\chi}_1^-\rightarrow \tau\tau\tilde{\nu}_e, e\tau\tilde{\nu}_\tau$	4 e, μ	-	Yes	20.3	$\tilde{\chi}_1^\pm$	750 GeV	$m(\tilde{\chi}_1^\pm) > 0.2 \times m(\tilde{\chi}_1^0), \lambda_{121}\neq 0$
	$\tilde{\chi}_1^+\tilde{\chi}_1^-, \tilde{\chi}_1^-\rightarrow W\tilde{\chi}_1^0, \tilde{\chi}_1^-\rightarrow \tau\tau\tilde{\nu}_e, e\tau\tilde{\nu}_\tau$	3 $e, \mu + \tau$	-	Yes	20.3	$\tilde{\chi}_1^\pm$	450 GeV	$m(\tilde{\chi}_1^\pm) > 0.2 \times m(\tilde{\chi}_1^0), \lambda_{133}\neq 0$
	$\tilde{g}\tilde{g}, \tilde{g}\rightarrow q\tilde{q}$	0	6-7 jets	-	20.3	\tilde{g}	917 GeV	$BR(\tilde{q})=BR(b)=BR(c)=0\%$
	$\tilde{g}\tilde{g}, \tilde{g}\rightarrow \tilde{q}\tilde{\chi}_1^0, \tilde{q}\tilde{\chi}_1^0 \rightarrow q\tilde{q}$	0	6-7 jets	-	20.3	\tilde{g}	870 GeV	$m(\tilde{\chi}_1^0)=600 \text{ GeV}$
	$\tilde{g}\tilde{g}, \tilde{g}\rightarrow \tilde{q}\tilde{\chi}_1^0, \tilde{q}\tilde{\chi}_1^0 \rightarrow bs$	2 e, μ (SS)	0-3 b	Yes	20.3	\tilde{g}	850 GeV	1502.05686
	$\tilde{t}_1\tilde{t}_1, \tilde{t}_1\rightarrow bs$	0	2 jets + 2 b	-	20.3	\tilde{t}_1	100-308 GeV	1404.250
Other	$\tilde{t}_1\tilde{t}_1, \tilde{t}_1\rightarrow bl$	2 e, μ	2 b	-	20.3	\tilde{t}_1	0.4-1.0 TeV	$ATLAS\text{-CONF-2015-026}$
	Scalar charm, $\tilde{c}\rightarrow c\tilde{\chi}_1^0$	0	2 c	Yes	20.3	\tilde{c}	490 GeV	$ATLAS\text{-CONF-2015-015}$

*Only a selection of the available mass limits on new states or phenomena is shown. All limits quoted are observed minus 1 σ theoretical signal cross section uncertainty.

- On n'a rien trouvé, et pourtant on cherche !

Exotiques : état des lieux

ATLAS Exotics Searches* - 95% CL Exclusion

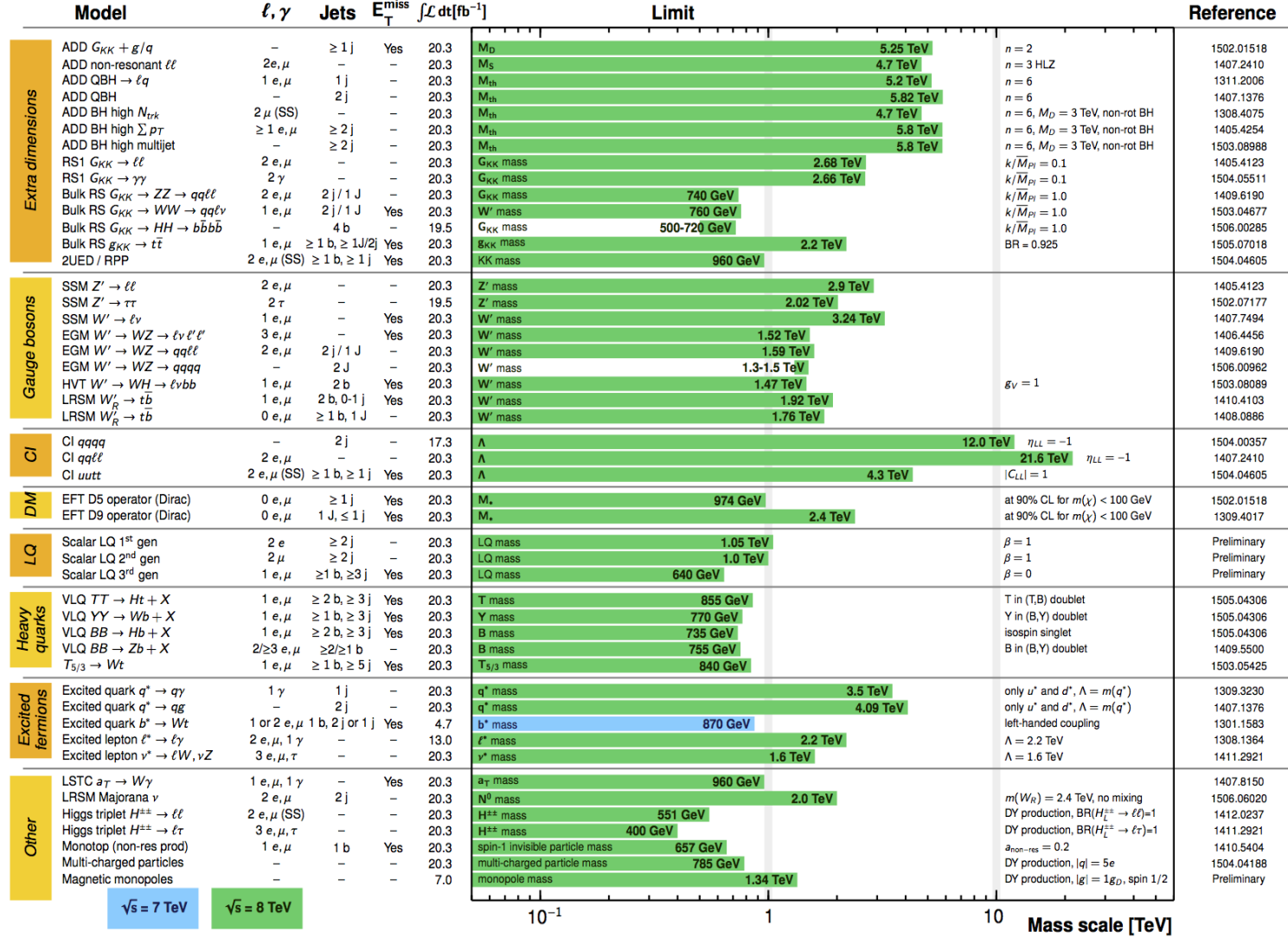
Status: July 2015

ATLAS Preliminary

$\int \mathcal{L} dt = (4.7 - 20.3) \text{ fb}^{-1}$

$\sqrt{s} = 7, 8 \text{ TeV}$

Reference



$\sqrt{s} = 7 \text{ TeV}$

$\sqrt{s} = 8 \text{ TeV}$

10^{-1}

1

10

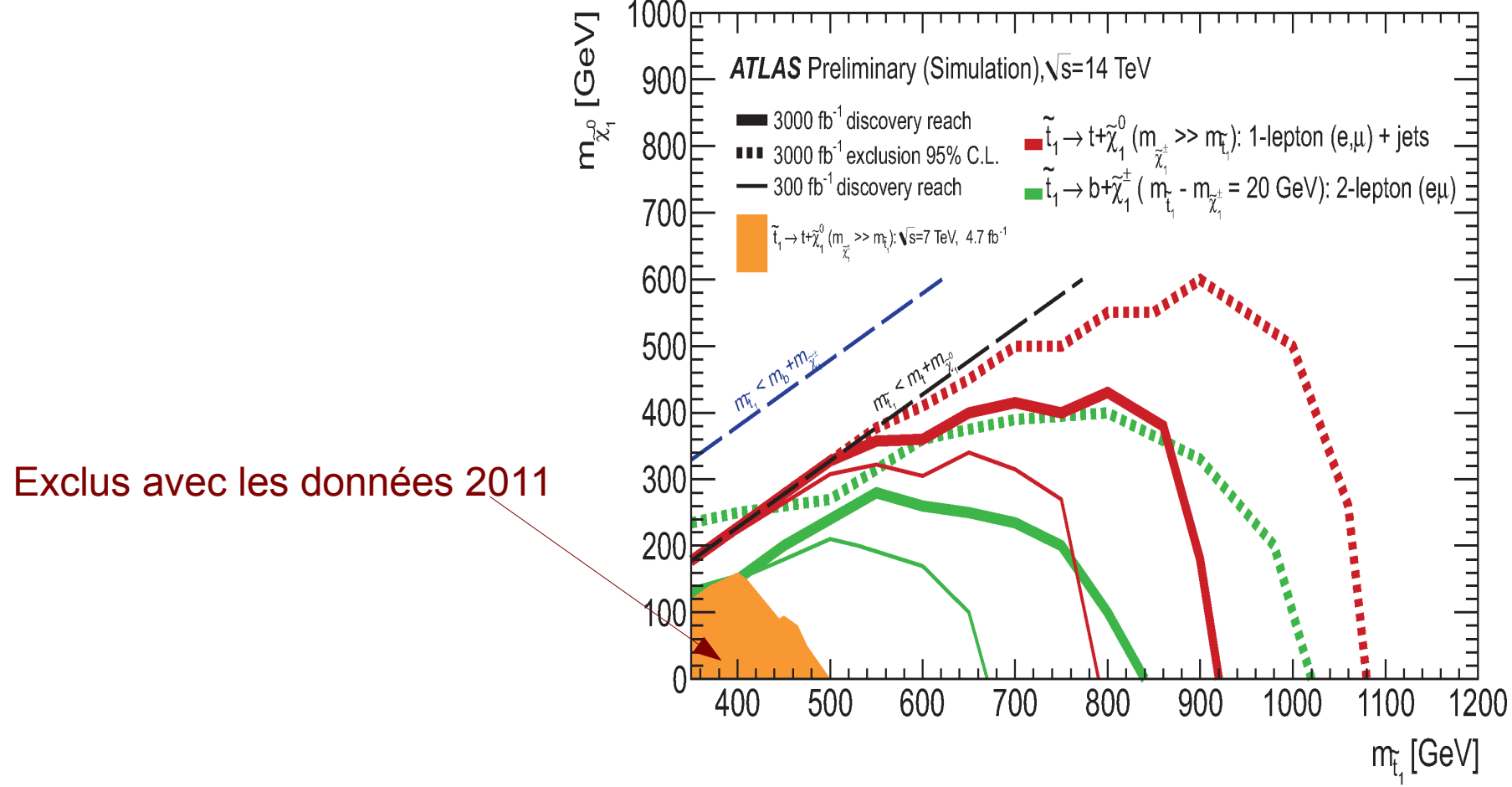
Mass scale [TeV]

*Only a selection of the available mass limits on new states or phenomena is shown.

- On n'a rien trouvé non plus, mais on continue de chercher !

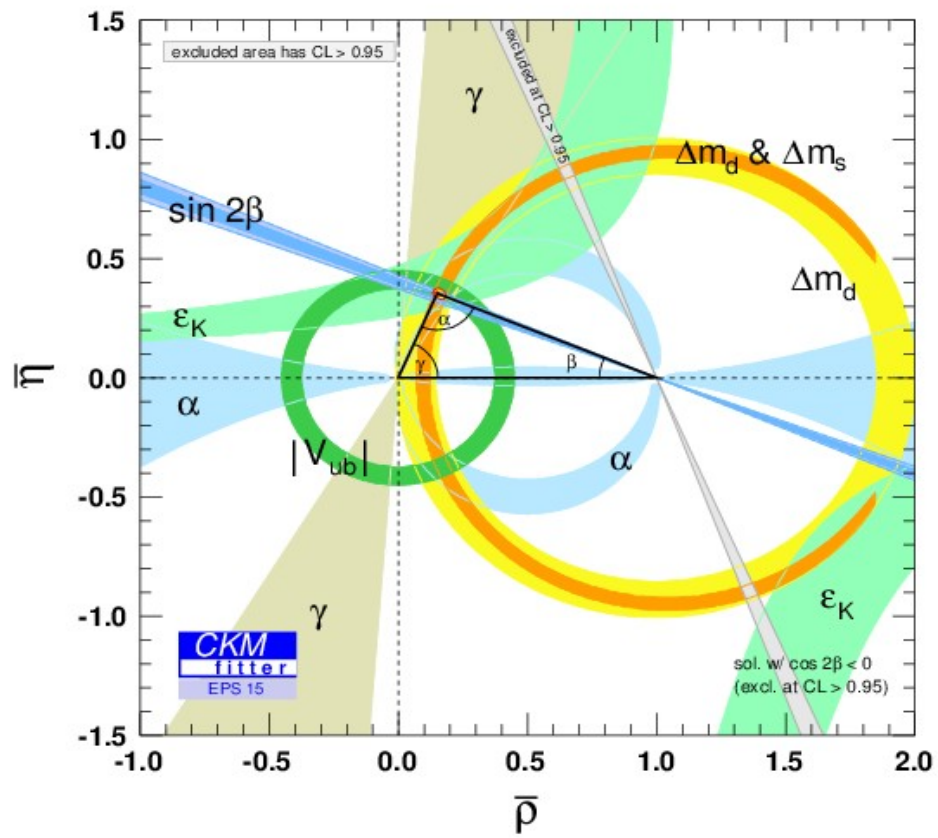
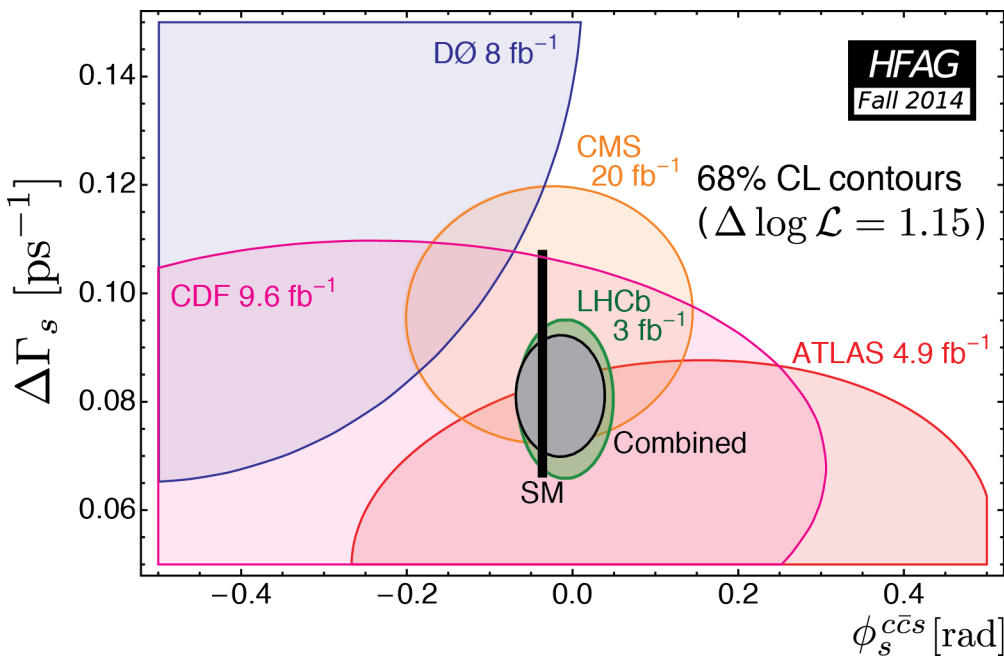
SUSY et exotiques : le futur

- Pour l'instant, 25 fb^{-1} collectés jusqu'en 2012 (7-8 TeV),
 $0,1 \text{ fb}^{-1}$ depuis juin 2015
- On envisage 300 fb^{-1} d'ici 2021-2022
- puis 3000 fb^{-1} pour 2030-2035



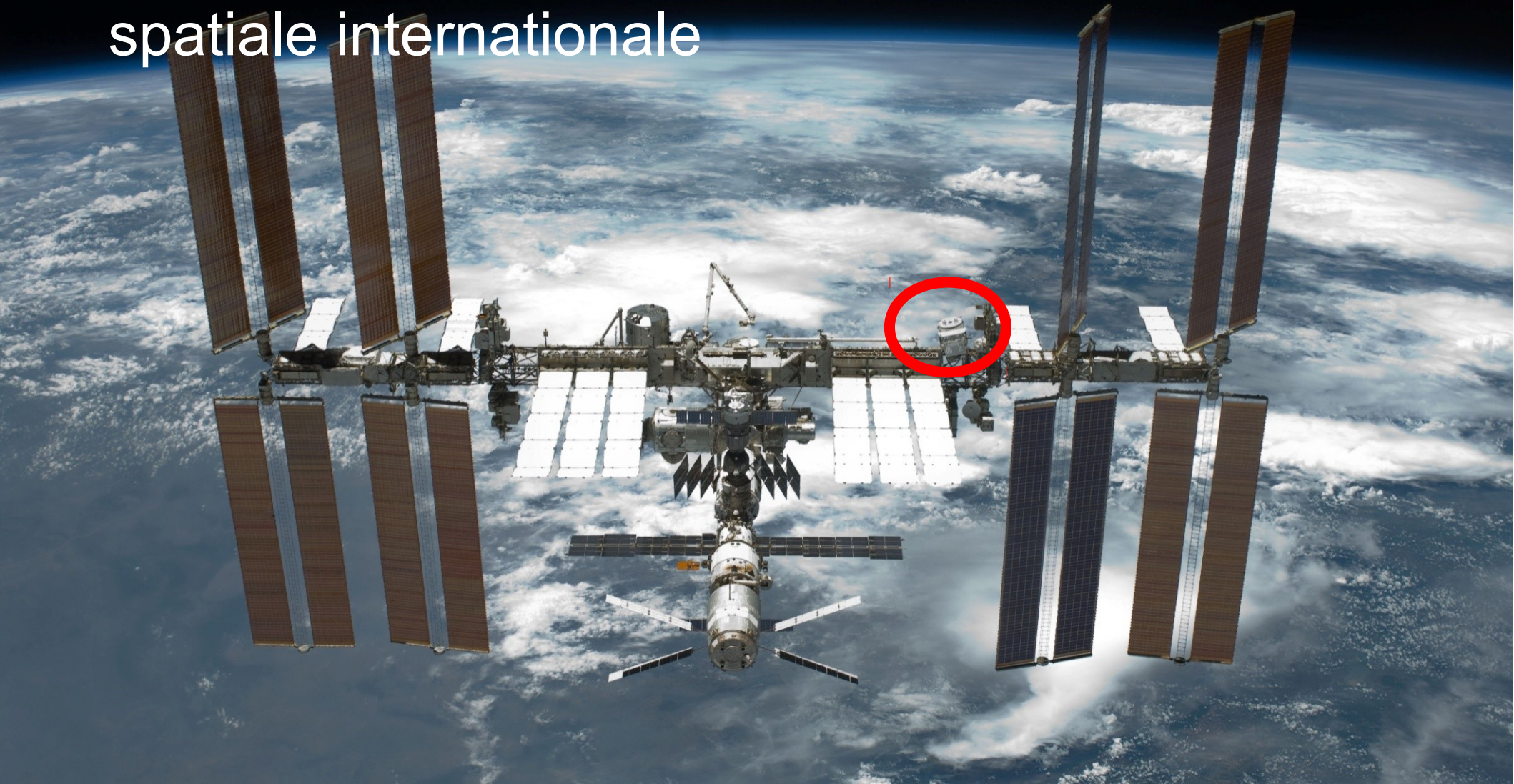
Asymétrie matière-antimatière

- Pas assez d'antimatière dans l'Univers
- Mesures de précision pour quantifier les infimes différences entre matière et antimatière
- Toutes les mesures sont compatibles avec les prédictions du modèle standard



Asymétrie matière-antimatière dans l'espace : AMS

- Alpha Magnetic Spectrometer
- DéTECTEUR de particules à bord de la station spatiale internationale



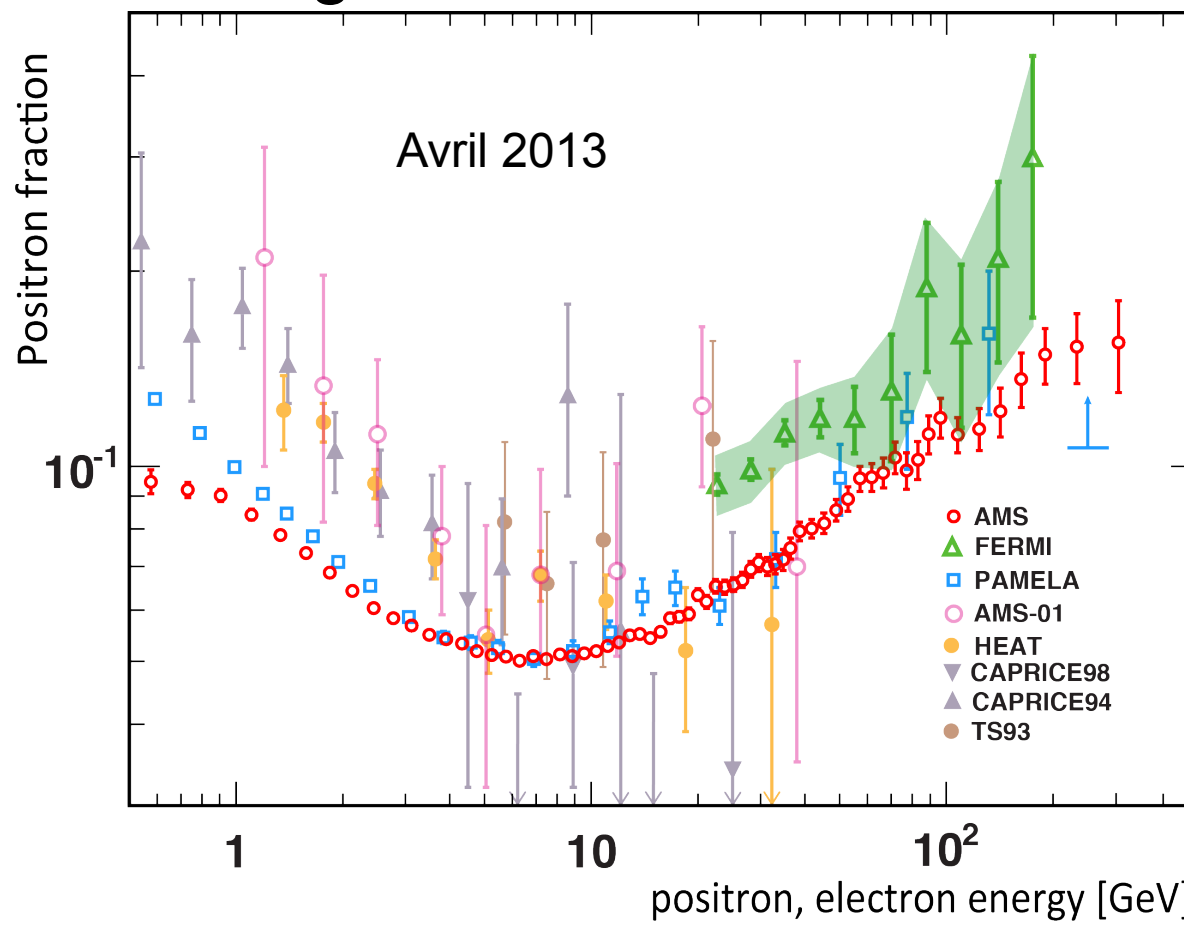
Asymétrie matière-antimatière dans l'espace : AMS

- Alpha Magnetic Spectrometer
- DéTECTEUR de particules à bord de la station spatiale internationale



Asymétrie matière-antimatière dans l'espace : AMS

- Mesure le rapport des flux d'électrons et de positrons
- Confirme un excès de positrons connu depuis longtemps
- Bientôt des résultats à plus haute énergie, susceptibles d'indiquer la désintégration de matière noire



Lien entre l'infiniment grand et l'infiniment petit

- Lien entre le boson de Higgs et l'inflation ?
- Lien avec la masse des neutrinos ?

Lien entre l'infiniment grand et l'infiniment petit

- Lien entre le boson de Higgs et l'inflation ?
- Lien avec la masse des neutrinos ?

LHC Saison 2 :

- Étude des propriétés du boson observé
 - ▶ Déviations du modèle standard ?
- Recherche d'autres bosons de Higgs
 - ▶ Signe de nouvelle physique ?

Lien entre l'infiniment grand et l'infiniment petit

- Lien entre le boson de Higgs et l'inflation ?
- Lien avec la masse des neutrinos ?

LHC Saison 2 :

- Étude des propriétés du boson observé
 - ▶ Déviations du modèle standard ?
- Recherche d'autres bosons de Higgs
 - ▶ Signe de nouvelle physique ?
- Recherche de candidats pour expliquer la matière noire
- Asymétrie matière-antimatière
- On espère des surprises !